

ČESKÉ VYSOKÉ UČENÍ TECHNICKÉ V PRAZE

Fakulta stavební

Katedra betonových a zděných konstrukcí



DIPLOMOVÁ PRÁCE

Dálniční integrovaný most

Motorway integral bridge

Vypracovala: Bc. Radka Jelínková

Vedoucí práce: doc. Ing. Roman Šafář, Ph.D

V Praze 2020

ZADÁNÍ DIPLOMOVÉ PRÁCE**I. OSOBNÍ A STUDIJNÍ ÚDAJE**

Příjmení: Jelinková	Jméno: Radka	Osobní číslo: 439044
Zadávající katedra: 11 133 Katedra betonových a zděných konstrukcí		
Studijní program: Stavební inženýrství		
Studijní obor: Konstrukce a dopravní stavby		

II. ÚDAJE K DIPLOMOVÉ PRÁCI

Název diplomové práce: Dálniční integrovaný most
Název diplomové práce anglicky: Motorway integral bridge

Pokyny pro vypracování:

Vypracujte statický výpočet, technickou zprávu a výkresovou dokumentaci.

Seznam doporučené literatury:

Šafář, R.: Betonové mosty 2 - přednášky, ČVUT v Praze 2014.

Jméno vedoucího diplomové práce: doc. Ing. Roman Šafář, Ph.D.

Datum zadání diplomové práce: 21.2.2020 Termin odevzdání diplomové práce: 17.5.2020
Údaj uvedte v souladu s datem v časovém plánu příslušného ak. roku

Podpis vedoucího práce

Podpis vedoucího katedry

III. PŘEVZETÍ ZADÁNÍ

Beru na vědomí, že jsem povinen vypracovat diplomovou práci samostatně, bez cizí pomoci, s výjimkou poskytnutých konzultací. Seznam použité literatury, jiných pramenů a jmen konzultantů je nutné uvést v diplomové práci a při citování postupovat v souladu s metodickou příručkou ČVUT „Jak psát vysokoškolské závěrečné práce“ a metodickým pokynem ČVUT „O dodržování etických principů při přípravě vysokoškolských závěrečných prací“.

Datum převzetí zadání

Podpis studenta(ky)



Prohlášení:

Prohlašuji, že jsem tuto práci zpracovávala samostatně, pouze za odborného vedení vedoucího této práce doc. Ing. Romana Šafáře, Ph.D.

Veškerá použitá literatura, normy, zdroje a podklady jsou uvedeny v seznamu použité literatury.

V Praze, květen 2020

Bc. Radka Jelínková



Poděkování:

Na prvním místě bych ráda poděkovala vedoucímu diplomové práce doc. Ing Romanu Šafářovi, Ph.D za čas a trpělivost při konzultacích, které byly vzhledem k situaci náročnější než za běžných podmínek. Děkuji za výborný osobní přístup a odborné rady.

Chtěla bych poděkovat svému zaměstnavateli za přístup k softwarovému vybavení, podkladům k projektu a možnost studijního přístupu k normám.

Konečně bych ráda poděkovala své rodině za zázemí.

Děkuji



Abstrakt:

Předmětem této diplomové práce je návrh a posouzení integrované konstrukce dálničního mostu přes silnici III/00312 spadajícího do stavby 511 v úseku Běchovice - D1 v 76,0. kilometru. Dálnice v místě mostu je vedena v půdorysném oblouku $R = 900$ m s jednostranným příčným sklonem 5%.

Trasa komunikace je v tomto místě vedena přibližně v úrovni terénu, přemostěvaná překážka je v hlubokém zářezu. Integrovaná konstrukce byla navržena, protože se jedná o spolehlivé a ekonomické řešení s minimálními nároky na údržbu a s minimálními celoživotními náklady. Rovněž bylo nutno navrhnut konstrukci s malou stavební výškou. Most se skládá ze dvou samostatných rovnoběžných konstrukcí, každá z nich je určena pro jeden jízdní pás dálnice.

Most má jedno pole o rozpětí 31,5 m v ose komunikace. Nosná konstrukce je monolitická z dodatečně předpjatého betonu s dvoutrámovým příčným řezem, vložená do monolitických, rovněž předpjatých, poddajných koncových podpěr.

Most je založený hlubinně na vrtaných velkopruhových pilotách.

Součástí diplomové práce je technická zpráva, statický výpočet a výkresová dokumentace integrovaného dálničního mostu.

Klíčová slova:

Most

Integrovaný most

Dálnice

Beton

Předpjatý beton



Abstract:

The aim of this master thesis is a design of a motorway bridge over the road III/00312. The bridge in chainage km 76,0 is a part of a motorway segment „Běchovice – D1“. The motorway in the place of the bridge is in a horizontal curvature with a radius of 900 m with a transverse slope of 5 %.

The motorway is here approximately at the level of the surrounding terrain, the bridged road is in deep excavations. Integral bridge was chosen because it is a reliable and economic structure with low maintenance needs and low whole-life costs. Also a small depth of the cross section was needed. The bridge is subdivided into two parallel structures – each of them is intended for one direction of the motorway.

The bridge has one span of the length of 31,5 m. Superstructure of the bridge is cast-in-situ, post-tensioned, with a double-T cross section, fixed to flexible, cast-in-situ, post-tensioned frame supports.

The bridge has deep foundations with bored large-diameter piles.

The master thesis is composed of a technical report, structural analysis and drawings of the integral motorway bridge.

Key words:

Bridge

Integral bridge

Motorway

Concrete

Presressed concrete



OBSAH

ČÁST 1 - TECHNICKÁ ZPRÁVA	5
1 ZÁKLADNÍ ÚDAJE O MOSTU.....	6
2 ZDŮVODNĚNÍ MOSTU A JEHO UMÍSTĚNÍ	8
2.1 ÚČEL MOSTU.....	8
2.2 PODKLADY	8
2.3 CHARAKTER TRASY A PŘEMOSTOVANÝCH PŘEKÁŽEK	8
2.3.1 Charakter převáděně trasy	8
2.4 ÚZEMNÍ PODMÍNKY.....	8
2.5 GEOTECHNICKÉ PODMÍNKY	8
3 TECHNICKÉ ŘEŠENÍ MOSTU	10
3.1 POPIS NOSNÉ KONSTRUKCE MOSTU	10
3.1.1 Hlavní nosná konstrukce	10
3.1.2 Mostní dilatační závěry	10
3.1.3 Ložiska	11
3.2 ÚDAJE O ZALOŽENÍ A SPODNÍ STAVBĚ.....	11
3.2.1 Založení spodní stavby.....	11
3.2.2 Spodní stavba	11
3.3 VYBAVENÍ MOSTU	11
3.3.1 Vozovka a izolace	12
3.3.2 Římsy	12
3.3.3 Zádržné zařízení	12
3.3.4 Odvodnění	12
3.3.5 Zvláštní vybavení mostu	13
3.4 ZPĚTNÉ ZÁSYPY A ÚPRAVY POD A KOLEM MOSTU, PŘECHODOVÁ OBLAST	13
3.4.1 Zpětné zásypy a úpravy pod a kolem mostu	13
3.4.2 Přechodová oblast	14
3.5 STATICKÉ A HYDROTECHNICKÉ POSOUZENÍ MOSTU	14
3.6 CIZÍ ZAŘÍZENÍ NA MOSTĚ	15
3.7 ŘEŠENÍ PROTIKOROZNÍ OCHRANY A OCHRANA PROTI BLUDNÝM PROUDŮM.....	15
4 VÝSTAVBA MOSTU.....	16
4.1 POSTUP A TECHNOLOGIE STAVBY MOSTU	16
4.2 SPECIFICKÉ PŘEDPOKLADY PRO PŘEDPOKLÁDANOU TECHNOLOGII STAVBY	16
4.3 VZTAH K ÚZEMÍ (INŽENÝRSKÉ SÍTĚ, OCHRANNÁ PÁSMA, OMEZENÍ PROVOZU).....	16
4.4 SOUPIS POUŽITÝCH DETAILŮ.....	17
ČÁST 2 – STATICKÝ VÝPOČET.....	18
1 ÚVOD.....	19
1.1 ROZSAH A ÚČEL STATICKÉHO VÝPOČTU	20
1.2 MÉTODIKA VÝPOČTU.....	20
1.3 POUŽITÉ PROGRAMOVÉ VYBAVENÍ	21
1.3.1 Verze použitých programů	21
2 ZÁKLADNÍ ÚDAJE O OBJEKTU	22
2.1 ZALOŽENÍ	22
2.2 NOSNÁ KONSTRUKCE.....	22
2.3 ULOŽENÍ NK	22
2.4 MOSTNÍ DILATAČNÍ ZÁVĚRY.....	22
2.5 LOŽISKA	22
3 MODEL KONSTRUKCE	23
3.1 POPIS MODELU	23
3.2 GEOMETRIE KONSTRUKCE	24



3.2.1	Geometrie PM	24
3.2.2	Podélná tuhost konstrukce.....	26
3.3	FÁZE VÝSTAVBY	27
4	MATERIÁLY.....	28
4.1	BETON	28
4.2	PŘEDPÍNACÍ VÝZTUŽ.....	29
4.3	BETONÁŘSKÁ VÝZTUŽ.....	29
4.4	KRYCÍ VRSTVA BETONU.....	30
4.5	ZALOŽENÍ	32
4.5.1	Svislá tuhost pružiny Kz	33
4.5.2	Vodorovná tuhost K _h	34
5	VÝPOČET ZATÍŽENÍ	36
5.1	STAVENIŠTNÍ ZATÍŽENÍ DLE [18]SKUPINA ZATÍŽENÍ G0 – STÁLÉ – VLASTNÍ TÍHA.....	36
5.2	SKUPINA ZATEŽOVACÍCH STAVŮ G-G0 – OSTATNÍ STÁLÉ.....	36
5.3	SKUPINA ZATEŽOVACÍCH STAVŮ GEO – ZEMNÍ TLAK.....	37
5.4	SKUPINA ZATEŽOVACÍCH STAVŮ T – ZATÍŽENÍ TEPLITOU	37
5.5	SKUPINA ZATEŽOVACÍCH STAVŮ W – ZATÍŽENÍ VĚTREM	39
5.6	SKUPINA ZATEŽOVACÍCH STAVŮ MVL – DOPRavní ZATÍŽENÍ.....	40
5.6.1	Zatěžovací schéma LM1	40
5.6.2	Zatěžovací schéma LM3:	42
5.6.3	Přitízení za opěrou od dopravního zatížení	43
5.7	SKUPINA ZATEŽOVACÍCH STAVŮ B – ZATÍŽENÍ ROZJEZDOVÝMI A BRZDNÝMI SILAMI.....	44
5.8	SKUPINA ZATEŽOVACÍCH STAVŮ C – ODSTŘEDIVÉ A JINÉ PŘÍČNÉ SÍLY.....	45
5.9	SKUPINA ZATEŽOVACÍCH STAVŮ S – ÚČINKY NEROVNOMĚRNÉHO SEDÁNÍ OPĚR.....	45
5.10	SKUPINA ZATEŽOVACÍCH STAVŮ STAV – STAVENIŠTNÍ ZATÍŽENÍ	45
6	NÁVRH KONSTRUKCE V PODÉLNém SMĚRU	46
6.1	NÁVRH PŘEDPĚtí.....	46
6.2	VNITŘNÍ SÍLY	47
6.2.1	Vlastní tíha G0	47
6.2.2	Ostatní stálé zatížení.....	47
6.2.3	Účinky od zemního tlaku na opěre.....	48
6.2.4	Předpětí	48
6.2.5	Rovnoměrná teplota	50
6.2.6	Nerovnoměrná teplota	50
6.2.7	Vítr	52
6.2.8	Svislé dopravní zatížení	52
6.2.9	Zatížení rozjezdovými a brzdnými silami	53
6.2.10	Zatížení odstředivými silami	54
6.3	KOMBINACE ZATEŽOVACÍCH STAVŮ	55
6.3.1	Součinitelé zatížení pro mosty	56
6.4	KOMBINACE PRO MSU:	57
6.4.1	Vztahy pro trvalé a dočasné návrhové situace	57
6.5	KOMBINACE PRO MSP:.....	57
6.5.1	Vztahy pro charakteristickou kombinaci	57
6.5.2	Vztahy pro častou kombinaci	57
6.5.3	Vztahy pro kvazistálou kombinaci	58
7	POSOUZENÍ NK – MEZNÍ STAV POUŽITELNOSTI.....	59
7.1	VÝVOJ PEVNOSTI BETONU.....	60
7.2	OMEZENÍ NAPĚtí	61
7.2.1	Posouzení MSP v čase předpětí konstrukce	61
7.2.2	Posouzení MSP v čase uvedení do provozu	62
7.2.3	Posouzení MSP v čase konce životnosti	63
7.2.4	Závěr	64
7.3	POSOUZENÍ VYZTUŽENÍ RÁMOVÉHO ROHU.....	64
7.4	VODOROVNÝ POSUN ΔH	66



8 POSOUZENÍ NK – MEZNÍ STAV ÚNOSNOSTI	67
8.1 VNITŘNÍ SÍLY	67
8.2 VYZTUŽENÍ	70
8.3 POSUDKY	71
8.3.1 Uvedení do provozu UP	71
8.3.2 Konec životnosti KZ	72
8.4 ZÁVĚR	72
9 ZALOŽENÍ	73
9.1 KONSTRUKČNÍ POŽADAVKY	73
9.1.1 Minimální krytí výztuže	73
9.1.2 Minimální vyztužení	73
9.1.3 Ověření minimálního vyztužení piloty	74
9.1.4 Vyztužení piloty	74
9.2 BETONÁŽ PILOTY	74
9.3 VNITŘNÍ SÍLY	75
9.3.1 Opěra O1	75
9.3.2 Opěra O2	76
9.4 POSOUZENÍ VÝZTUŽE PILOTY	76
PŘÍLOHA A	79
PŘÍLOHA B	89
PŘÍLOHA C	103
1 VLASTNOSTI BETONU V ČASE	104
1.1 PEVNOST BETONU V TLAKU	104
1.1.1 Charakteristická pevnost f_{ck}	104
1.1.2 Průměrná pevnost betonu v tlaku f_{cm}	104
1.1.3 Průměrná pevnost betonu v tahu f_{ctm}	105
1.2 MODUL PRUŽNOSTI BETONU	105
1.3 POISSONŮV SOUČINITEL N	105
1.4 SOUČINITEL TEPLITNÍ DĚLKOVÉ ROZTAŽNOSTI	105
2 SMRŠŤOVÁNÍ A DOTVAROVÁNÍ BETONU	106
2.1.1 Autogenní smršťování	106
2.1.2 Smršťování od vysychání	107
2.2 DOTVAROVÁNÍ	108
2.2.1 Celkové poměrné přetvoření betonu od reologických změn $\epsilon_c(t)$	110
3 VLASTNOSTI BETONU C35/45 V ČASE	111
3.1 MATERIALOVÉ VLASTNOSTI	111
3.1.1 Pevnostní vlastnosti	112
3.1.2 Mechanické vlastnosti	115
3.2 SMRŠŤOVÁNÍ BETONU	116
3.2.1 Autogenní smršťování	117
3.2.2 Smršťování od vysychání	118
3.2.3 Celkové poměrné smršťování ϵ_{cs}	120
3.3 DOTVAROVÁNÍ BETONU	122
3.3.1 Celkové poměrné přetvoření betonu od reologických změn $\epsilon_c(t)$	125
PŘÍLOHA D	127
1 ÚVOD	128
1 TP 261 – INTEGROVANÉ MOSTY	129
1.1 VHODNOST UŽITÍ ZJEDNODUŠENÉHO POSTUPU	129
1.1.1 Zakřivení konstrukce	129
1.1.2 Vliv šikmosti mostu	130



1.1.3	Poloha pevného bodu	130
1.1.4	Zanedbání svislých a vodorovných zatížení	130
1.2	MAXIMÁLNÍ PŘÍPUSTNÁ DILATUJÍCÍ DĚLKA $L_{BE,ADM}$	130
1.3	ZÁVĚR	132
2	PŘÍSTUP DLE ČSN EN 1992-1-1	133
2.1	BETON C30/37.....	133
2.1.1	Pevnostní a mechanické vlastnosti	133
2.1.2	Smršťování betonu	134
2.1.3	Dotvarování betonu	135
2.1.4	Celkové poměrné přetvoření od smršťování a dotvarování	136
2.1.5	Pružná deformace	136
2.1.6	Zatížení teplotou	136
2.1.7	Závěr	136
2.2	BETON C35/45	137
2.2.1	Smršťování betonu	137
2.2.2	Dotvarování betonu	137
2.2.3	Celkové poměrné přetvoření od smršťování a dotvarování	138
2.2.4	Pružná deformace	138
2.2.5	Závěr	138
3	POROVNÁNÍ POMĚRNÝCH PŘETVOŘENÍ	139
3.1	SMRŠŤOVÁNÍ BETONU	139
3.2	DOTVAROVÁNÍ BETONU	139
3.3	PŘETVOŘENÍ OD SMRŠŤOVÁNÍ A DOTVAROVÁNÍ	140
3.4	ZÁVĚR	141
PŘÍLOHA E		143
1	ZDROJE	144
1.1	LITERATURA A WEB	144
1.2	NORMY A PŘEDPISY	144
2	SEZNAM TABULEK A OBRÁZKŮ	146
2.1	SEZNAM TABULEK	146
2.2	SEZNAM OBRÁZKŮ	148
2.3	SEZNAM GRAFŮ	150



ČÁST 1 - TECHNICKÁ ZPRÁVA



1 ZÁKLADNÍ ÚDAJE O MOSTU

Trvalý dálniční most přes silnici, masivní, monolitický, z dodatečně předpjatého betonu, ve směrovém oblouku, výškově v přímé, s otevřeným uspořádáním a neomezenou zatížitelností.

Charakteristika mostu: Trvalý mostní objekt převádějící komunikaci dálnice přes komunikaci silnice III je součástí SOKP 511 D1 - Běchovice. Mostní objekt je tvořen dvěma souběžnými samostatnými konstrukcemi – levý most (LM), pravý most (PM), z nichž každá převádí jeden dopravní směr. Konstrukce jsou uloženy na samostatném základu. Konstrukce mostu je navržena jako monolitický předpjatý dvoutrám integrovaný do spodní stavby založené na pilotách.

V příčném řezu je konstrukce tvořena dvojicí nízkých trámů, spojených deskou mostovky a na vnějších stranách ukončena konzolami. Konstrukční výška mostu je proměnná 1,40 m v poli a 1,80 m v místě vložení do opěr. Opěry jsou tvořené ŽB stěnami. Křídla jsou umístěna na společný základ s opěrami. Opěry i křídla jsou založeny hlubinně na pilotách.

Délka přemostění	30,00 m (v ose komunikace)
	29,67 m (v ose LM)
	30,33 m (v ose PM)
Délka pravého mostu	43,18 m (v ose mostu)
Délka levého mostu	44,09 m (v ose mostu)
Délka nosné konstrukce	30,00 m (v ose komunikace)
Rozpětí pole	31,50 m (v ose komunikace)
	31,15 m (v ose LM)
	31,85 m (v ose PM)
Šíkmost mostu	-
Volná šířka mostu	16,00 m (LM) 15,50 m (PM)
Šířka průchozího prostoru veřejného nebo nouzového chodníku	0,75 m
Šířka mostu	18,22 m (LM) 17,72 m (PM)
Výška mostu nad terénem	6,59 m
Stavební výška	2,20 m (PM i LM)
Plocha nosné konstrukce mostu	459,82 m ² (LM) 485,216 m ² (PM)
Kategorie komunikace	D 34,5/100
Staničení začátku úprav, podpěr, křížení, konce úprav	km 75,976 858 – Začátek úprav km 75,983 358 – Podpora O1 km 75,999 600 – Křížení km 76,014 858 – Podpora O2 km 76,023 208 – Konec úprav Pozemní komunikace III – km 0,322 859 84,89° – komunikace III
Staničení přemostované překážky	
Úhel křížení	



Volná výška

4,88 m v km 0,338 093 – komunikace
III

Zatížení a zatížitelnost mostu

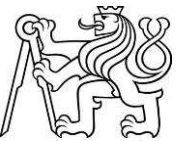
Eurokód 1: Zatížení konstrukcí – Část 2:
Zatížení mostů dopravou, ČSN EN
1991-2 ed. 2 (73 6203), platné od 2019-
01-01

Tabulka NA.3 – Zvláštní vozidla pro
dálnice, rychlostní silnice a vybrané
trasy určené příslušným úřadem
(Ministerstvo dopravy ČR) a to
jsou:

LM3 = 1800/200 a LM3 = 3000/240
(jedná se o jediné vozidlo na mostě).
Požadovaná zatížitelnost mostu bude
minimálně Vn = 32 t, Vr = 80 t,
Ve = 180 t.

Důležitá upozornění

nejsou



2 ZDŮVODNĚNÍ MOSTU A JEHO UMÍSTĚNÍ

2.1 Účel mostu

Trvalý mostní objekt převádějící komunikaci dálnice přes komunikaci silnice III je součástí SOKP 511 D1 - Běchovice. Mostní objekt je tvořen dvěma souběžnými samostatnými konstrukcemi – levý most (LM), pravý most (PM), z nichž každá převádí jeden dopravní směr. Konstrukce jsou uloženy na samostatném základu.

Konstrukce mostu je navržena jako monolitický předpjatý dvoutrám integrovaný do spodní stavby založené na pilotách

2.2 Podklady

- Dokumentace DÚR stavby D0 – úsek 511 – Běchovice – D1 ze 09/2018
- Předběžný geotechnický průzkum pro DÚR z 05/2003
- Doplněk k předběžnému geotechnickému průzkumu z 11/2005
- Podrobný geologický průzkum pro DSP 04/2008
- Zaměření
- Katastrální mapy
- TKP staveb pozemních komunikací (MD ČR, odbor pozemních komunikací)
- Vzorové listy VL4 - mosty (MD ČR, odbor pozemních komunikací)
- Příslušné TP, ČSN, ČSN EN a další normy, předpisy a vyhlášky

2.3 Charakter trasy a přemostovaných překážek

2.3.1 Charakter převáděné trasy

Šířkové uspořádání	S33,5/100 (na PM rozšíření v oblouku, celková šířka vozovky na mostě 31,5 m)
Směrové poměry v místě mostu	Směrově v oblouku ($R = 900,0$ m)
Výškové poměry v místě mostu	Jednostranný sklon 5,0% podélný sklon 3,00 %

2.4 Územní podmínky

Most se nachází v extravidánu. Terén je mírně zvlněný. Mocnost kvartérních sedimentů kolísá a místo od místa se mění. Horniny předkvartérního skalního podkladu jsou většinou silně zvětralé a mají charakter štěrků s příměsí jemnozrnné zeminy

2.5 Geotechnické podmínky

Převzato v IGP viz PŘÍLOHA A.

V rámci akce bylo pro tento objekt použito archivních vrtů JV39, JV40 a JV41 a v rámci doplňujícího IGP byly doplněny sondami J1079 a J1080.

Přes poměrně příznivé geotechnické vlastnosti silně zvětralých až mírně zvětralých předkvartérních hornin skalního podkladu upozorňujeme na jejich mezerní výplň, která někdy nabývá charakteru písčitého jílu. V důsledku toho se tyto horniny stávají citlivými na jímání vody a jejich poměr únosnosti se může



snižovat pod hodnotu CBR = 15%. Proto je nutné tyto zeminy chránit před jejich znehodnocením povětrnostními podmínkami (děšť, sníh).

Rozsah kvartérních sedimentů, jakož i průběh hornin předkvartérního skalního podkladu se výškově výrazně mění. Dochází zde k nepravidelnému zvětrávání hornin předkvartérního skalního podkladu. Dle výsledků archivních geofyzikálních prací je zřejmé, že v této oblasti je zastiženo několik tektonických poruch.

Základové poměry objektu lze charakterizovat jako složité vzhledem k mocnosti kvartérních sedimentů, jakož i hloubky zvětrání hornin předkvartérního skalního.

Při realizaci průzkumných sond v místě opěry O1 (J1079) byly do hloubky 6,7 m zastiženy kvartérní sedimenty charakteru jílů tuhé až pevné konzistence. V hloubce 6,7 m bylo zastiženo předkvartérní skalní podloží. Do hloubky 8,4 m bylo zastiženo zcela zvětralé skalní podloží charakteru jílu s úlomky prachovitých břidlic, pevné konzistence, ale extrémně nízké pevnosti. Od hloubky 8,4 až prakticky do hloubky 20,0 m se vyskytuje velmi zvětralá prachovitá břidlice (R5)

V místě O2 (J1080) se kvartérní sedimenty charakteru jílů písčitých (F2 CG) vyskytují do hloubky 4,3 m. Od této hloubky byl zastižen předkvartérní skalní podklad tvořený zcela zvětralými prachovitými břidlicemi charakteru jílu s úlomky prachovitých břidlic, pevné konzistence, extrémně nízké pevnosti. Od hloubky 8,4 až do hloubky 15,3 m se vyskytuje velmi zvětralá prachovitá břidlice (R5). Od této hloubky do konečné hloubky vrtu (20,0 m) byla zastižena velmi zvětralá prachovitá břidlice, středně rozpukaná (R4) dle ČSN P 73 1005.

Mostní objekt je možno založit plošně či hlubinně na základě statického posouzení. V případě hlubinného zakládání je možno piloty větnout do prostředí R4, které se nachází v O2 (J1080) v hloubce 15,3 m. V místě O1 (J1079) nebylo ani do hloubky 20,0 m zastiženo prostředí třídy R4. Při předpokládaném hlubinném zakládání je potřeba počítat s úrovní hladiny podzemní vody mělce pod terénem (vrtání pod ochranou pracovního pažení, betonáž odspodu vrtu pro pilotu pomocí sypákové trouby). Pokud by se stavební jámy pro vrtání pilot měly zahlobit do podloží, budou v inženýrskogeologickém typu GT2, GT8 těžitelné běžnými mechanismy.

Při projektování a realizaci výstavby je potřeba vzít v úvahu, že zeminy typu GT2-Qe, GT9-Pz jsou potom náchylné k rozbřídání. Při vlastní stavbě doporučujeme přítomnost geotechnika za účelem přebírky pilot a srovnání předpokladů průzkumu/projektu se skutečností.

Stavba spadá do 2. geotechnické kategorie. Dle ČSN EN 1997-1 jsou základové poměry považovány za složité, zvětrávání pevného skalního podkladu (prachovitých břidlic) kolísá v závislosti na výskytu poruchových zón, podzemní voda má nepříznivý vliv na konstrukci. Konstrukce tohoto mostu je zařazena mezi náročné konstrukce.

Dle ČSN EN 206-1 byla určena agresivita na beton stupněm AX2 (slabě agresivní chemické prostředí), agresivita pro ocel byla ohodnocena dle ČSN 03 8375 stupněm III. (zvýšená agresivita).



3 TECHNICKÉ ŘEŠENÍ MOSTU

3.1 Popis nosné konstrukce mostu

Trvalý mostní objekt převádějící komunikaci dálnice přes komunikaci silnice III je součástí SOKP 511 D1 - Běchovice. Mostní objekt je tvořen dvěma souběžnými samostatnými konstrukcemi – levý most (LM), pravý most (PM), z nichž každá převádí jeden dopravní směr. Konstrukce jsou uloženy na samostatném základu.

Konstrukce mostu je navržena jako monolitický předpjatý dvoutrám integrovaný do spodní stavby založené na pilotách

Most bude navržen viz tabulka 5 dle [21], jako plně integrovaný bez mostních ložisek a závěrů. Přechodová deska bude navržena jako kluzně uložená a přechodová oblast bude vyztužena geomřížemi.

3.1.1 Hlavní nosná konstrukce

Konstrukce mostů respektuje šířkové, směrové i výškové vedení převáděné komunikace. Šířkové uspořádání levého mostu je následující - 1,70 m vnější římsa (s nouzovým chodníkem), volná šířka mostu je 15,5 m a vnitřní římsa má šířku 1,02 m. U pravého mostu je šířkové uspořádání vnitřní a vnější římsy stejné jako u mostu levého, jen volná šířka mostu je 16,00 m, toto rozšíření je nutné z důvodu rozhledových poměrů na mostě.

V příčném řezu je konstrukce tvořena dvojicí nízkých trámů, spojených deskou mostovky a na vnějších stranách opatřených vyloženými konzolami. Konstrukční výška je proměnná 1,40 m v poli a 1,80 m v místě veknutí do opěr. Horní šířka trámu je 3,00 m a dolní šířka trámů přechází z 2,60 m na 2,42 ve veknutí do opěry. Deska mostovky má v nejužším místě mezi trámy tloušťku 0,35 m, v místě napojení na trámy je tloušťka 0,50 m, pod vnější i vnitřní římsou je tloušťka 0,25 m.

Horní povrch mostovky má jednostranný příčný sklon respektující sklon vozovky 5,00 %, pod římsami pak je třeba dodržet minimální sklon 4,00 %. Protisklon u PM je 6,00 % a protisklon u LM je 4,0 %.

Konstrukce se nachází v jednostranném podélném sklonu 3,50 %.

Nosná konstrukce bude železobetonová z betonu **C35/45 - XC4 + XF2 + XD3** a bude vyztužena ocelí **B500B**. Pro podélné předpjtí nosné konstrukce jsou navrženy předpínací kabely se soudržností z lan **Y1860S7-15,7** s velmi nízkou relaxací (třída relaxačního chování 2). Z důvodu zvýšené ochrany integrované konstrukce proti účinkům případných bludných proudů se použijí plastové kabelové kanálky (úroveň protikorozní ochrany předpínací výzvaze PL2).

Všechny betonové konstrukce musí splňovat příslušná ustanovení TKP 18, příloha P10, kapitola 8.8.1 Požadavky na pohledové plochy mostů a nadzemních konstrukcí. Kategorie povrchové úpravy bude dosahovat minimálně kvality b dle TKP 18.

3.1.2 Mostní dilatační závěry

Vzhledem k návrhu konstrukce jako plně integrovaného mostu dle [21], na mostě nejsou osazeny mostní závěry. V místě ukončení nosné konstrukce a začátku kluzně uložené přechodové desky pouze bude obrusná vrstva opatřena řezanou spárou š. 20 mm, která bude vyplněna trvale pružnou těsnící zálivkou.



3.1.3 Ložiska

Vzhledem k návrhu konstrukce jako plně integrovaného mostu dle [21], na mostě nejsou použita ložiska.

3.2 Údaje o založení a spodní stavbě

Založení bude na obou opěrách hlubinné na pilotách.

3.2.1 Založení spodní stavby

Na základě výsledků a doporučení inženýrsko-geologického průzkumu je navrženo hlubinné založení opěr na velkopřůměrových pilotách Ø 1,20 m uspořádaných ve dvou řadách, které budou vetknuty do základového bloku, a vrtaných z úrovně upraveného terénu. Piloty budou z beton **C25/30 – XC2 + AX2** a vyztuženy ocelí **B500B**.

3.2.2 Spodní stavba

Opěry jsou stěnové se zúžením ve spodní části. V místě vetknutí nosné konstrukce je šířka stěny opěry 1,50 m. Šířka stěny 1,50 m má konstantní výšku 2,0 m, poté se šířka konstrukce konstantně zužuje až do šířky 0,75 m. Výška zúžení konstrukce má konstantní výšku 2,76 m. Výška tloušťky stěny 0,75 je závislá na příčném sklonu konstrukce, výška se pohybuje v rozmezí 0,72 – 2,28 m. Opěra je vetknuta do základového bloku o výšce 1,5 m a šířce 4,0 m. Horní povrch základů je z důvodu odvodnění navržen ve spádu min. 4 % v podélném směru mostu.

Opěry budou železobetonové z betonu **C35/45 – XC4 + XF2 + XD1** pro základy mimo dosah CHRL a z betonu **C35/45 – XC4 + XF2 + XD2** pro základy v dosahu CHRL. Základový blok bude železobetonový z betonu **C30/37 – XC2 + XF1 + XA2**. Vyztuženy budou ocelí **B500B**.

Podkladní beton bude z betonu **C16/20 – XC2 + XA2** a bude v půdorysném rozměru minimálně o 0,50 m větším na každou stranu, než je rozměr základu. Průměrná tloušťka podkladního betonu je uvažována 0,20 m.

Přechodová deska bude řešena přechodovou deskou s elastickým mostním závěrem o délce 8,15 m. Řešení přechodové desky odpovídá obrázku 75 dle [21].

3.3 Vybavení mostu

Na mostě bude umístěno následující vybavení.



3.3.1 Vozovka a izolace

Vozovky a izolace jsou navrhovány dle [11]. Izolace mostovky je z asfaltových natavovaných pásů (NAIP) v tl. 5 mm. Pod římsou je izolace upravena viz 403.45 dle [23].

Na mostě v místě komunikace je navržena vozovka třívrstvá celkové tloušťky 135 mm (včetně izolace) ve složení:

VOZOVKA			130 mm
Obrusná vrstva	ČSN EN 13108-1	SMA 11S	40 mm
Postřík spojovací emulzní	ČSN 73 6129	PS-A	0,36 kg/m ²
Ložná vrstva	ČSN EN 13108-1	ACL 16+	50 mm
Postřík spojovací emulzní	ČSN 73 6129	PS-C	0,3 kg/m ²
Ochrana izolace	ČSN EN 13108-1	MA 16 IV	40 mm
IZOLACE NAIP	ČSN 73 6242		5 mm
CELKEM konstrukce vozovky vč. izolace			135 mm

Vozovka musí být v místě přechodové oblasti vyztužena geomříží, která musí být rádně zakotvena a to minimálně 1,0 m před začátkem přechodové desky a minimálně 1,0 m za koncem ovlivněné oblasti viz obrázek 43 dle [21].

3.3.2 Římsy

Římsy budou železobetonové z betonu **C30/37 – XC4 + XF4 + XD3** s výztuží z oceli **B500B**. Kotva římsy bude umístěna ve vývrtu. Vnější římsa má šířku 1,70 m se sklonem horního povrchu 4,0 % směrem k vozovce. Svislá část římsy má výšku 0,70 m a šířku 0,30 m. Vnitřní římsa má šířku 1,02 m se sklonem horního povrchu 4,0 %. Svislá část římsy má výšku 0,75 m a šířku 0,47 m, v rámci je umístěno 6 chrániček Ø110/94. Výška obrubníku je 0,15. Povrch říms bude opatřen striáží.

3.3.3 Zádržné zařízení

• Svodicla

Na vnitřní římse je navrženo jednostranné ocelové zábradelní svodiclo, třída zadržení H3, výška madla na vozovkou min. 1,10 m. Na vnější římse je navrženo jednostranné mostní ocelové svodiclo, úroveň zadržení H2, pracovní šířka max. 1,00 m, výška horní hrany svodnice nad vozovkou min. 0,75 m. Kotvení sloupku svodicla bude provedeno kotvami viz 501.52 dle [23]. Svodicla musí být opatřena ochranou proti bludným proudům viz 601.06 dle [23].

• PHS

Na vnější římse je navržena protihluková stěna výšky 5,0 m, která je součástí objektu mostu. Most je dimenzován na účinky zatížení od PHS. Sloupy na mostě jsou rozmištěny po 2,0 m. Sloupy budou ukončeny ve zpevnění za křídly. Před a za mostem bude PHS navázána na PHS podél hlavní trasy pomocí přesahu. Přesah musí být minimálně 1,0 m. Sloupy PHS jsou navrženy z HEB 180. Soklový panel je betonový, výplň PHS je z hliníkových panelů. Sloupek PHS s patní deskou bude kotven pomocí kotevního přípravku. Konstrukce musí být opatřena ochranou proti bludným proudům.

3.3.4 Odvodnění

Most je odvodněn příčným jednostranným sklonem po povrchu vozovky k levé římsě PM a LM a následně podélně k opěře O1. Dle výpočtu odvodnění není na mostě třeba umístit mostní odvodňovače. Těsnění spáry podél obrubníku je



provedeno viz 403.42 dle [23]. Na mostě je voda odvedena mimo objekt a následně svedena do silničních vpustí. Odvodnění povrchu izolace je zajištěno odvodňovacími trubičkami viz 406.11 dle [23]. Odvodňovací trubičky jsou umístěny v ose odvodnění mostu a jsou svedeny do podélného svodu viz 505.05 dle [23], který je svislým svodem podél opěry zaústěn do vývařiště a napojen do příkopu viz 505.07 dle [23].

3.3.5 Zvláštní vybavení mostu

- **Nivelační značky**

V souladu s čl. 13.14.1 dle [8] se do říms a spodní stavby osadí do dodatečně vyvrtaných otvorů nivelační měřicí značky Ø16 mm, délky 70 mm v nerezovém provedení, které budou sloužit pro geodetické sledování konstrukce mostu (poloha značek na římsách bude ve středu rozpětí, v osách uložení nad opěrami).

- **Chráničky**

Ve vnitřní mostní římse je umístěno 6 chrániček DN110/94

- **Označení letopočtu výstavby mostu**

V souladu s čl. 13.15.1 dle [8] a 209.01 dle [23] se na opěrách umístí vlysy s označením roku ukončení výstavby mostní konstrukce, případně i logo zhotovitele mostu.

- **Označení evidenčního čísla mostu**

Na začátku mostu podle směru jízdy budou na obou okrajích osazeny značky s evidenčním číslem mostu. Provedení a kvalita bude odpovídat TKP-SPK kap. 14 – “Dopravní značky a dopravní značení”.

3.4 Zpětné zásypy a úpravy pod a kolem mostu, přechodová oblast

Zpevnění pod mostem bude provedeno v rozsahu 0,50 m vně od obrysu mostu. Na mostě jsou navržena po obou stranách opěry služební schodiště šířky 0,75 m s obrubníkem 0,10 m, ve směru jízdy jsou schodiště navržena až k patě svahu, druhé schodiště dosahuje na úroveň lavičky. Schodiště je navrženo viz 206.21 dle [23]. Schodiště budou provedena z prefabrikovaných dílců.

3.4.1 Zpětné zásypy a úpravy pod a kolem mostu

- **Zemní práce**

Dno výkopu bude vždy přesahovat obrys podkladního betonu o 0,50 m (tedy 1,00 m od hrany základu).

- **Zpevnění pod mostem – plochy šikmé**

Svahy pod mostem a vedle mostu o větším sklonu (sklon 1:2,5 a strmější) budou zpevněny pomocí polovegetačních tvárníc do pískového lože. U líce opěry bude zpevnění od konstrukce odděleno vrstvou z vloženého extrudovaného polystyrenu tl. 50 mm. Zpevnění bude po stranách ohrazeno obrubníkem šířky 0,10 m a pod svahem betonovým prahem 0,80 x 0,50 m viz 206.02 dle [8]. Tloušťka vrstvy polovegetačních tvárníc do pískového lože je 300 mm. Do vrstvy pískového lože budou započítány a vždy provedeny svahové stupně max. 5,0 m od sebe.



- **Zpevnění pod mostem – plochy vodorovné nebo v malém sklonu**

Zbývající plochy pod mostem - vodorovné nebo v malém sklonu - budou upraveny zpravidla válcovaným štěrkopískem 16/32 mm tl. 150 mm na upravený povrch terénu. Budou provedeny úpravy pro zvěř.

- **Zádlažba na konci křídel, ve středním dělicím pase a rozšíření násypového tělesa**

Zádlažba na konci křídel včetně rozšíření násypového tělesa bude provedena viz 206.22 a 206.23 dle [23] a zádlažba ve středním dělicím pásu bude provedena viz 206.4 dle [23]. Rozšíření násypového tělesa bude 0,5 m na délce 10,0 m. Zádlažba bude v délce 5,0 m ohraničena obrubami tl. 100 m, respektive 150 mm (na hraně s komunikací). Zádlažba bude použita k srovnání rozdílných sklonů mezi římsou a nezpevněnou krajnicí.

3.4.2 Přechodová oblast

Přechodové oblasti jsou navrženy, aby splňovaly požadavky dle [12], .

Zemina štěrkodrti 0-32 mm v přechodové oblasti je vyztužena dvouosou monolitickou geomříží 40/40 s minimální pevností v tahu 40 kN/m, tažností 11 %. Hutnění bude ve vrstvách max tl. 0,30 m, vibračním válcem. Zpětný přesah geomříží je min. 1,50 m.

Rub opěry bude opatřen penetračním nátěrem ALP, natavovaným izolačním pásem a ochranou izolace. Jako ochranná a drenážní vrstva bude sloužit vrstva 2x geotextilie o min. tl. 6 mm.

Odvodnění přechodové desky bude provedeno příčnou drenáží z perforovaných HDPE trubek DN 200 mm. Odvodnění přechodové desky bude obsypáno drenážním betonem. Odvodnění násypu v přechodové oblasti mostu je zajištěno příčnou drenáží DN150 mm umístěnou na rubu opěr. Drenáž je uložena na těsnící mezivrstvě a obetonována drenážním betonem viz 204.01a dle [23]. Odvodnění přechodové desky a rubu opěry jsou vyústěny do svahu násypového tělesa viz 204.02 dle [23].

Přechodové desky budou na volném konci zakotveny do zeminy svislou stěnou, zatímco na mostní konstrukci budou uloženy kluzně.

3.5 Statické a hydrotechnické posouzení mostu

- **Zatěžovací třída, součinitele zatížení, mimořádná zatížení**

Most je navržen dle Eurokód 1: Zatížení konstrukcí – Část 2: Zatížení mostů dopravou, ČSN EN 1991-2 ed. 2 (73 6203), platné od 2015 viz [15]

Součinitele zatížení jsou dány viz [15].

Most je navržen na mimořádné zatížení dle tabulky NA.3 – Zvláštní vozidla pro dálnice, rychlostní silnice a vybrané trasy určené příslušným úřadem (Ministerstvo dopravy ČR) a to jsou: LM3 = 1800/200 a LM3 = 3000/240 (jedná se o jediné vozidlo na mostě) viz [15]



- **Předpokládané vlastnosti základové půdy**

Vlastnosti základové půdy jsou převzaty z IGP průzkumu viz PŘÍLOHA A.

- **Přehled provedených výpočtů**

Statický výpočet obsahuje:

- posudek hlubinného založení
- návrh a posouzení nosné konstrukce

Statický výpočet je uveden v ČÁSTI 2.

3.6 Cizí zařízení na mostě

Ve vnitřní mostní římse je umístěno 2x6 chrániček DN110/94.

3.7 Řešení protikorozní ochrany a ochrana proti bludným proudům

Dle výsledků z korozního průzkumu z listopadu 2005 byl objekt zařazen do 3. stupně základních ochranných opatření protikorozní ochrany proti bludným proudům. Požadavky kombinované primární i sekundární ochrany a konstrukční opatření jsou zahrnuty do podmínek pro jednotlivé konstrukční části. Pro kontrolu bludných proudů bude konstrukce opatřena provařenou výztuží a jejím vyvedením na povrch k měřícímu bodu viz 601.08 dle [23].



4 VÝSTAVBA MOSTU

4.1 Postup a technologie stavby mostu

Výstavba mostu se bude provádět v souladu s celkovou koordinací stavební akce D0 – úsek 511 – Běchovice – D1.

Postup výstavby mostu:

- Zhotovení plošiny pro vrtání pilot
- Vrtání pilot
- Provedení zbývajících výkopových prací
- Betonáž základů, opěr
- Zhotovení skruže
- Betonáž nosné konstrukce
- Předpínání nosné konstrukce
- Odstranění skruže
- Betonáž křídel
- Zhotovení přechodových oblastí
- Betonáž přechodových desek
- Pokládka izolace nosné konstrukce
- Betonáž mostních říms a jejich osazení svodidlem a PHS
- Pokladka vozovky na mostě, před mostem a za mostem
- Provedení terénních úprav, dokončovací práce

4.2 Specifické předpoklady pro předpokládanou technologii stavby

Vzhledem k typu konstrukce předpokládáme výstavbu na pevné skruži.

4.3 Vztah k území (inženýrské sítě, ochranná pásma, omezení provozu)

V prostoru staveniště nebo v jeho blízkosti jsou následující inženýrské sítě (v závorce šířka ochranného pásma) :

- CETIN SDK (bude rušena)

Před zahájením prací bude nutné veškeré inženýrské sítě v dotčené oblasti vytýcít, případně přeložit tak, aby výstavbou objektu nedošlo k jejich narušení.



4.4 Soupis použitých detailů

Při výstavbě mostu je třeba dodržet úroveň provedení detailů konstrukce stanovené dle [21] a [23].

Vzorové listy - VL4 – Mosty [23]	
OZN.	NÁZEV
101.05	Krajní římsa se zábradlím
101.07	Krajní římsa s nouzovým chodníkem a svodidlem svodnicového typu
102.01	Střední římsa se zakrytým zrcadlem a svodidly svodnicového typu
204.01a	odvodnění rubu opěr, drenáž za opěrou
204.02	Odvodnění rubu opěr vyústění ve svahovém kuželu
206.02	Opevnění svahu z lomového kamene
206.21	Služební schodiště u opěry
206.22	Zádlažba na konci křídla a rozšíření násypového tělesa před mostem
206.23	Zádlažba na konci křídla a rozšíření násypového tělesa za mostem
206.24	Zádlažba ve středním dělícím pásu
209.01	Letopočet a logo zhotovitele
305.91	Ukončení vozovky na přechodové desce
306.01	Okapnička a ochranný nátěr konců nosné konstrukce
401.01a	Římsa se svodidlem, tvar a povrchová úprava
401.11	Střední římsa se zrcadlem a svodidlem svodnicového typu
402.02	Kotva římsy ve vývrtu
402.11	Vyvedení kabelových chrániček u opěr
402.21	Těsnění dilatačních spár římsy
402.22	Těsnění pracovních spár římsy
402.23	Těsnění smršťovacích spár římsy
402.31	Výztuž římsy
403.41	Odvodňovací proužek z litého asfaltu
403.42	Těsnění spáry podél obrubníku
403.45	Napojení izolace u římsy
406.11	Odvodnění izolace trubičkami
406.12	Odvodnění izolace drenážním polymerbetonem (mimo odvodňovací trubičky)
406.12a	Odvodnění izolace drenážním polymerbetonem (půdorysné schéma žeber)
501.52	Kotvení sloupku svodidla kotvami
504.82	Zaústění skluzu do příkopu
505.05	Napojení odvodnění izolace do podélného svazu
505.07	Zaústění svislého svodu přes vývařiště do příkopu
509.01	Měřícké značky
601.06	Bludné proudy – Svodidla
601.08	Bludné proudy – Propojení a vyvedení výztuže

Tabulka 4.1 – Použité detaily dle [23]

Technické podmínky - TP 261 - Integrované mosty [21]	
OZN.	NÁZEV
Obr. 37	Příklad provedení dilatační spáry v místě připojení křídla mostu pro dilatační pohyb větší než ± 5 mm (vlevo varianta s kluznými trny, vpravo varianta se smykovou zarážkou)
Obr. 38	Příklady provedení průchodu chrániček v římsách dilatační spárou
Obr. 41	Příklad uspořádání přechodové oblasti z vyztužené zeminy a s pružnou vložkou
Obr. 75	Příklad přechodové oblasti s přechodovou deskou a elastickým mostním závěrem
Příloha 3	Detail izolace mostovky, těsnění pracovních spár a vrubového kloubu

Tabulka 4.2 – Použité detaily dle [23]



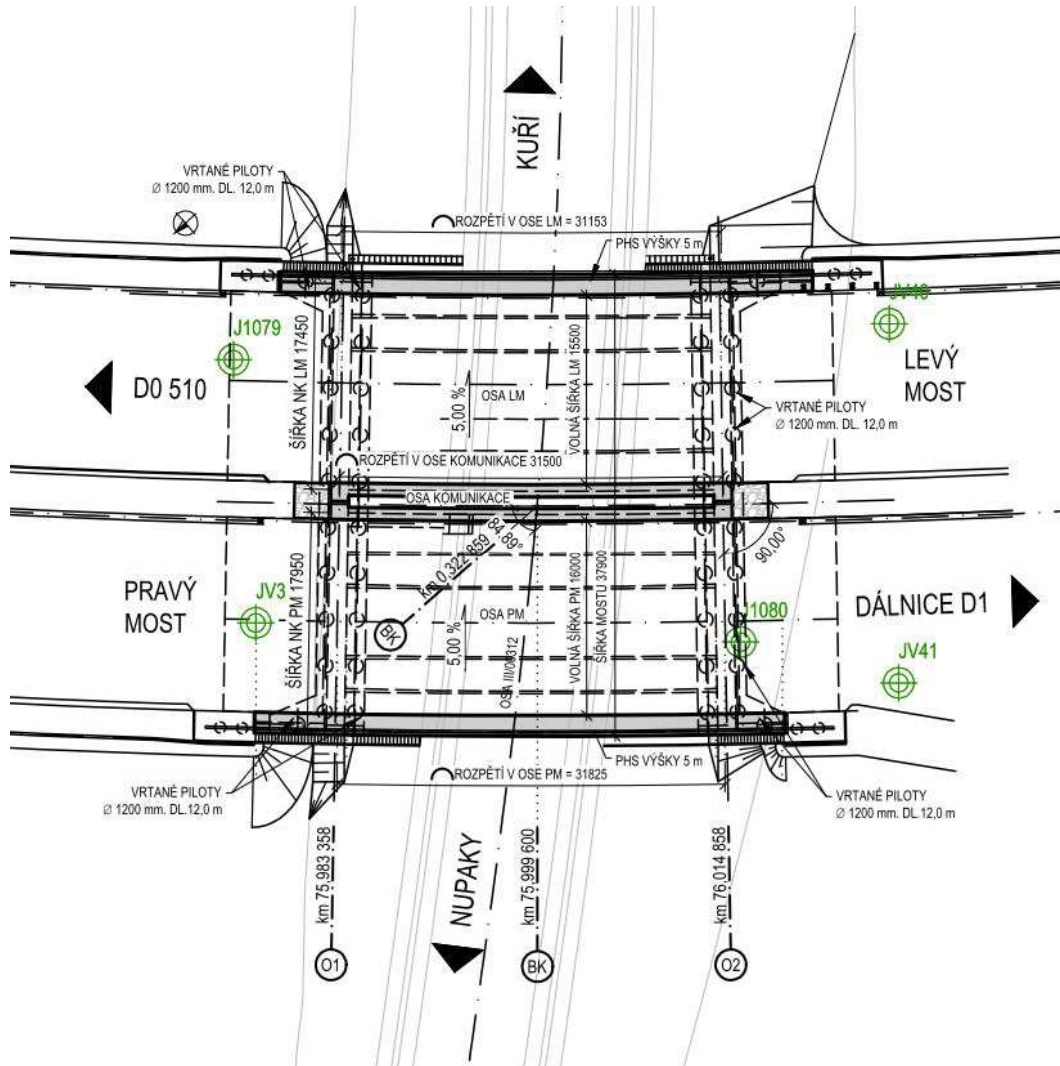
ČÁST 2 – STATICKÝ VÝPOČET



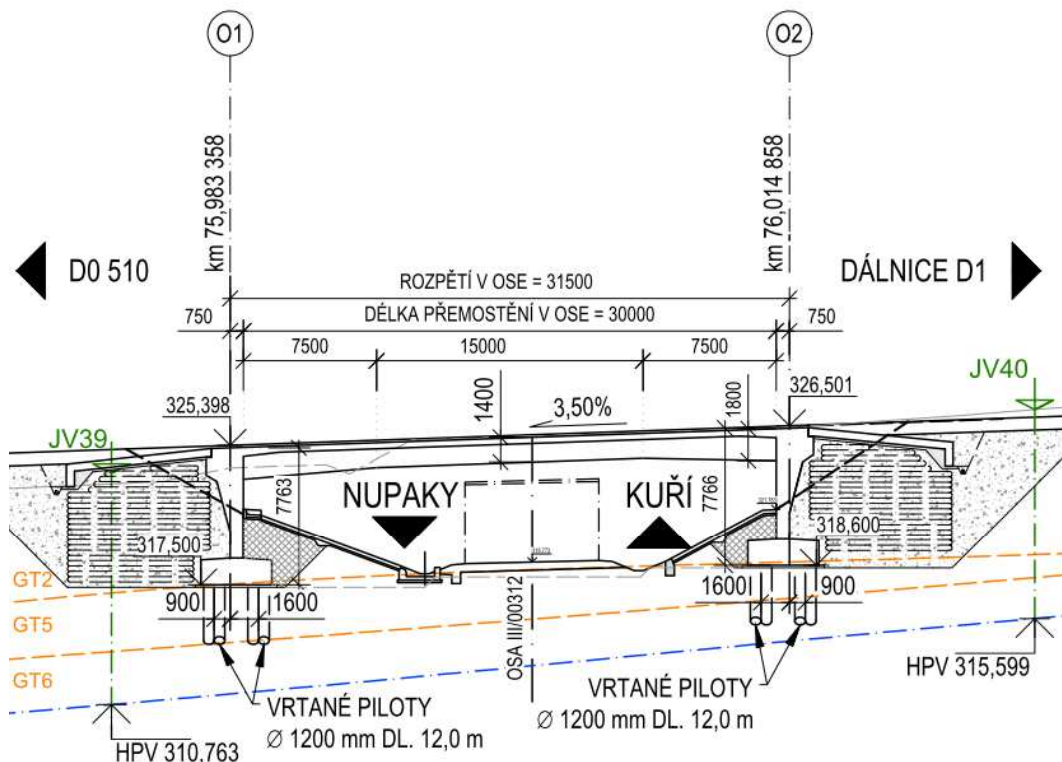
1 ÚVOD

Trvalý mostní objekt převádějící komunikaci dálnice přes komunikaci silnice III je součástí SOKP 511 D1 - Běchovice. Mostní objekt je tvořen dvěma souběžnými samostatnými konstrukcemi – levý most (LM), pravý most (PM), z nichž každá převádí jeden dopravní směr. Konstrukce jsou uloženy na samostatném základu.

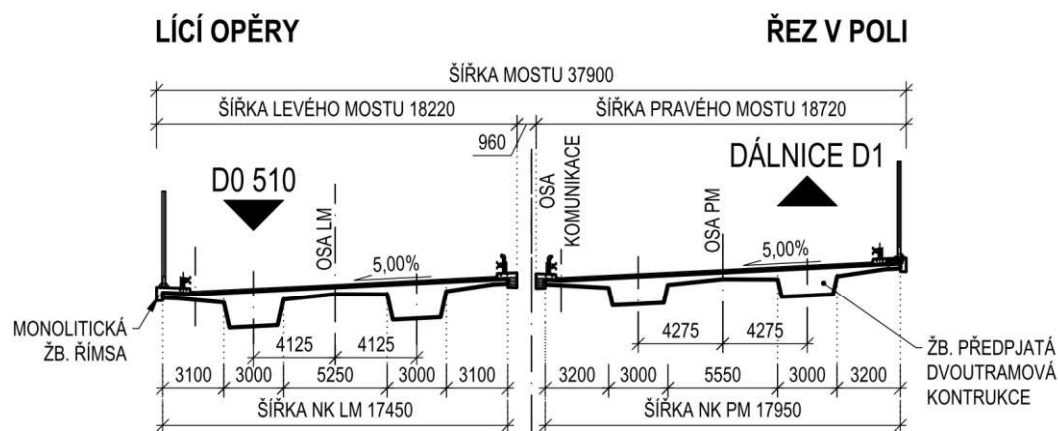
Konstrukce mostu je navržená jako monolitický předpjatý dvoutrám integrovaný do spodní stavby založené na pilotách.



Obrázek 1.1 – Půdorys



Obrázek 1.2 – Podélný řez



Obrázek 1.3 – Vzorový příčný řez

1.1 Rozsah a účel statického výpočtu

Cílem statického výpočtu je posouzení prvků nosného systému mostu. Statický výpočet je nedílnou součástí diplomové práce.

1.2 Metodika výpočtu

Statický výpočet byl proveden s ohledem na platný soubor norem ČSN a ČSN EN:

- dle metodiky mezních stavů

Ve statickém výpočtu jsou posouzeny tyto mezní stavy:

- mezní stavy únosnosti
- mezní stavy použitelnosti



1.3 Použité programové vybavení

Pro globální analýzu nosné konstrukce byl využit MKP software MIDAS Civil 2019. Pro dílkovou posouzení kritických průřezů a spodní stavby byl využit program pro posuzování železobetonových a předpjatých průřezů IDEA StatiCa – RCS. Posouzení založené bylo provedeno v programu IDEA StatiCa – RCS. Pro určení náhradní tuhosti na piloty bylo využito programu GEO5 – Pilota.

1.3.1 Verze použitých programů

MIDAS Civil 2019 (v 2.1)

IDEA StatiCa – RCS (v 10.0.0.3)

GEO5 – Pilota (2019)

MS Office EXCEL 365

MS Office WORD 365



2 ZÁKLADNÍ ÚDAJE O OBJEKTU

2.1 Založení

Konstrukce je založena na velkopřůměrových pilotách Ø1200 mm. Délka pilot pod jednotlivými opěrami se může lišit záleží na zastižené geologii viz PŘÍLOHA A. Délka a posouzení pilot bude uvedena v kap. 9 – Založení. Piloty jsou vetknuty do základového bloku o výšce 1,5 m a šířce 4,0 m.

Opěry jsou stěnové se zúžením ve spodní části. V místě vetknutí nosné konstrukce je šířka stěny opěry 1,50 m. Šířka stěny 1,50 m má konstantní výšku 2,0 m, poté se šířka konstrukce konstantně zužuje až do šířky 0,75 m. Výška tloušťky stěny 0,75 je závislá na příčném sklonu konstrukce, výška se pohybuje v rozmezí 0,72 – 2,28 m.

2.2 Nosná konstrukce

Konstrukce mostů respektuje šířkové, směrové i výškové vedení převáděné komunikace. Volná šířka LM je 15,5 m a PM je 16,00 m, toto rozšíření je nutné z důvodu rozhledových poměrů na mostě.

V příčném řezu je konstrukce tvořena dvojicí nízkých trámů, spojených deskou mostovky a na vnějších stranách opatřených vyloženými konzolami. Konstrukční výška je proměnná 1,40 m v poli a 1,80 m v místě vetknutí do opěr. Horní šířka trámu je 3,00 m a dolní šířka trámů přechází z 2,60 m na 2,42 ve vetknutí. Deska mostovky má v nejužším místě mezi trámy tloušťku 0,35 m, v místě napojení na trámy je tloušťka 0,50 m, pod vnější i vnitřní římsou je tloušťka 0,25 m.

2.3 Uložení NK

Nosná konstrukce je vetknuta do opěr.

2.4 Mostní dilatační závěry

Na mostě nejsou osazeny mostní závěry.

2.5 Ložiska

Na mostě nejsou osazeny ložiska.

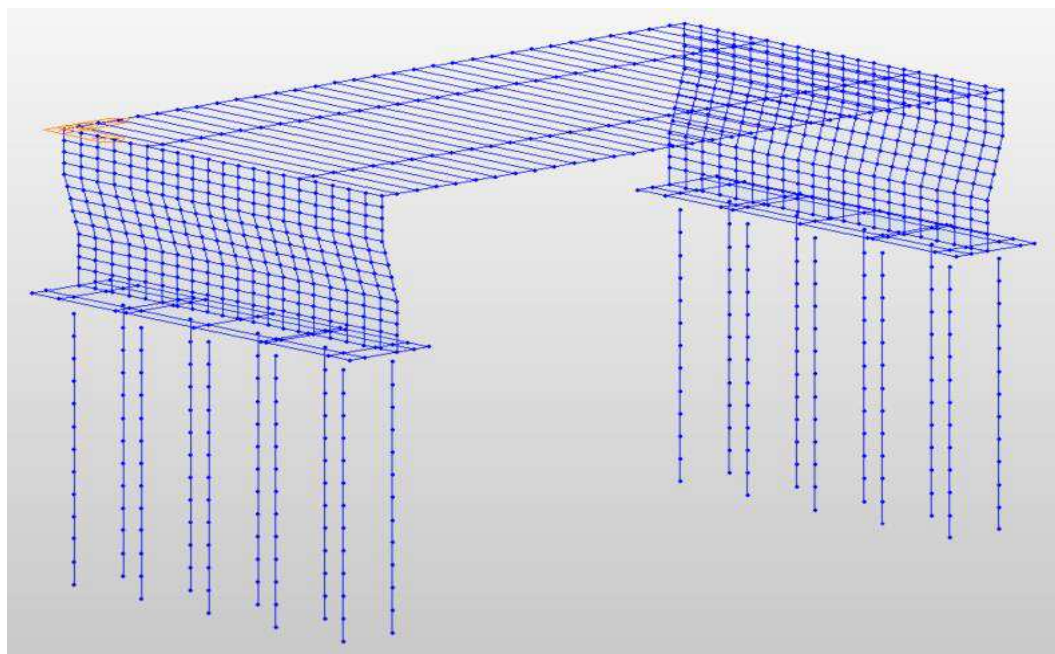


3 MODEL KONSTRUKCE

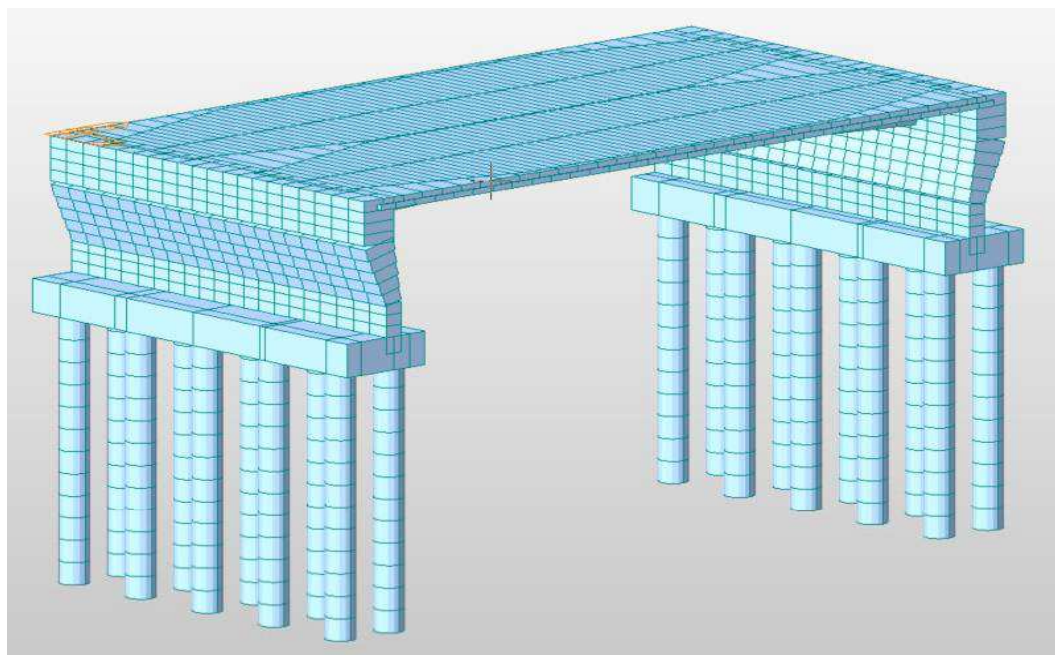
Výpočet vnitřních sil byl proveden na 3D rošťovém modelu v MKP SW Civil 2019 (v 2.1). Pro model konstrukce byla uvažována geometrie pravého mostu. Rozpětí modelu uvažováno v ose komunikace 31,5 m.

3.1 Popis modelu

Nosná konstrukce byla rozdělena na prutové náhrady, které vystihují tvar trámové konstrukce. V příčném směru byly tyto elementy spojeny pruty o příslušné tloušťce desky. Opěry jsou modelovány deskou stejně jako základový blok, ke kterému jsou připojeny dvojice pilot. Založení bylo modelováno pružinami, které odpovídají náhradám za tuhost zeminy.



Obrázek 3.1 – Model konstrukce – pruty



Obrázek 3.2 – Model konstrukce – render



3.2 Geometrie konstrukce

Konstrukce PM i LM je navržena jako dvoutrám. Šířkové uspořádání LM je 15,5 m a PM 16,0 m. Šířkové usporádání na mostě vychází z kategorijní šířky komunikace S33,5/100. Pro posouzení konstrukce bude sloužit statický model PM.

3.2.1 Geometrie PM

- V poli

Výška konstrukce	$h = 1,4 \text{ m}$
Horní výška trámu	$b = 3,0 \text{ m}$
Tloušťka konzol pod římsami	$tl_k = 0,25 - 0,5 \text{ m}$
Tloušťka střední části	$tl_{střed} = 0,35 - 0,5 \text{ m}$

$$Osová vzdálenost trámů = 8,55 \text{ m}$$

- Ve větknutí

Výška konstrukce	$h = 1,8 \text{ m}$
Horní výška trámu	$b = 3,0 \text{ m}$
Tloušťka konzol pod římsami	$tl_k = 0,25 - 0,5 \text{ m}$
Tloušťka střední části	$tl_{střed} = 0,5 \text{ m}$

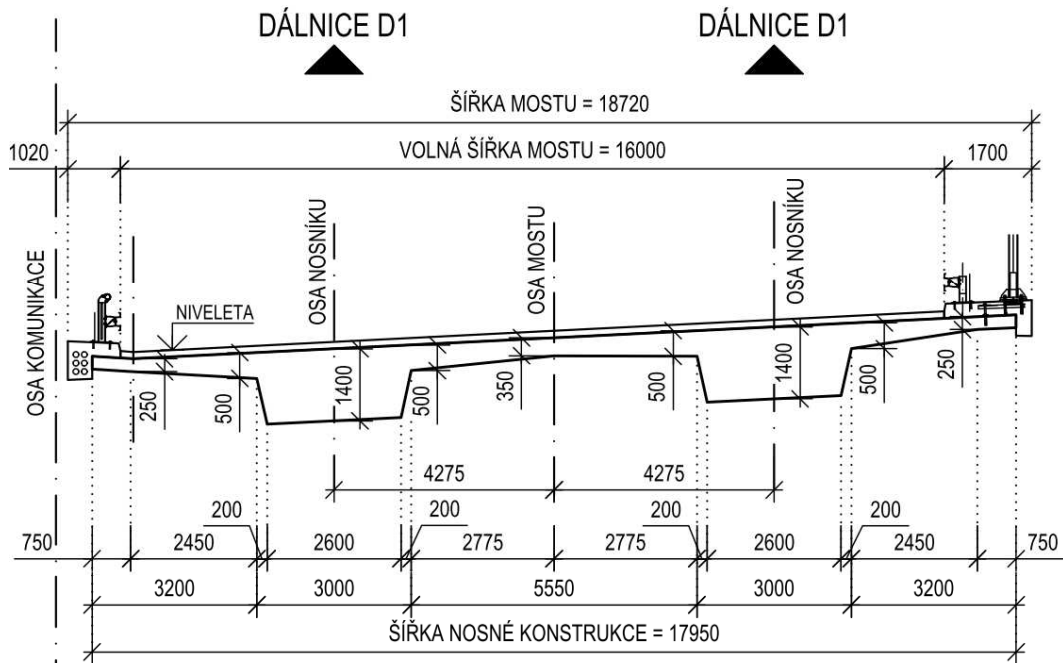
$$Osová vzdálenost trámů = 8,55 \text{ m}$$

- Spodní stavba

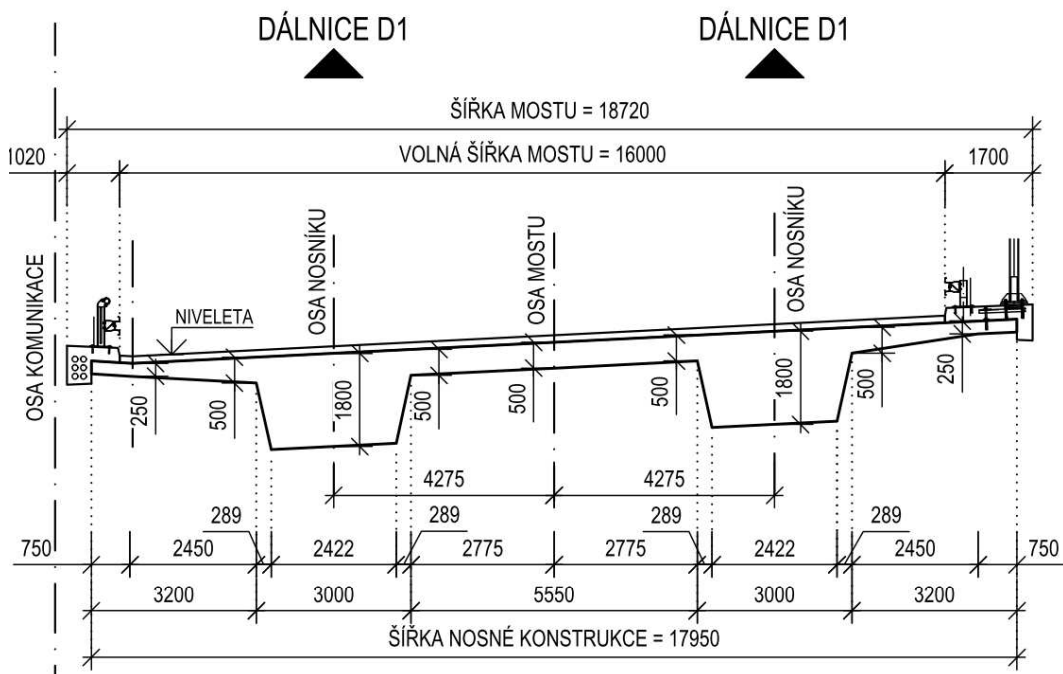
Výška dříku konstrukce	$h_d = 6,26 \text{ m}$
Šířka dříku	$\check{s}_d = 1,5 - 0,75 \text{ m}$
Výška základového bloku	$h_{zb} = 1,5 \text{ m}$
Šířka základového bloku	$\check{s}_{zb} = 4,0 \text{ m}$

- Piloty

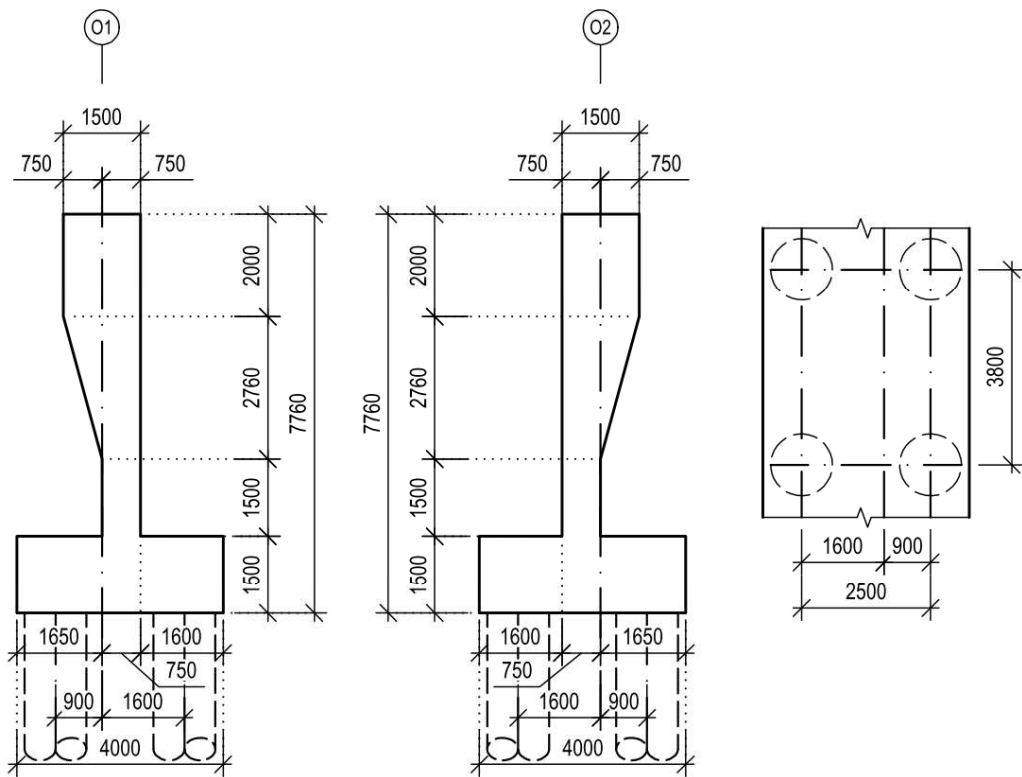
Délka piloty	$dl = 12,0 \text{ m}$
Podélná osová vzdálenost	$a_{pod} = 2,5 \text{ m}$
Příčná osová vzdálenost	$a_{pod} = 3,8 \text{ m}$



Obrázek 3.3 – Geometrie nosné konstrukce v poli



Obrázek 3.4 – Geometrie nosné konstrukce ve větknutí



Obrázek 3.5 - Geometrie spodní stavby

3.2.2 Podélná tuhost konstrukce

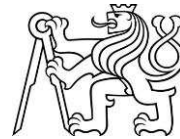
V rámci výpočtu bylo zahrnuto působení podélné tuhosti konstrukce s vlivem smykového ochabnutí. Smykové ochabnutí se projevuje dle kap. 5.3.2.1 v [19] především v místě veknutí nosné konstrukce do opéry, ale i ve středu konstrukce. Smykové ochabnutí bylo modelováno redukovaným průřezem (provedena redukce momentu setrvačnosti a změna těžiště, plocha průřezu byla zachována).

Spolupůsobící šířka

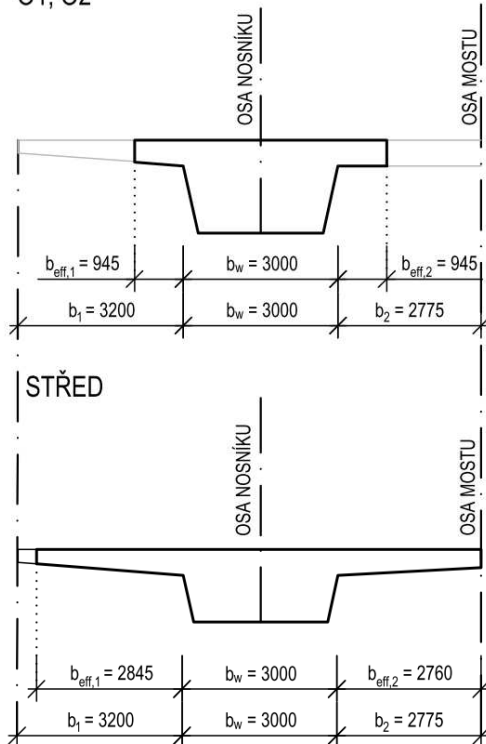
Geometrie konstrukce							
Délka počátečního pole	$l_1 =$	0.000	m	Šířka trámu	$b_w =$	3.000	m
Délka vnitřního pole	$l_2 =$	31.500	m	Šířka konzoly 1	$b_1 =$	3.200	m
Délka koncového pole	$l_3 =$	0.000	m	Šířka konzoly 2	$b_2 =$	2.775	m
			Celková šířka		$b =$	8.975	m

Vzdálenosti nulových ohybových momentů				Spolupůsobící šířky			
Inflexní body - pole				Umístění	$b_{eff,1}$	$b_{eff,2}$	b_{eff}
					m	m	m
Krajní úsek O1	$l_{01} =$	4.725	m	O1	0.945	0.945	4.890
Střední úsek	$l_{02} =$	22.050	m	STŘED	2.845	2.760	8.605
Krajní úsek O2	$l_{03} =$	4.725	m	O2	0.945	0.945	4.890

Tabulka 3.1 – Spolupůsobící šířka



01, 02



Průřez O1 a O2			
A	=	7.52	m^2
Ay	=	4.93	m^2
Az	=	3.44	m^2
Iy	=	1.65	m^4
Iz	=	6.89	m^4

Průřez STŘED			
A	=	6.31	m^2
Ay	=	5.14	m^2
Az	=	1.19	m^2
Iy	=	1.01	m^4
Iz	=	22.12	m^4

Obrázek 3.6 – Geometrické veličiny průřezu NK

3.3 Fáze výstavby

Pro zohlednění reologických jevů, jsou uvažovány následující fáze výstavby. Zatížení jsou aktivovány v čase odpovídajícímu začátku fáze.

Fáze výstavby

Ozn.	Popis fáze	Začátek fáze	Trvání	Konec fáze
		den	den	den
I	Betonáž SS	0	90	90
II	Stavení skruže	90	0	90
	Betonáž NK	90	7	97
III	Předpínání	97	0	97
IV	Uzavření přechodových oblastí + přechodová deska	97	30	127
V	Provedení říms + izolace	127	21	148
	Provedení vozovky	148	22	170
VI	Uvedení do provozu	170	23	193
VII	Provoz do 100 let	193	35407	35600
VIII	Konec životnosti	35600	0	35600

Tabulka 3.2 – Fáze výstavby uvažované v modelu



4 MATERIÁLY

Soupis materiálů použitých při návrhu a posouzení konstrukce. Materiály nenosných konstrukcí jsou ze soupisu vynechány.

4.1 Beton

Pevnostní a mechanické vlastnosti betonu odpovídají tabulce 3.1 dle [19]

Zatřídění materiálu podle stupně vlivu prostředí jsou určeny na základě tabulky 4.1 dle [19].

Při uvažování časové analýzy konstrukce a reologických vlivů vychází vlastnosti betonu dle [19]. Výpočet časového vývoje na vlastnosti betonu je uveden viz PŘÍLOHA C.

Použité betony

Konstrukční část stavby	Min. třída betonu	Stupeň vlivu prostředí
Piloty	C25/30	XC2, XA2
Základ opěr	C30/37	XC2, XA2, XF1
Křídla	C30/37	XC4, XF2, XD1
Dřík opěry O1	C35/45	XC4, XF2, XD1
Dřík opěry O2	C35/45	XC4, XF2, XD2
Nosná konstrukce	C35/45	XC4, XF2, XD3

Tabulka 4.1 – Tabulka použitých betomů

Beton	C35/45	C30/37	C25/30	Jednotky
Pevnost v tlaku v stáří 28 dní				
Charakteristická válcová f_{ck}	=	35.00	30.00	25.00 MPa
Charakteristická krychelná $f_{ck,cube}$	=	45.00	37.00	30.00 MPa
Střední hodnota f_{cm}	=	43.00	38.00	33.00 MPa
Návrhová pevnost f_{cd}	=	21.00	18.00	15.00 MPa
Pevnost v tahu v stáří 28 dní				
Střední hodnota f_{ctm}	=	3.20	2.90	2.60 MPa
Dolní kvantil $f_{ctk;0.05}$	=	2.20	2.00	1.80 MPa
Horní kvantil $f_{ctk;0.95}$	=	4.20	3.80	3.30 MPa
Sečnový modul pružnosti E_{cm}	=	34.00	33.00	31.00 GPa
Poissonovo číslo ν	=	0.20	0.20	0.20 -
Součinitel dlouhodobých účinků a_{cc}	=	0.90	0.90	0.90 -
Dílčí materiálový součinitel γ_M	=	1.50	1.50	1.50 -

Tabulka 4.2 – Pevnostní a mechanické vlastnosti betonu



4.2 Předpínací výztuž

Podélné předpětí je navrženo z 20 ks 17 lanových kabelů Y1860S7 – A. Hodnoty materiálu dle údajů poskytnutých výrobcem [3].

Předpínací výztuž			Y1860S7	Jednotky
Plocha lana	A_{pl}	=	150.00	mm ²
Počet lan	n	=	17.00	ks
Pevnost v tahu	f_{pk}	=	1860.00	MPa
Smluvní mez kluzu	$f_{po,ik}$	=	1636.80	MPa
Návrhová pevnost v tahu	f_{pd}	=	1423.30	MPa
Maximální napětí při napínání	$\sigma_{p,max}$	=	1473.12	MPa
Maximální napětí po zakotvení	$\sigma_{pm0,max}$	=	1391.28	MPa
Modul pružnosti	E_p	=	195.00	GPa
Prokluz v kotvě	a_p	=	6.00	mm
Dílčí materiálový součinitel	γ_M	=	1.15	-

Tabulka 4.3 – Pevnostní a deformační vlastnosti předpínací výztuž

$$f_{0,1;pk} = 0,88 \cdot f_{pk} \quad \text{dle čl. 3.3.1 [19]}$$

$$f_{pd} = \frac{f_{01;pk}}{\gamma_d} \quad \text{dle čl. 3.3.6 [19]}$$

$$\sigma_{p,max} = \min\{0,8f_{pk}; 0,9f_{0,1;pk}\} \quad \text{dle čl. 5.10.2 [19]}$$

$$\sigma_{pm0,max} = \min\{0,75f_{pk}; 0,85f_{0,1;pk}\} \quad \text{dle čl. 5.10.3 [19]}$$

4.3 Betonářská výztuž

Betonářská výztuž bude z žebříkové oceli **B500B**.

Betonářská výztuž			B500B	Jednotky
Charakteristická mez kluzu	f_{yk}	=	500.00	MPa
Návrhová mez kluzu	f_{yd}	=	434.78	MPa
Modul pružnosti	E_s	=	200.00	GPa
Dílčí materiálový součinitel	γ_M	=	1.15	-

Tabulka 4.4 – Pevnostní a deformační vlastnosti betonářské výztuže



4.4 Krycí vrstva betonu

Krycí vrstva betonu byla určena na základě výpočtů dle čl. 4.4.1 [19]. Pro opěry bude i přes rozdílné hodnoty XD1-2 uvažována jedna hodnota krycí vrstvy výzvuže.

Krycí vrstva betonu pro NK

Vstupní hodnoty

Beton:	C35/45	D _{max}	22	mm
Stupeň vlivu prostředí:	XC4, XF2, XD3	Průměr prutu Ø	25	mm
Návrhová životnost:	100 let	Desková konstrukce	NE	
Třída konstrukce	S6			

Nominální krycí vrstva

$$c_{\text{nom}} = c_{\min} + \Delta c_{\text{dev}} = 65 \text{ mm}$$

Minimální krycí vrstva

$$\begin{aligned} c_{\min} &= \max \{ c_{\min,b}, c_{\min,dur} + \Delta c_{\min,\gamma} - \Delta c_{\min,st} - \Delta c_{\min,add} \} \\ &= 10 \text{ mm} \\ &= c_{\min} = 55 \text{ mm} \end{aligned}$$

$$\begin{aligned} c_{\min,b} &= \text{minimální krycí vrstva z hlediska soudržnosti} &= 25 \text{ mm} \\ c_{\min,dur} &= \text{minimální krycí vrstva z hlediska podmínek prostředí} &= 55 \text{ mm} \\ \Delta c_{\min,\gamma} &= \text{přídavná bezpečnostní složka} &= 0 \text{ mm} \\ \Delta c_{\min,st} &= \text{redukce min. krycí vrstvy při použití nerezové oceli} &= 0 \text{ mm} \\ \Delta c_{\min,add} &= \text{redukce min. krycí vrstvy při použití přídavné ochrany} &= 0 \text{ mm} \end{aligned}$$

Přídavek pro návrhovou odchylku

$$\Delta c_{\text{dev}} = \text{přídavek pro návrhovou odchylku} = 10 \text{ mm}$$

Tabulka 4.5 – Krycí vrstva betonu pro NK

Krycí vrstva betonu pro opěra O1 a O2

Vstupní hodnoty

Beton:	C35/45	D _{max}	22	mm
Stupeň vlivu prostředí:	XC4, XF2, XD2	Průměr prutu Ø	25	mm
Návrhová životnost:	100 let	Desková konstrukce	ANO	
Třída konstrukce	S5			

Nominální krycí vrstva

$$c_{\text{nom}} = c_{\min} + \Delta c_{\text{dev}} = 55 \text{ mm}$$

Minimální krycí vrstva

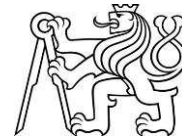
$$\begin{aligned} c_{\min} &= \max \{ c_{\min,b}, c_{\min,dur} + \Delta c_{\min,\gamma} - \Delta c_{\min,st} - \Delta c_{\min,add} \} \\ &= 10 \text{ mm} \\ &= c_{\min} = 45 \text{ mm} \end{aligned}$$

$$\begin{aligned} c_{\min,b} &= \text{minimální krycí vrstva z hlediska soudržnosti} &= 25 \text{ mm} \\ c_{\min,dur} &= \text{minimální krycí vrstva z hlediska podmínek prostředí} &= 45 \text{ mm} \\ \Delta c_{\min,\gamma} &= \text{přídavná bezpečnostní složka} &= 0 \text{ mm} \\ \Delta c_{\min,st} &= \text{redukce min. krycí vrstvy při použití nerezové oceli} &= 0 \text{ mm} \\ \Delta c_{\min,add} &= \text{redukce min. krycí vrstvy při použití přídavné ochrany} &= 0 \text{ mm} \end{aligned}$$

Přídavek pro návrhovou odchylku

$$\Delta c_{\text{dev}} = \text{přídavek pro návrhovou odchylku} = 10 \text{ mm}$$

Tabulka 4.6 – Krycí vrstva betonu pro opěru O1 a O2



Krycí vrstva betonu pro základový blok

Vstupní hodnoty

Beton:	C30/37	D _{max}	22	mm
Stupeň vlivu prostředí:	XC2, XF1, XA2	Průměr prutu Ø	32	mm
Návrhová životnost:	100 let	Desková konstrukce	NE	
Třída konstrukce	S6			

Nominální krycí vrstva

$$c_{\text{nom}} = c_{\min} + \Delta c_{\text{dev}} = 60 \text{ mm}$$

Minimální krycí vrstva

=	c _{min,b}	=	25	mm	
c _{min}	= max {	c _{min,dur} + Δc _{min,γ} - Δc _{min,st} - Δc _{min,add}	=	50	mm
	=	10 mm	=	10	mm
		c _{min}	=	50	mm

c _{min,b}	= minimální krycí vrstva z hlediska soudržnosti	=	32	mm
c _{min,dur}	= minimální krycí vrstva z hlediska podmínek prostředí	=	50	mm
Δc _{min,γ}	= přídavná bezpečnostní složka	=	0	mm
Δc _{min,st}	= redukce min. krycí vrstvy při použití nerezové oceli	=	0	mm
Δc _{min,add}	= redukce min. krycí vrstvy při použití přídavné ochrany	=	0	mm

Přídavek pro návrhovou odchylku

$$\Delta c_{\text{dev}} = \text{přídavek pro návrhovou odchylku} = 10 \text{ mm}$$

Tabulka 4.7 – Krycí vrstva betonu pro základový blok

Krycí vrstva betonu pro piloty

Vstupní hodnoty

Beton:	C25/30	D _{max}	22	mm
Stupeň vlivu prostředí:	XC2, XA2	Průměr prutu Ø	25	mm
Návrhová životnost:	100 let	Desková konstrukce	NE	
Třída konstrukce	S6			

Nominální krycí vrstva

$$c_{\text{nom}} = c_{\min} + \Delta c_{\text{dev}} = 60 \text{ mm}$$

Minimální krycí vrstva

=	c _{min,b}	=	25	mm	
c _{min}	= max {	c _{min,dur} + Δc _{min,γ} - Δc _{min,st} - Δc _{min,add}	=	50	mm
	=	10 mm	=	10	mm
		c _{min}	=	50	mm

c _{min,b}	= minimální krycí vrstva z hlediska soudržnosti	=	25	mm
c _{min,dur}	= minimální krycí vrstva z hlediska podmínek prostředí	=	50	mm
Δc _{min,γ}	= přídavná bezpečnostní složka	=	0	mm
Δc _{min,st}	= redukce min. krycí vrstvy při použití nerezové oceli	=	0	mm
Δc _{min,add}	= redukce min. krycí vrstvy při použití přídavné ochrany	=	0	mm

Přídavek pro návrhovou odchylku

$$\Delta c_{\text{dev}} = \text{přídavek pro návrhovou odchylku} = 10 \text{ mm}$$

Tabulka 4.8 – Krycí vrstva betonu pro piloty

**Krycí vrstva betonu pro předpínací výztuž****Vstupní hodnoty**

Beton:	C35/45	D _{max}	22	mm
Stupeň vlivu prostředí:	XC4, XF2, XD3	Průměr prutu Ø	90	mm
Návrhová životnost:	100 let	Desková konstrukce	NE	
Třída konstrukce	S6			

Nominální krycí vrstva

$$c_{nom} = c_{min} + \Delta c_{dev} = 100 \text{ mm}$$

Minimální krycí vrstva

$$\begin{aligned} c_{min} &= \frac{c_{min,b}}{c_{min,dur} + \Delta c_{min,\gamma} - \Delta c_{min,st} - \Delta c_{min,add}} = \frac{90}{60} = 1.5 \\ &= \frac{10 \text{ mm}}{c_{min}} = \frac{10}{90} = 0.111 \text{ mm} \end{aligned}$$

$$c_{min,b} = \text{minimální krycí vrstva z hlediska soudržnosti} = 90 \text{ mm}$$

$$c_{min,dur} = \text{minimální krycí vrstva z hlediska podmínek prostředí} = 60 \text{ mm}$$

$$\Delta c_{min,\gamma} = \text{přídavná bezpečnostní složka} = 0 \text{ mm}$$

$$\Delta c_{min,st} = \text{redukce min. krycí vrstvy při použití nerezové oceli} = 0 \text{ mm}$$

$$\Delta c_{min,add} = \text{redukce min. krycí vrstvy při použití přídavné ochrany} = 0 \text{ mm}$$

Přídavek pro návrhovou odchylku

$$\Delta c_{dev} = \text{přídavek pro návrhovou odchylku} = 10 \text{ mm}$$

Tabulka 4.9 – Krycí vrstva betonu pro předpínací výztuž

4.5 Založení

Model byl uložen na systém pružin, které simulují tuhost zeminy. Piloty byly k základovému bloku připojeny tuhou vazbou simulující větknutí do základového bloku.

Hodnota sednutí a modul reakce podloží byly získány z programu GEO5 – Pilota viz PŘÍLOHA B. Do programu byla namodelována geologie, na základě sond získaných z IGP viz PŘÍLOHA A. Pilota o průměru Ø 1,2 m a délky 12,0 m byla umístěna do výšky odpovídající skutečnosti a zatížena svislou silou F = 1 kN.

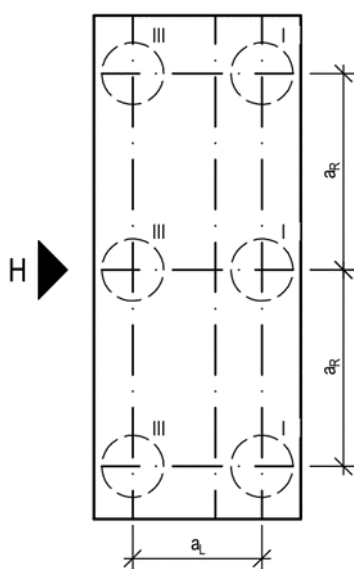
Jelikož osová vzdálenost mezi pilotami je 6Ø_{pil}, je třeba uvažovat spolupůsobení pilot a modul reakce podloží redukovat zmenšovacím koeficientem α_i jehož hodnoty byly stanoveny dle [4].

$$\text{Svislá tuhost pružiny } K_z: \quad K_z = \frac{F_{zi}}{u_{zi}} \quad \text{kN/m}$$

$$\text{Vodorovná tuhost pružiny } K_h: \quad K_h = \alpha_i * k_h * \Ø_{pil} * z_i \quad \text{kN/m}^2$$

kde:

- | | |
|------------------|-----------------------------|
| F _{zi} | Svislá reakce |
| u _{zi} | Sedání |
| α _i | Zmenšovací koeficient |
| k _h | Modul reakce podloží |
| Ø _{pil} | průměr piloty |
| z _i | odpovídající náhradní výška |



$$\alpha_L \Rightarrow \frac{a_L}{\phi_{pil}}$$

kde platí
 $2 \leq \frac{a_L}{\phi_{pil}} \leq 6$
 když $2 \leq \frac{a_L}{\phi_{pil}}$ je $\alpha_L = 0,5$
 když $\frac{a_L}{\phi_{pil}} \geq 6$ je $\alpha_L = 1$

$$\alpha_R \Rightarrow \frac{a_R}{\phi_{pil}}$$

kde platí
 $2 \leq \frac{a_R}{\phi_{pil}} \leq 3$
 když $2 \leq \frac{a_R}{\phi_{pil}}$ je $\alpha_R = \text{viz kap. 5 [3]}$
 když $\frac{a_R}{\phi_{pil}} \geq 3$ je $\alpha_R = 1$

Hodnota zmenšovacího součinitele:

$$\alpha_I = 1 * \alpha_R$$

$$\alpha_{III} = \alpha_L * \alpha_R$$

Obrázek 4.1 – Schéma rozmístění pilot a vzorce pro určení zmenšovacího součinitel

4.5.1 Svislá tuhost pružiny Kz

Svislá rekce byla uvažována z výsledků pro charakteristickou kombinaci a jejím průměrem z hodnot pro odpovídající skupinu pilot. Skupina I je ve vzdálenosti 0,9 m od osy uložení a skupina III ve vzdálenosti 1,6 m od osy uložení.

Pro model podloží u opěry O1 je použita sonda JV39 a pro opěru O2 je použita sonda JV40, podrobné informace o sondách viz PŘÍLOHA A. Výstupy použité při výpočtu tuhostí viz PŘÍLOHA B.

Výpočet náhradní tuhosti zeminy

Vstupní hodnoty piloty		
ϕ_{pil}	1.2	m
DL.	12	m

Sedání dle GEO5 - Pilota

O1		O2	
u_{zi}	F_{zi}	u_{zi}	F_{zi}
mm	kN	mm	kN
0	0.00	0	0.00
0.3	888.50	0.4	763.57
0.7	1256.53	0.8	1079.57
1.1	1538.93	1.2	1322.54
1.4	1777.00	1.6	1527.13
1.8	1986.75	2	1707.39
2.1	2176.38	2.4	1870.35
2.5	2350.76	2.8	2020.21
2.8	2513.90	3.2	2159.69
3.1	2665.51	3.6	2290.70
3.5	2809.69	4	2414.61

Tabulka 4.10 – Hodnoty sedání z programu GEO5 - Pilota

Svislá tuhost pružiny K_z

Kategorie piloty	O1			O2		
	F_z	u_z	K_z	F_z	u_z	K_z
	kN	mm	kN/m	kN	mm	kN/m
I	2527.48	2.83	894 090.85	2411.52	3.99	604 387.19
III	1758.76	1.38	1 277 226.31	1865.64	2.39	781 112.72

Tabulka 4.11 – Svislá tuhost pružiny K_z 4.5.2 Vodorovná tuhost K_h

Směr působení zatížení, které působí na konstrukci může být proměnný v závislosti na protažení či zkrácení konstrukce. Budou zadány hodnoty průměrem hodnot pro skupinu I a III.

Pro model podloží u opěry O1 je použita sonda JV39 a pro opěru O2 je použita sonda JV40, podrobné informace o sondách viz PŘÍLOHA A. Výstupy použité při výpočtu tuhostí viz PŘÍLOHA B.

Výpočet náhradní tuhosti zeminy

Vstupní hodnoty piloty		
\varnothing_{pil}	1.2	m
DL.	12	m

Modul reakce podloží k_h

O1			
h_1	h_2	k_h	
m	m	kN/m ³	MN/m ³
0	0.6	2 780.00	2.78
0.6	3.61	38 890.00	38.89
3.61	20	55 560.00	55.56

Vodorovná tuhost pružiny K_h

Body na pilotě	O1						
	z_i	K_h	α_I	α_{III}	K_{hI}	K_{hIII}	K_h
	m	kN/m	-	-	kN/m	kN/m	kN/m
0	0.5	1 668.00	1	0.5	1 668.00	834.00	1 251.00
1	1	46 668.00	1	0.5	46 668.00	23 334.00	35 001.00
2	1	46 668.00	1	0.5	46 668.00	23 334.00	35 001.00
3	1	64 471.56	1	0.5	64 471.56	32 235.78	48 353.67
4	1	66 672.00	1	0.5	66 672.00	33 336.00	50 004.00
5	1	66 672.00	1	0.5	66 672.00	33 336.00	50 004.00
6	1	66 672.00	1	0.5	66 672.00	33 336.00	50 004.00
7	1	66 672.00	1	0.5	66 672.00	33 336.00	50 004.00
8	1	66 672.00	1	0.5	66 672.00	33 336.00	50 004.00
9	1	66 672.00	1	0.5	66 672.00	33 336.00	50 004.00
10	1	66 672.00	1	0.5	66 672.00	33 336.00	50 004.00
11	1	66 672.00	1	0.5	66 672.00	33 336.00	50 004.00
12	0.5	33 336.00	1	0.5	33 336.00	16 668.00	25 002.00

Tabulka 4.12 – Vodorovná tuhost pružiny K_h pro opěru O1

**Výpočet náhradní tuhosti zeminy**

Hodnoty piloty		
\emptyset_{pil}	1.2	m
DL.	12	m

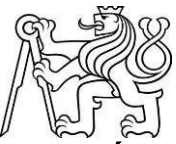
Modul reakce podloží k_h

O2			
h_1	h_2	k_h	
m	m	kN/m³	MN/m³
0	0.77	2 780.00	2.78
0.77	7.2	38 890.00	38.89
7.2	20	83 300.00	83.3

Vodorovná tuhost pružiny K_h

Body na pilotě	O2						
	z_i	K_h	α_I	α_{III}	K_{hI}	K_{hIII}	K_h
m	kN/m	-	-	kN/m	kN/m	kN/m	kN/m
0	0.5	1 668.00	1	0.5	1 668.00	834.00	1 251.00
1	1	46 668.00	1	0.5	46 668.00	23 334.00	35 001.00
2	1	46 668.00	1	0.5	46 668.00	23 334.00	35 001.00
3	1	46 668.00	1	0.5	46 668.00	23 334.00	35 001.00
4	1	46 668.00	1	0.5	46 668.00	23 334.00	35 001.00
5	1	46 668.00	1	0.5	46 668.00	23 334.00	35 001.00
6	1	46 668.00	1	0.5	46 668.00	23 334.00	35 001.00
7	1	62 655.60	1	0.5	62 655.60	31 327.80	46 991.70
8	1	99 960.00	1	0.5	99 960.00	49 980.00	74 970.00
9	1	99 960.00	1	0.5	99 960.00	49 980.00	74 970.00
10	1	99 960.00	1	0.5	99 960.00	49 980.00	74 970.00
11	1	99 960.00	1	0.5	99 960.00	49 980.00	74 970.00
12	0.5	49 980.00	1	0.5	49 980.00	24 990.00	37 485.00

Tabulka 4.13 – Vodorovná tuhost pružiny K_h pro opěru O2



5 VÝPOČET ZATÍŽENÍ

Zatížení aplikované na výpočetní model.

- Obecná zatížení (tíha materiálů aj.) dle [14]
- Most je navržen na zatížení dopravou dle [15] a příslušných národních dodatků. Uvažovaná zatěžovací schémata vycházejí ze zatřídění komunikace do skupiny 1 (dle NA.2.12). Dynamické účinky pohyblivého zatížení pro model LM1 jsou zohledněny v návrhových hodnotách.
 - zatěžovací schéma **LM1**
 - zatěžovací schéma **LM3 1800/200 a LM3 3000/240**
 - **zatížení chodci**
- Kombinace zatížení byly použity dle [13] včetně sestav zatížení.
- Zatížení větrem dle [16]
- Zatížení teplotou dle [17].

5.1 Staveniště zatížení dle [18] Skupina zatížení G0 – stálé – vlastní tíha

Zatížení vlastní tíhou je automaticky generováno programem MIDAS Civil. Pro ověření geometrické správnosti zadaného modelu je provedena kontrola zatížení. Hodnoty objemových hmotností jednotlivých materiálů (ocel, těžký beton) byly uvažovány dle [14].

Kontrola generovaného stavu

Ozn.	Popis	b [m]	h [m]	n [ks]	A [m ²]	γ [kN/m ³]	q [kN/m]	L [m]	Celkem Rz [kN]
G0	NK	-	-	1.00	13.22	25.00	330.38	30.00	9 911.25
G0	OPĚRA	-	-	2.00	13.01	25.00	325.25	17.95	11 676.48
GO	PILOTA	1.20	-	20.00	1.13	25.00	28.27	12.00	6 785.84
P	Předpětí	-	-	1.00	0.11	78.50	8.95	31.50	281.89
							Celkem NK		28 655.46
							Celkem Midas		28 630.13
							Poměr	OK	1.00

Tabulka 5.1 – Kontrola generovaného stavu

5.2 Skupina zatěžovacích stavů G-G0 – ostatní stálé

Uvažovaná zatížení jsou zadávána jejich náhradami (plošnými, liniovými, bodovými), tak aby jejich působení odpovídalo co nejvíce skutečnosti. Hodnoty objemových hmotností jednotlivých materiálů byly uvažovány dle [14].

Plošná zatížení

Ozn.	Popis	n [m]	tl. [m]	γ [kN/m ³]	q [kN/m ²]
		[m]	[m]	[kN/m ³]	[kN/m ²]
G-G0	SMA 11 - 40 mm	1.00	0.04	22.00	0.88
G-G0	ACL 16 - 50 mm	1.00	0.05	24.00	1.20
G-G0	MA 16 IV - 40 mm	1.00	0.04	22.00	0.88
G-G0	Izolace NAIP - 5 mm	1.00	0.01	24.00	0.12

Tabulka 5.2 – Tabulka plošného ostatního stálého zatížení

**Liniová zatížení**

Ozn.	Popis	Š	A	γ	Q	q	r
		[m]	[m ²]	[kN/m ³]	[kN]	[kN/m]	[m]
G-G0	Římsa PSH	-	0.60	25.00	-	15.08	0.00
G-G0	Římsa S	-	0.50	25.00	-	12.41	0.00
G-G0	PHS	-	-	-	-	1.62	0.00
G-G0	Svodidlo PSH	-	-	-	-	1.00	1.00
G-G0	Svodidlo	-	-	-	-	1.00	0.25

Tabulka 5.3 – Tabulka liniového ostatního stálého zatížení

5.3 Skupina zatěžovacích stavů GEO – zemní tlak

Opěra bude zatížena zemním tlakem od zásypu přechodové oblasti, která se stanoví ze zemního tlaku v klidu. Součinitel zemního tlaku je brán pro nesoudržné zeminy dle Jákyho.

$$\text{Zemní tlak v klidu: } \sigma_r = \sigma_z \cdot K_r \quad \text{kPa}$$

$$\text{Součinitel zemního tlaku: } K_r = 1 - \sin \varphi \quad -$$

Zemní tlak

γ	=	18	kN/m ³	K _r	=	0.5	-
φ	=	30	°	σ _{r01}	=	69.840	kPa
	=	0.5	-	σ _{r02}	=	69.840	kPa
h O1	=	7.76	m				
h O2	=	7.76	m				

Tabulka 5.4 – Tabulka hodnot pro zemní tlak

5.4 Skupina zatěžovacích stavů T – zatížení teplotou

Pro návrh NK budou uvažovány vlivy rovnoramenného oteplení, resp. ochlazení, teplotní gradient a nelineární průběh teploty dle tab. 6.1, 6.2, 6.2c v [17]. Teplota provádění NK byla uvažována 10 °C.

Teplota - rovnoramenná

Ozn.	Popis	T _{max}	T _{min}	T ₀	T _{e,max}	T _{e,min}	T _{n,exp}	T _{n,con}	Typ NK
		[°C]	[°C]	[°C]	[°C]	[°C]	[°C]	[°C]	-
T	Rovnoměrná teplota	40.00	-32.00	10.00	41.50	-24.00	31.50	-34.00	III

Tabulka 5.5 – Tabulka hodnot pro rovnoramennou teplotu

Teplota nerovnoměrná - teplotní gradient

Ozn.	Popis	Horní povrch teplejší než dolní		Dolní povrch teplejší než horní	
		ΔT _{M,heat} [°C]	ΔT _{M,cool} [°C]	ΔT _{M,heat} [°C]	ΔT _{M,cool} [°C]
T	3. Typ	Betonový nosník		15.00	8.00
Ozn.	Popis	Horní povrch teplejší než dolní		Dolní povrch teplejší než horní	
	Tl. mostního svršku	ksur		ksur	
T	bez svršku	0.80		1.10	
T	vodotěsná izolace	1.50		1.00	
T	100 mm	0.60		1.00	

Tabulka 5.6 – Tabulka hodnot pro teplotní gradient



Teplota nerovnoměrná - nelineární účinky

Ozn.	Oteplení		Ochlazení	
h	h ₁	0.3h (x ≤ 0.15 m)	h ₁	0.20h (x ≤ 0.25 m)
h ₂		0.3h (0.10 ≤ x ≤ 0.25 m)	h ₂	0.25h (x ≤ 0.20 m)
h ₃		0.3h (x ≤ 0.10 + mostní svršek)	h ₃	0.25h (x ≤ 0.20 m)
h ₄			h ₄	0.20h (x ≤ 0.25 m)
h	Oteplení		Ochlazení	
1.40	h ₁	0.150	h ₁	0.250
	h ₂	0.250	h ₂	0.200
	h ₃	0.235	h ₃	0.200
	h ₄	0.000	h ₄	0.250
1.80	h ₁	0.150	h ₁	0.250
	h ₂	0.250	h ₂	0.200
	h ₃	0.235	h ₃	0.200
	h ₄	0.000	h ₄	0.250

Tabulka 5.7 – Geometrie pro zadání nelineární teploty

Doporučené hodnoty ΔT pro 3. TYP

Tl desky	Tl mostního svršku	Oteplení			Ochlazení			
		ΔT_1	ΔT_2	ΔT_3	ΔT_1	ΔT_2	ΔT_3	ΔT_4
m	mm	°C						
1	Bez svršku	15.40	4.00	2.00	13.40	3.00	0.90	6.40
	V. izol.	23.60	5.00	1.40	13.40	3.00	0.90	6.40
	50	17.80	4.00	2.10	10.30	2.10	1.20	6.30
	100	13.50	3.00	2.50	8.00	1.50	1.50	6.30
	150	10.00	2.50	2.00	6.20	1.10	1.70	6.20
	200	7.50	2.10	1.50	4.30	0.90	1.90	5.80
	135	11.05	2.65	2.15	6.74	1.22	1.64	6.23
1.5	Bez svršku	15.40	4.50	2.00	13.70	1.00	0.60	6.70
	V. izol.	23.60	5.00	1.40	13.70	1.00	0.60	6.70
	50	17.80	4.00	2.10	10.60	0.70	0.80	6.60
	100	13.50	3.00	2.50	8.40	0.50	1.00	6.50
	150	10.00	2.50	2.00	6.50	0.40	1.10	6.20
	200	7.50	2.10	1.50	5.00	0.30	1.20	5.60
	135	11.05	2.65	2.15	7.07	0.43	1.07	6.29

Tabulka 5.8 – Výchozí hodnoty ΔT pro interpolaci po průřezu



5.5 Skupina zatěžovacích stavů W – zatížení větrem

Zatížení bylo uvažováni dle [16]. Působení větru bylo zadáváno liniově na nosnou konstrukci.

Vlastnosti zatížení větrem

Výchozí rychlosť větru	$v_{b,0}$ =	22.50	m/s		Posuzovaná výška	$z =$	10.13	m
Kategorie terénu	$kat =$	II	-		$z_0 =$	0.05	m	$z_{min} =$
Zkladní rychlosť větru	$v_b =$	22.50	m/s					
Součinitel směru větru	$c_{dir} =$	1.00	-					
Součinitel ročního období	$c_{season} =$	1.00	-					
Střední rychlosť větru	$v_m(z) =$	20.71	m/s					
Součinitel drsnosti terénu	$c_r(z) =$	0.92	-					
Součinitel terénu	$k_r =$	0.19	-		Součinitel orografie	$c_o(z) =$	1.00	-
Intenzita turbulence	$I_v(z) =$	0.21	-					
Součinitel turbulence	$k_I =$	1.00	-					
Maximální dynamický tlak	$q_p(z) =$	655.36	Pa		Součinitel expozice	$c_e =$	2.07	-
Síly větru podle směru na NK								
Ve směru X								
Výška konstrukce	$d_{tot} =$	6.40	m		NK =	1.40		m
Šířka NK	$b =$	17.95	m		PHS =	5.00		m
Součinitel sil pro mosty - x	$c_{fx,0} =$	1.63	-		PHS, plná zábradlí, svodidla a doprava			
Součinitel sil pro mosty - x	$c_{fx,0} =$	1.30	-		Výstavba, zábradlí (> 50% otvorů)			
Součinitel zatížení větrem	$C =$	2.69	-					
Tlak větru ve směru - x	$q_{px} =$	851.97	Pa					
Lin. zat. ve směru - x	$f_{px} =$	1.19	kN/m					
Ve směru Y								
Lin. zat. ve směru - y	$f_{py} =$	0.30	kN/m		25 % účinku do směru "X"			
Ve směru Z								
Výška konstrukce	$d_{tot} =$	1.40	m		NK =	1.40	m	
Šířka NK	$b =$	17.95	m					
Úhel větru od vodorovné	$\alpha =$	1.43	°		2.50%			
Příčný sklon konstrukce	$\beta =$	5.00	°					
Úhel větru ke konstrukci	$\theta =$	6.43	°		pro záporná θ je hodnota záporná			
Součinitel sil pro mosty - z	$c_{fz} =$	0.78	-					
Součinitel zatížení větrem	$C =$	1.61	-					
Tlak větru ve směru - z	$q_{pz} =$	507.90	Pa					
Lin. zat. ve směru - z	$f_{pz} =$	9.12	kN/m					

Tabulka 5.9 – Tabulka hodnot pro zatížení větrem dle



5.6 Skupina zatěžovacích stavů MVL – dopravní zatížení

Pro generování dopravního zatížení od dopravy byl využit modul programu MIDAS Civil. Na konstrukci jsou definovány zatěžovací pruty pro určené zatěžovací schéma. Program následně generuje zatěžovací stavy tak, aby dosáhl nejnepříznivějších podmínek zatížení na konstrukci. Dynamické součinitele byly uvažovány dle [15]. Zatížení byla klasifikována součinitelem α dle tabulky NA.1 pro skupinu 1 dle [15].

Pro výpočet přitížení za opěrou od dopravního zatížení bude využita náhradní zatěžovací plocha.

Půdorysná náhradní plocha

Model zatížení	Druh zatížení	Náhradní plocha
LM1	Dvounáprava TS	3,0 x 5,0 m
LM3	1800/200	3,0 x 14,0 m
	3000/240	4,5 x 19,0 m

Tabulka 5.10 – Půdorysná náhradní plocha dle [15]

5.6.1 Zatěžovací schéma LM1

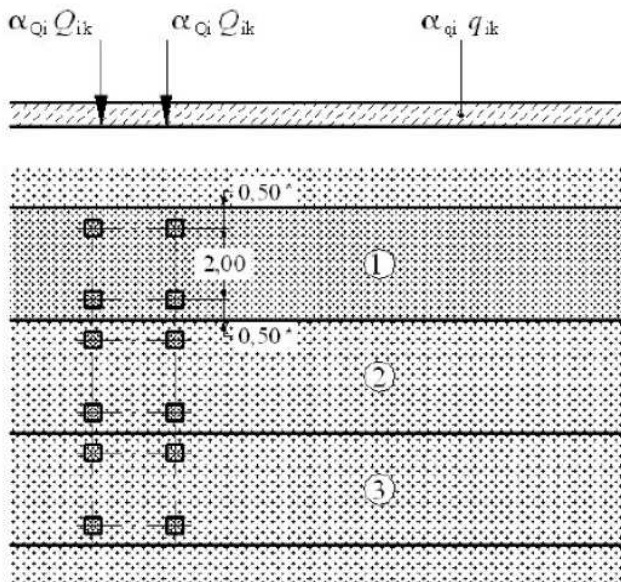
Model zatížení 1 - charakteristické hodnoty

Umístění	Dvounáprava TS		Rovnoměrné zatížení UDL	
	Q_k	[kN]	q_k	[kN/m ²]
Pruh č. 1	300		9	
Pruh č. 2	200		2.5	
Pruh č. 3	100		2.5	
Ostatní pruhy	0		2.5	
Zbývající plocha	0		2.5	

Tabulka 5.11 – Hodnoty pro zatěžovací schéma LM1 dle [15]

Skupina pozemních komunikací	α_{Q1}	α_{Q2}	α_{Q3}	α_{q1}	$\alpha_{qi} (i>2)$	α_{qr}
1	1	1	1	1	2.4	1.2
2	0.8	0.8	0.8	0.45	1.6	1.6

Tabulka 5.12 – Hodnoty regulačních součinitelů α pro ČR dle [15]



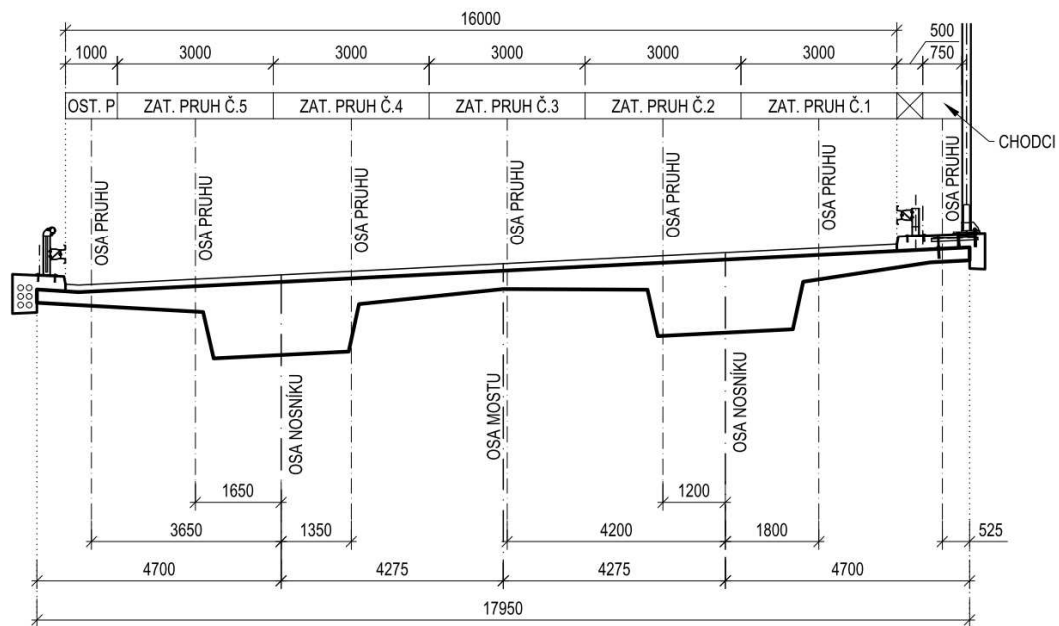
Legenda

- (1) pruh č. 1: $Q_{1k} = 300 \text{ kN}$; $q_{1k} = 9,0 \text{ kN/m}^2$
- (2) pruh č. 2: $Q_{2k} = 200 \text{ kN}$; $q_{2k} = 2,5 \text{ kN/m}^2$
- (3) pruh č. 3: $Q_{3k} = 100 \text{ kN}$; $q_{3k} = 2,5 \text{ kN/m}^2$

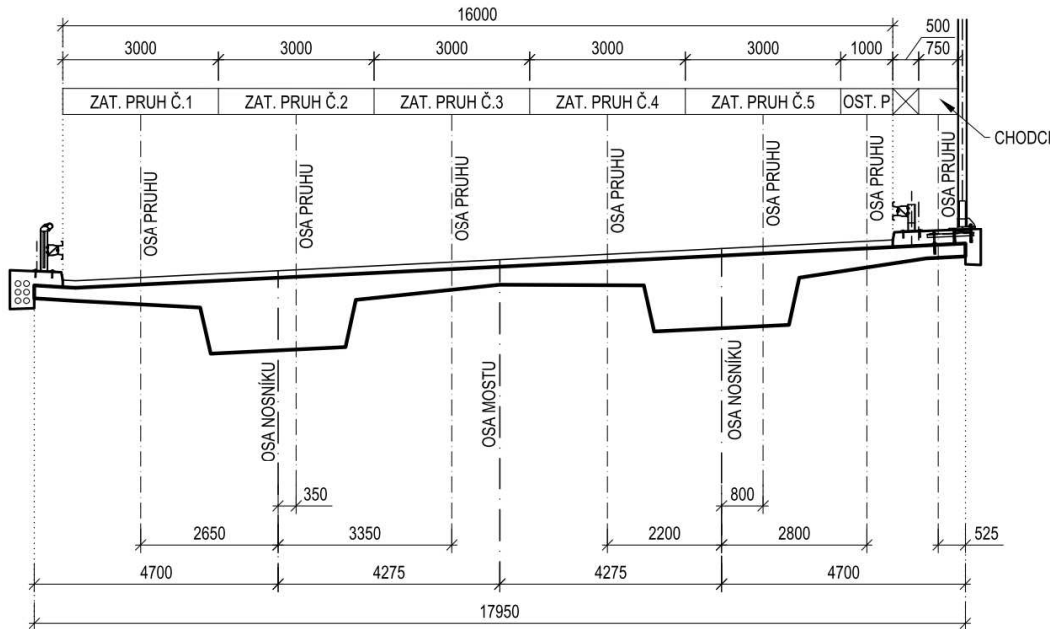
Vzdálenost náprav dvojnápravy je 1,2 m

* pro $w = 3,00 \text{ m}$

Obrázek 5.1 – Geometrie pro zatěžovací schéma LMI viz obr. 4.2a dle [15]



Obrázek 5.2 – Schéma pro rozdělení do zatěžovacích pruhů na konstrukci var. I



Obrázek 5.3 – Schéma pro rozdělení do zatěžovacích pruhů na konstrukci var.2

5.6.2 Zatěžovací schéma LM3:

Zvláštní vozidla budou použita pro kategorie komunikace dálnice dle [15].

Označení	1800/200	3000/240
Celková tíha	1800 kN	3000 kN
Nápravy	$n = 9,0 \times 200,0 \text{ kN}$	$n = 1,0 \times 120,0 + 12,0 \times 240,0 \text{ kN}$
	$e = 1,50 \text{ m}$	$e = 1,50 \text{ m}$
Umístění zatížení	Zvláštní vozidlo se pohybuje v jednom jízdním pruhu (číslo 1), v tomto pruhu se nesmí umístit současně působící model zatížení LM1 po celé délce mostu. Rozdělení vozovky na zatěžovací pruhy se provede dle A.3(2).	Zvláštní vozidlo šířky 4,5 m se pohybuje v ideální stopě v prostoru všech zatěžovacích pruhů podle A.3(2), přičemž se uvažuje možná odchylka od této polohy $\pm 0,50 \text{ m}$.
Kombinace zatížení	Model zatížení LM1 se uvažuje v pruhu 2 (a dalších) hodnotami pro pruh 2 (a další) bez soustředěných zatížení od dvojnápravy, tj. pouze charakteristickými hodnotami pro rovnoměrné zatížení $\alpha_{qi}q_{ki}$, resp. $\alpha_{qr}q_{kr}$.	Po celé délce nosné konstrukce mostu musí být vyloučena veškerá ostatní doprava.
Rychlosť	Normální ($\leq 70 \text{ km/h}$)	Nízká ($\leq 5 \text{ km/h}$)
Dynamický součinitel	$\varphi = 1,25$ ¹⁾	$\varphi = 1,05$
Poznámka	Při přejezdu zvláštního vozidla nebude povolen souběžný provoz pro vozidla nad 5 t.	Jedná se o jediné vozidlo na mostě.

¹⁾ pokud není stanoveno přesněji, viz také ČSN 73 6222

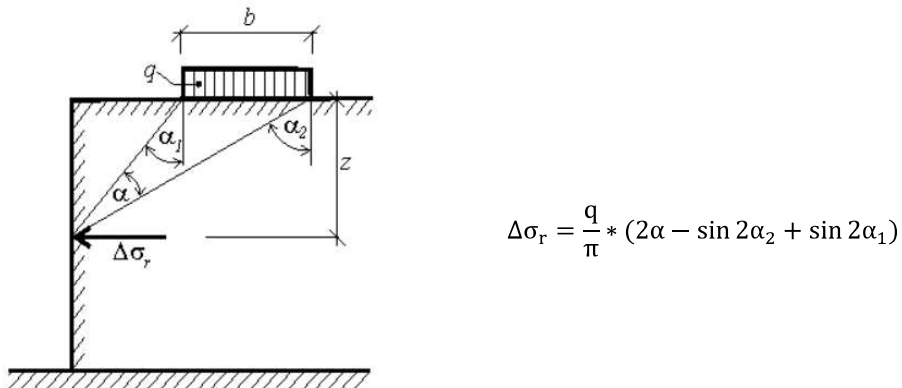
Tabulka 5.13 – Hodnoty zatěžovací sestavy LM3 dle [15]



5.6.3 Přitížení za opěrou od dopravního zatížení

Zatížení od svislého dopravního zatížení vyvolává přitížení zemního tlaku na opěry. Zatížení od nápravových sil bude přepočítáno na náhradní zatěžovací plochu.

Pásové přitížení od zemního tlaku v klidu se vypočítá dle vzorce [5]:



Přírůstek zemního tlaku od svislého pásového zatížení

Obrázek 5.4 – Schéma výpočtu pásového přitížení

	LM1 - pruh 1	LM3 - 1800/200	LM3 - 3000/240	
TS	600	-	1800	kN
B	3.00	-	3.00	m
L	4.50	-	13.00	m
A	13.5	-	39	m ²
q	44.44	9.00	46.15	kN/m ²
x	0.75	0.00	0.75	m
b	4.50	40.00	13.00	m
z	3.88	3.88	3.88	m
α	42.59	84.46	63.30	°
α ₁	10.94	0.00	10.94	°
α ₂	53.53	84.46	74.24	°

Δσ	12.78	4.50	30.26	27.44	kPa
----	-------	------	-------	-------	-----

Tabulka 5.14 – Hodnoty pro zadání přitížení od dopravy



5.7 Skupina zatěžovacích stavů B – Zatížení rozjezdovými a brzdnými silami

Zatížení rozjezdovými a brzdnými silami je pro posudek hlavní nosné konstrukce zanedbatelné. Zatížení bylo aplikováno na konstrukci pro zjištění vlivu na spodní stavbu. Byly uvažovány brzdné síly pro schémata zatížení LM1 a LM3 dle čl. 4.4.1 [15].

B: Brzdná síla pro LM1			
Délka nosné konstrukce	L =	31.50	m
Šířka jízdního pruhu	w _i =	3.00	m
Nápravová síla (TS)	Q ₁ =	300.00	kN
Klasifikační součinitel Q ₁	α _{Q1} =	1.00	-
Rovnoměrné zatížení (UDL)	q ₁ =	9.00	kN/m ²
Klasifikační součinitel q ₁	α _{q1} =	1.00	-

Podélná brzdná síla	Q _{ik} =	445.05	kN
---------------------	-------------------	--------	----

$$180 \cdot \alpha_{q1} (\text{kN}) < Q_{ik} < 900 (\text{kN}) \quad \text{ANO}$$

Příčná brzdná síla	Q _{trk} =	111.26	kN	25% z Q _{ik}
--------------------	--------------------	--------	----	-----------------------

Tabulka 5.15 – Hodnoty rozjezdových a brzdných sil pro LM1

B: Brzdná síla pro LM3			
Délka nosné konstrukce	L =	31.50	m
Šířka jízdního pruhu	w _i =	3.00	m
Tíha zvláštního vozidla	Q _{LM3} =	1800.00	kN
Klasifikační součinitel q ₁	α _{q1} =	1.00	-
Rovnoměrné zatížení (UDL)	q ₁ =	2.50	kN/m ²
Klasifikační součinitel q ₂	α _{q2} =	2.40	-

Podélná brzdná síla	Q _{ik} =	1136.70	kN
---------------------	-------------------	---------	----

$$180 \cdot \alpha_{q1} (\text{kN}) < Q_{ik} < 600 (\text{kN}) \quad \text{NE}$$

Podélná brzdná síla	Q _{ik} =	600.00	kN
---------------------	-------------------	--------	----

Příčná brzdná síla	Q _{trk} =	150.00	kN	25% z Q _{ik}
--------------------	--------------------	--------	----	-----------------------

Tabulka 5.16 - Hodnoty rozjezdových a brzdných sil pro LM3



5.8 Skupina zatěžovacích stavů C – Odstředivé a jiné příčné síly

Stanoveno dle čl. 4.4.2 [15].

Charakteristické hodnoty odstředivých sil

$Q_{tk} = 0,2 Q_v$	kN	je-li $R < 200$ m
$Q_{tk} = 40Q_v/R$	kN	je-li $200 < R < 1500$ m
$Q_{tk} = 0$	kN	je-li $R > 1500$ m

R poloměr osy vozovky ve vodorovné rovině v m

Q_v Celková maximální tíha svislého soustředného zatížení dvounápravami modelu zatížení 1, tj. $\Sigma \alpha_{Qi}(2O_{ik})$

Tabulka 5.17 – Charakteristické hodnoty pro odstředivé síly dle [15]

C: Odstředivá síla pro LM1			
Poloměr oblouku	$R =$	900.00	m
Max. tíha sous. zat. od LM1	$Q_v =$	1200.00	kN

Odstředivá síla	$Q_{tk} =$	53.33	kN
-----------------	------------	--------------	----

C: Odstředivá síla pro LM3			
Poloměr oblouku	$R =$	900.00	m
Tíha zvláštního vozidla	$Q_{LM3} =$	1800.00	kN

Odstředivá síla	$Q_{tk} =$	80.00	kN
-----------------	------------	--------------	----

Tabulka 5.18 – Hodnoty odstředivých sil

5.9 Skupina zatěžovacích stavů S – Účinky nerovnoměrného sedání opěr

Jelikož je model uložen na soustavě pružin pokles konstrukce se do výsledků promítne, právě díky sedání jednotlivých pružin.

5.10 Skupina zatěžovacích stavů STAV – Staveništění zatížení

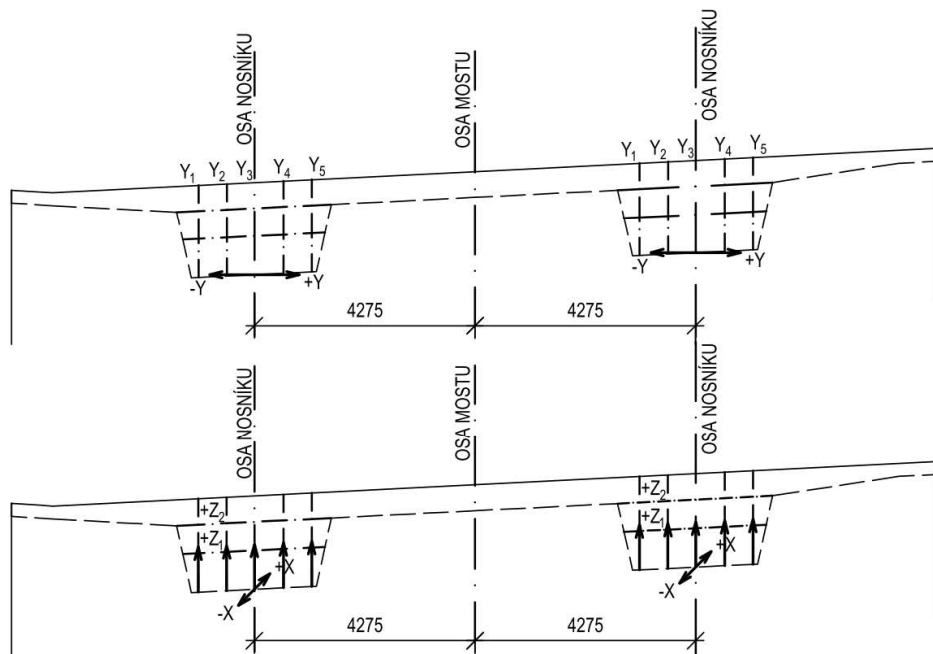
Charakteristická hodnota staveništění zatížení je uvažováno hodnotou 1 kN/m² na šířku nosné konstrukce.



6 NÁVRH KONSTRUKCE V PODÉLNÉM SMĚRU

6.1 Návrh předpětí

Do nosné konstrukce bude umístěno 2x10 ks 17 lanových kabelů Y1860-15,7. Vedení kabelu je definováno výškovým polygonem a poloměrem zaoblení kabelu. Kabely budou napínány z jedné strany, polovina kabelů bude napínána z opěry O1 a druhá polovina pak z opěry O2. Osa nosníku je od osy mostu vzdálená 4,275 m, v ose nosníku je počátek souřadného systému. Hodnota $z+$ je brána od dna bednění. Podrobně vykresleno ve výkresu předpětí. Výztuž bude zainjektována cementovou maltou v plastovém kanálku, stupeň protikozorní ochrany PL2.



Obrázek 6.1 – Schéma souřadného systému předpětí

Geometrie kabelu předpětí

Podélný směr - vrstva 1			
Lom pol.	X m	Z ₁ m	R m
1	0.00	0.75	0.00
2	9.25	0.15	550.00
3	15.75	0.15	0.00
4	22.75	0.15	550.00
5	31.50	0.75	0.00

Příčný směr		
Rozteče	Y m	Os. vz. m
1	-1.10	0.55
2	-0.55	0.55
3	0.00	0.55
4	0.55	0.55
5	1.10	0.55

Podélný směr - vrstva 2			
Lom pol.	X m	Z ₂ m	R m
1	0.00	1.10	0.00
2	9.25	0.35	200.00
3	15.75	0.35	0.00
4	22.75	0.35	200.00
5	31.50	1.10	10.00

Tabulka 6.1 – Geometrie předpínací výztuže

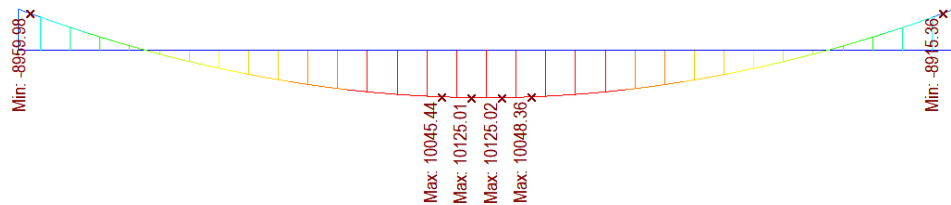


6.2 Vnitřní síly

Vnitřní síly na konstrukci jsou vykresleny v ose pravého trámu konstrukce.

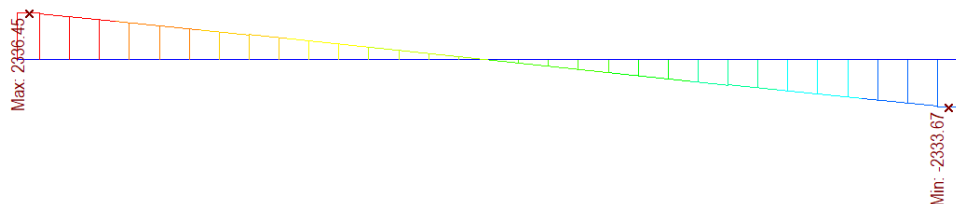
6.2.1 Vlastní tíha G0

- Vlastní tíha – G0 – My [kNm]



Obrázek 6.2 – Ohybový moment od vlastní tíhy

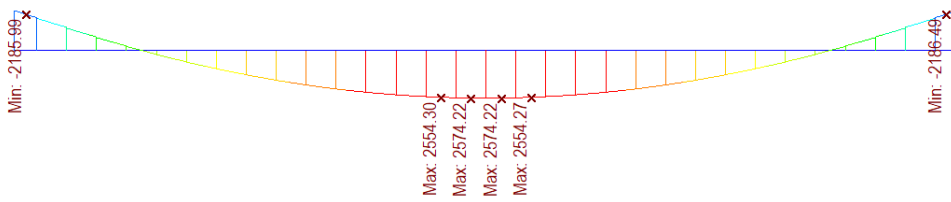
- Vlastní tíha – G0 – Vz [kN]



Obrázek 6.3 – Posouvající síla od vlastní tíhy

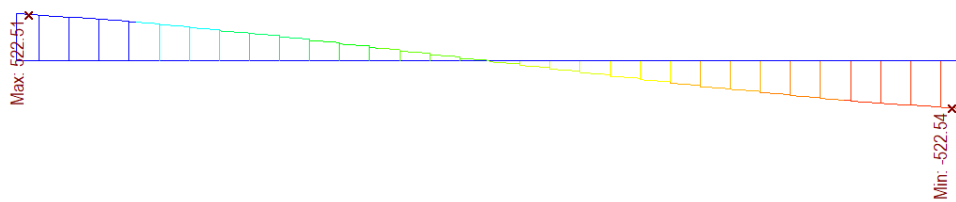
6.2.2 Ostatní stálé zatížení

- Ostatní stálé – G-G0 – My [kNm]



Obrázek 6.4 – Ohybový moment od ostatního stálého zatížení

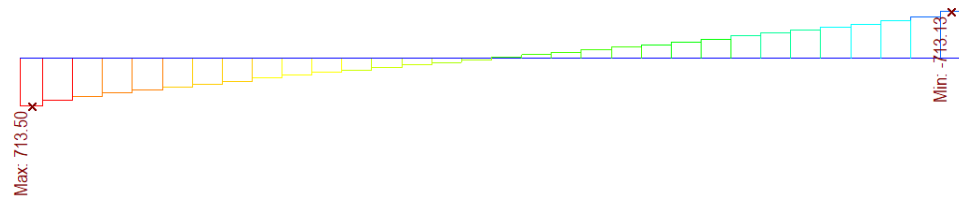
- Ostatní stálé – G-G0 – Vz [kN]



Obrázek 6.5 – Posouvající síla os ostatního stálého zatížení



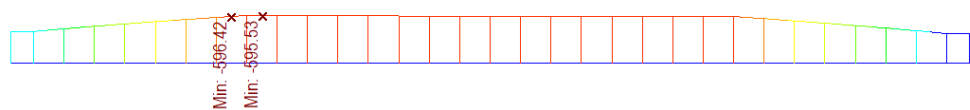
- Ostatní stálé – G-G0 – Mx [kNm]



Obrázek 6.6 – Kroutící moment od ostatního stálého zatížení

6.2.3 Účinky od zemního tlaku na opěře

- Účinky zemního tlaku – GEO – My [kNm]



Obrázek 6.7 – Ohybový moment od zemního tlaku

- Účinky zemního tlaku – GEO – Vz [kN]



Obrázek 6.8 – Posouvající síla od zemního tlaku

6.2.4 Předpětí

Výstupy vnitřních sil od předpětí jsou vykresleny na konci životnosti konstrukce.

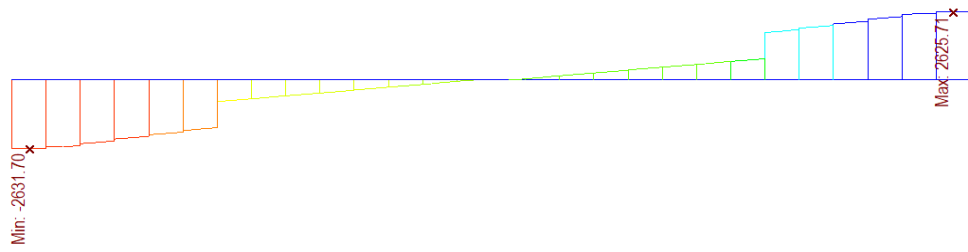
- Předpětí (primární) – P – My [kNm]



Obrázek 6.9 – Ohybový moment od primárního předpětí

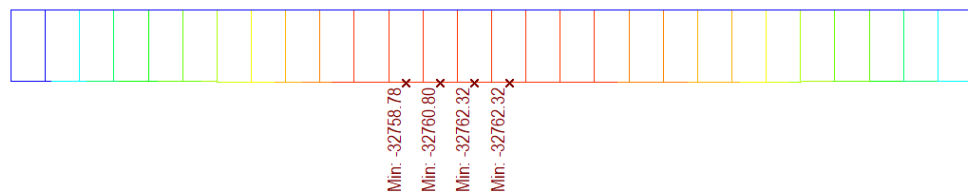


- Předpětí (primární) – P – Vz [kN]



Obrázek 6.10 – Posouvající síla od primárního předpětí

- Předpětí (primární) – P – N [kN]



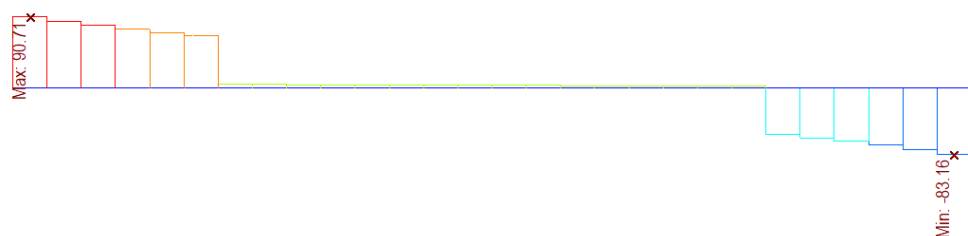
Obrázek 6.11 – Normálová síla od primárního předpětí

- Předpětí (sekundární) – P – My [kNm]



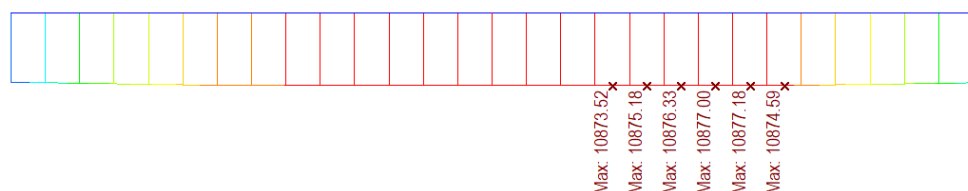
Obrázek 6.12 – Ohybový moment od sekundárního předpětí

- Předpětí (sekundární) – P – Vz [kN]



Obrázek 6.13 – Posouvající síla od sekundárního předpětí

- Předpětí (sekundární) – P – N [kN]



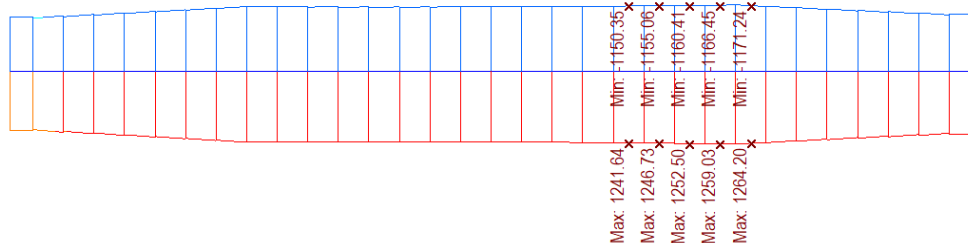
Obrázek 6.14 – Normálová síla od sekundárního předpětí



6.2.5 Rovnoměrná teplota

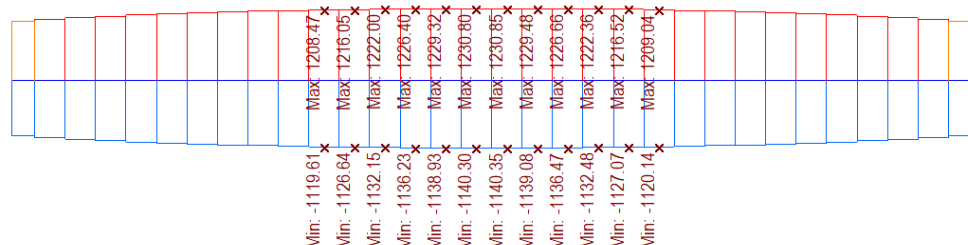
Obálka účinků rovnoměrného oteplení a ochlazení konstrukce.

- Rovnoměrná teplota – TM – My [kNm]



Obrázek 6.15 – Ohybový moment od rovnoměrné teploty

- Rovnoměrná teplota – TM – N [kN]

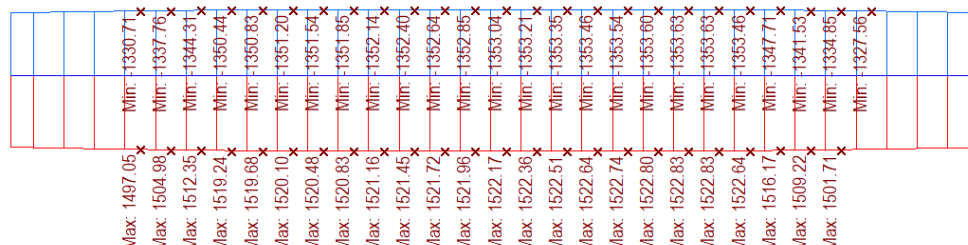


Obrázek 6.16 – Normálová síla od rovnoměrné teploty

6.2.6 Nerovnoměrná teplota

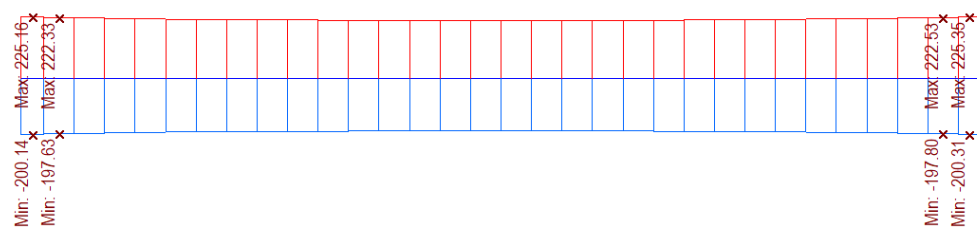
Obálka od oteplení a ochlazení konstrukce od teplotního gradientu a od nelineární teploty.

- Teplotní gradient – TN – My [kNm]



Obrázek 6.17 – Ohybový moment od teplotního gradientu

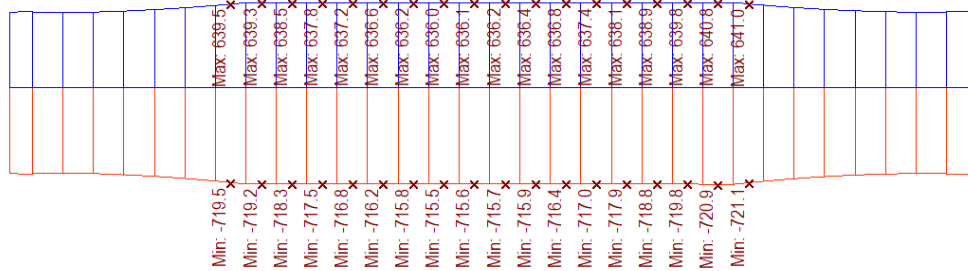
- Teplotní gradient – TN – N [kN]



Obrázek 6.18 – Normálová síla od teplotního gradientu

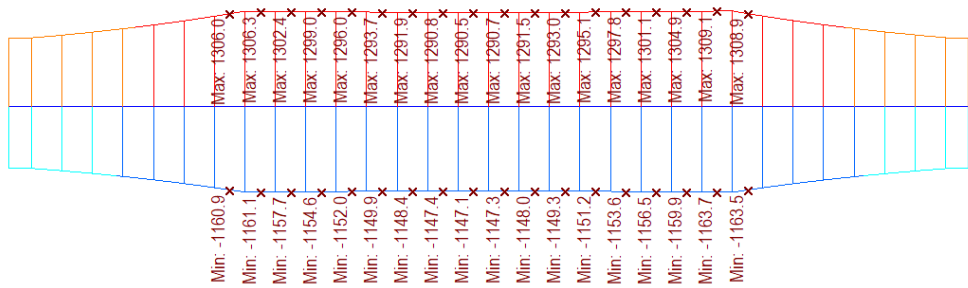


- Teplotní gradient – TN – σ (horní vlákna) [kPa]



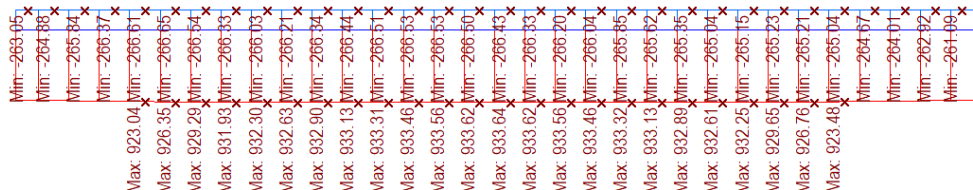
Obrázek 6.19 – Napětí v horních vláknech od teplotního gradientu

- Teplotní gradient – TN – σ (dolní vlákna) [kPa]



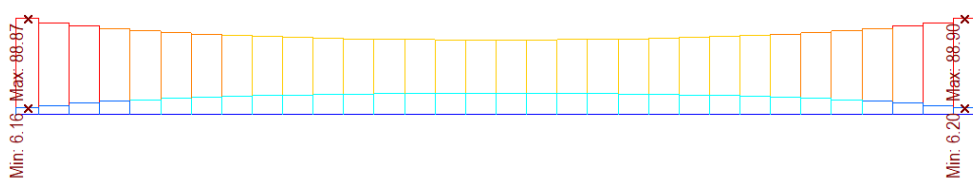
Obrázek 6.20 – Napětí v dolních vláknech od teplotního gradientu

- Nelineární teplota – TN – My [kNm]



Obrázek 6.21 – Ohybový moment od nelineární teploty

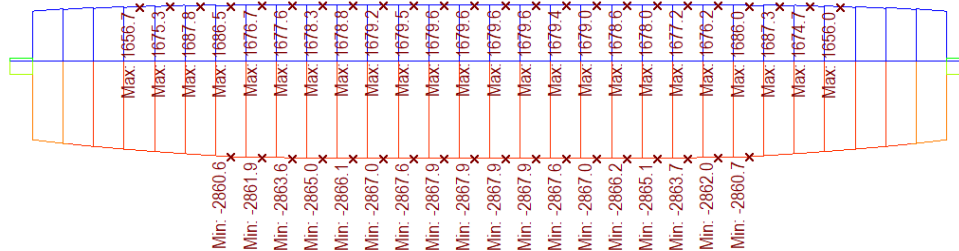
- Nelineární teplota – $T_N - N$ [kN]



Obrázek 6.22 – Normálová síla od nelineární teploty

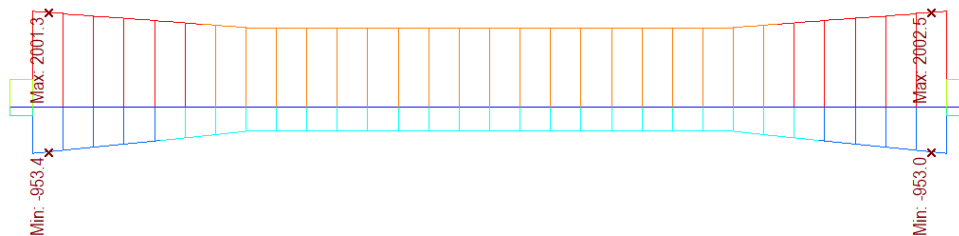


- Nelineární teplota – TN – σ (horní vlákna) [kPa]



Obrázek 6.23 – Napětí v horních vláknech od teplotního gradientu

- Nelineární teplota – TN – σ (dolní vlákna) [kPa]

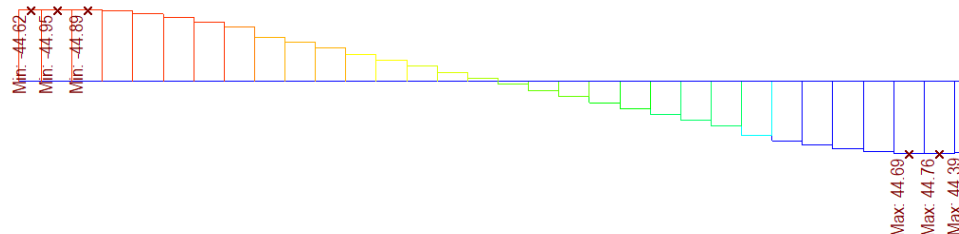


Obrázek 6.24 – Napětí v dolních vláknech od teplotního gradientu

6.2.7 Vítr

Hodnoty pro zatížení větrem na konstrukci jsou zanedbatelné. Do posouzení budou zahrnuty v kombinacích. Zde pro ukázku uvedený vliv kroucení na nosník od větru ve směru y.

- Vítr y – W – M_x [kNm]

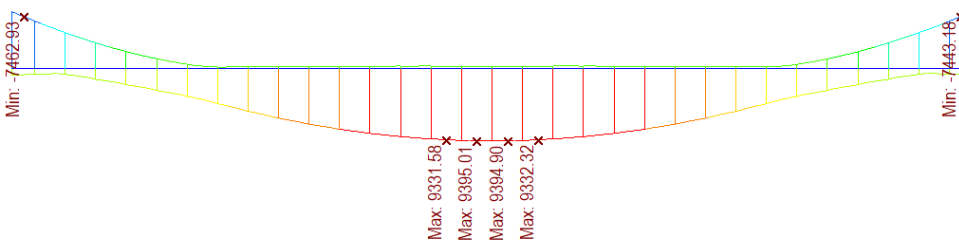


Obrázek 6.25 – Kroutící moment od větru ve směru y

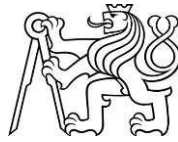
6.2.8 Svislé dopravní zatížení

Obálka generovaná od zatěžovacích stavů LM1 a LM3.

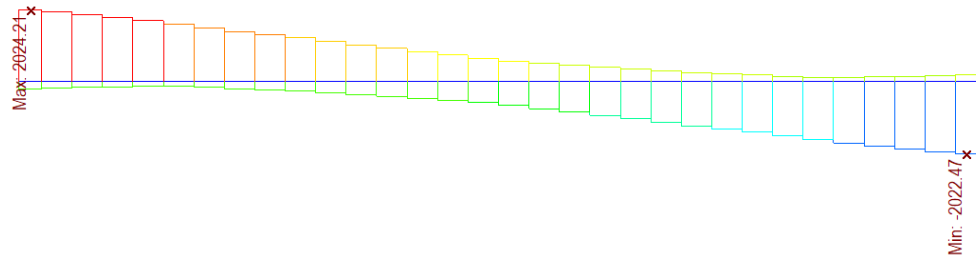
- Zatížení od dopravy – MVL – M_y [kNm]



Obrázek 6.26 – Ohybový moment od svislého dopravního zatížení

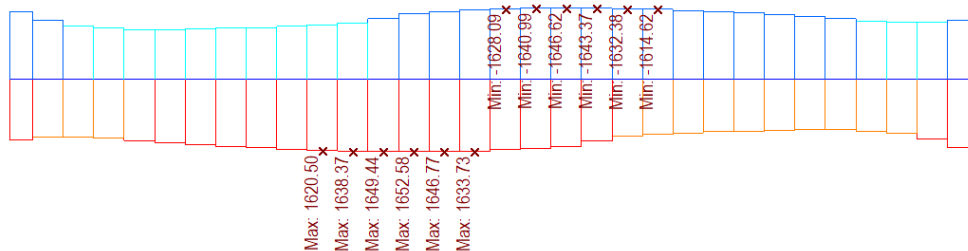


- Zatížení od dopravy – MVL – Vz [kN]



Obrázek 6.27 – Posouvající síla od svislého dopravního zatížení

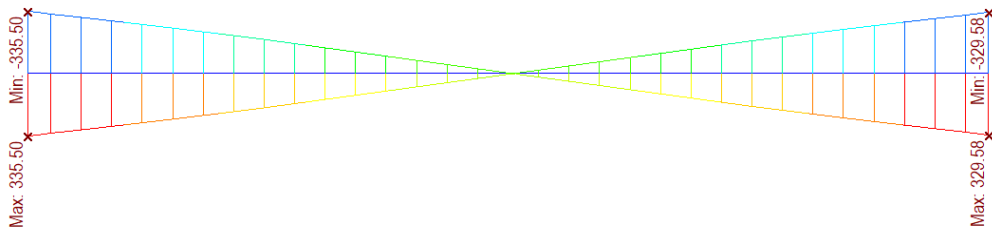
- Zatížení od dopravy – MVL – Mx [kNm]



Obrázek 6.28 – Kroutící moment od svislého dopravního zatížení

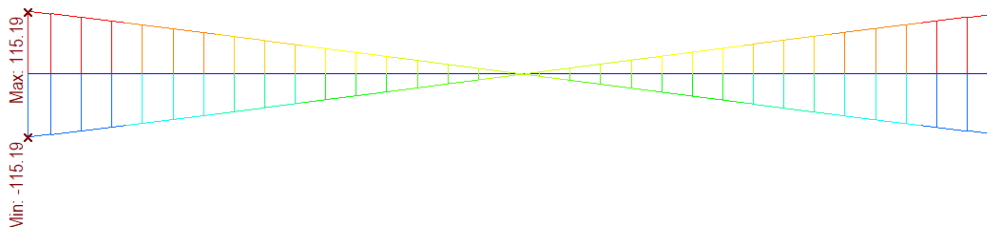
6.2.9 Zatížení rozjezdovými a brzdnými silami

- Brzdné síly LM1 – B – My [kNm]



Obrázek 6.29 – Ohybový moment od brzdných sil LMI

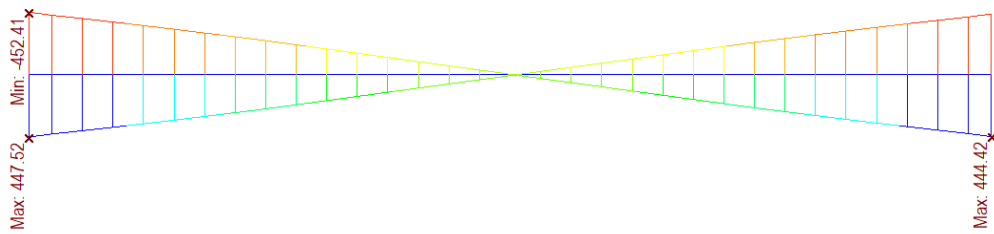
- Brzdné síly LM1 – B – N [kN]



Obrázek 6.30 – Normálová síla od brzdných sil LMI

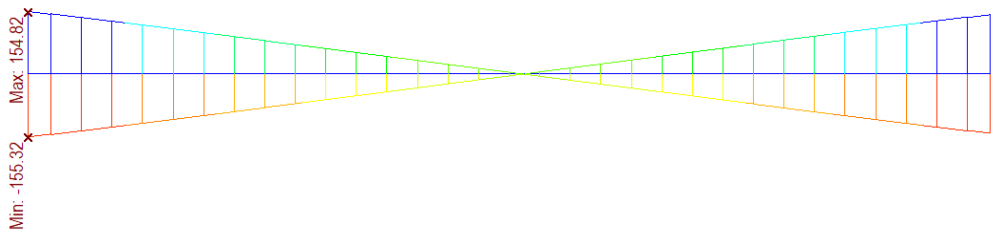


- Brzdné síly LM3 – B – My [kNm]



Obrázek 6.31 – Ohybový moment od brzdných sil LM3

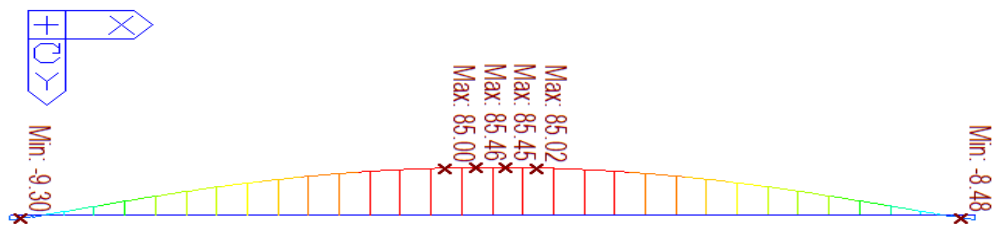
- Brzdné síly LM3 – B – N [kN]



Obrázek 6.32 – Normálová síla od brzdných sil LM3

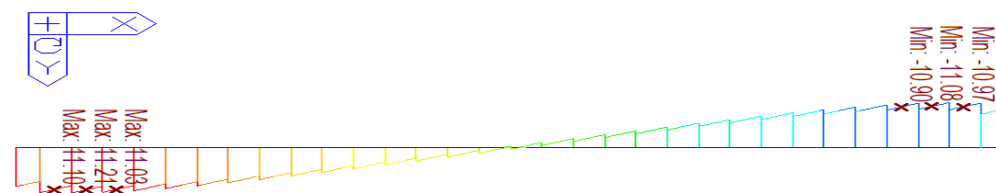
6.2.10 Zatížení odstředivými silami

- Odstředivé síly LM1 – C – Mz [kNm]



Obrázek 6.33 – Ohybový moment od odstředivých sil LM1

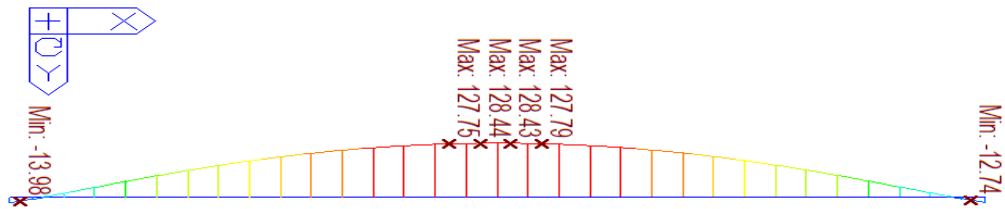
- Odstředivé síly LM1 – C – Fy [kN]



Obrázek 6.34 – Posouvající síla od odstředivých sil LM1

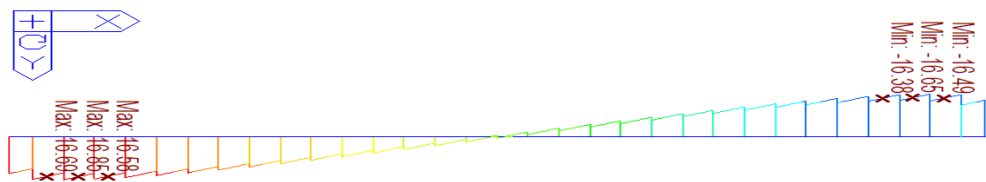


- Odstředivé síly LM3 – C – Mz [kNm]



Obrázek 6.35 – Ohybový moment od odstředivých sil LM3

- Odstředivé síly LM3 – C – Fy [kN]



Obrázek 6.36 – Posouvající síla od odstředivých sil LM3

6.3 Kombinace zatěžovacích stavů

Kombinace byly stanoveny dle [13].

Pro kombinace mezních stavů od dopravy budou uvažovány zatěžovací systémy gr1a, gr4 a gr5 viz tab. 4.4a dle [15].

Pro posouzení MSU bude použito programu IDEA StatiCa – RCS, do kterého budou nahrány kombinace z programu MIDAS Civil.

Pro posouzení MSP byly použity výstupy kombinací přímo z MIDAS Civil.



6.3.1 Součinitelé zatížení pro mosty

Součinitely γ jsou stanoveny dle tab. A2.4 dle [13].

Popis	Součinitel γ	
	Nepříznivé	Příznivé
STÁLÉ ZATÍŽENÍ		
Vlastní tíha	1,35	1,00
Ostatní stálé zatížení	1,35	1,00
Nerovnoměrné sedání podpor NS	1,2	1,00
PROMĚNNÉ ZATÍŽENÍ		
Zatížení dopravou		
Model zatížení LM1	1,35	-
Model zatížení LM3	1,35	-
Model zatížení na únavu	-	-
Model zatížení LM4	1,35	-
Zatížení chodníků	1,35	-
Zatížení teplotou	1,50	-
Rovnoměrná teplota	1,50	-
Nerovnoměrná teplota	1,50	-
Staveniště zatížení	1,50	-
ZATÍŽENÍ PŘI VÝSTAVBĚ		
Zatížení při betonáži	1,35	-

Tabulka 6.2 – Doporučené hodnoty součinitelů ψ pro mosty

Součinitely ψ jsou stanoveny viz tab. A2.1 dle [13].

Zatížení	Značka	ψ_0	ψ_1	ψ_2	$\psi_{1,infq.}$
Zatížení dopravou	gr1a (LM1)	TS	0,75	0,75	0,00
		UDL	0,40	0,40	0,00
		zat.chodci+cyklisty	0,40	0,40	0,80
	gr1b (jednotlivá náprava)	0,00	0,75	0,00	0,80
	gr2 (vodorovné síly)	0,00	0,00	0,00	1,00
	gr3 (zatížení chodci)	0,00	0,40	0,00	0,80
	gr4 (LM4 - zatížení davem lidí)	0,00	-	0,00	0,80
Zatížení větrem	gr5 (LM3 - zvláštní vozidla)	0,00	-	0,00	1,00
	F _{wk} : trvalé návrhové situace	0,60	0,20	0,00	0,60
	provádění	0,80	-	0,00	-
Zatížení teplotou	F _w	1,00	-	-	-
	T _k	0,60	0,60	0,50	0,80
Zatížení sněhem	Q _{Sn,k} (během provádění)	0,80	-	-	1,00
Staveniště zat.	Q _c	1,00	-	1,00	1,00

Tabulka 6.3 – Doporučené hodnoty součinitelů ψ pro mosty



6.4 Kombinace pro MSU:

Kombinace zatížení se mají uvažovat v těchto návrhových situacích:

- kombinace zatížení pro trvalé a dočasné návrhové situace
- kombinace pro mimořádné návrhové situace
- kombinace zatížení pro seismické návrhové situace

V této práci se budu zabývat pouze kombinací pro trvalé a dočasné návrhové situace. Z kombinací bude vybraná nejpříznivější hodnota a ta následně posouzena.

6.4.1 Vztahy pro trvalé a dočasné návrhové situace

Kombinace účinků zatížení mají vycházet z:

$$\sum \gamma_{G,j} \cdot G_{k,j} + \gamma_P \cdot P + \gamma_{Q,1} \cdot Q_{k,1} + \sum \gamma_{G,j} \cdot \psi_{0,i} \cdot Q_{k,j} \quad (6.10)$$

nebo alternativně pro mezní stavy STR a GEO, jako méně příznivá kombinace z výrazů:

$$\sum \gamma_{G,j} \cdot G_{k,j} + \gamma_P \cdot P + \gamma_{Q,1} \cdot \psi_{0,1} \cdot Q_{k,1} + \sum \gamma_{G,j} \cdot \psi_{0,i} \cdot Q_{k,j} \quad (6.10a)$$

$$\sum \xi_j \cdot \gamma_{G,j} \cdot G_{k,j} + \gamma_P \cdot P + \gamma_{Q,1} \cdot Q_{k,1} + \sum \gamma_{G,j} \cdot \psi_{0,i} \cdot Q_{k,j} \quad (6.10b)$$

STR rozhodující je pevnost konstrukčních materiálů

GEO rozhodující jsou základové poměry

“+” kombinovaný s

\sum kombinovaný účinek

ξ redukční součinitel pro nepříznivá stálá zatížení G ($\xi_G = 0,85$)

γ, ψ součinitele

6.5 Kombinace pro MSP:

Kombinace zatížení se mají uvažovat v těchto návrhových situacích:

- charakteristická kombinace
- častá kombinace
- kvazistálá kombinace
- občasná kombinace

V této práci se nebudeme zabývat pouze občasné kombinací. Z kombinací bude vybraná nejpříznivější hodnota a ta následně posouzena.

6.5.1 Vztahy pro charakteristickou kombinaci

Charakteristická kombinace se stanoví

$$\sum G_{k,j} + P + Q_{k,1} + \sum \psi_{0,i} \cdot Q_{k,j} \quad (6.14b)$$

6.5.2 Vztahy pro častou kombinaci

Častá kombinace se stanoví

$$\sum G_{k,j} + P + \psi_{1,1} \cdot Q_{k,1} + \sum \psi_{2,i} \cdot Q_{k,j} \quad (6.15b)$$



6.5.3 Vztahy pro kvazistálou kombinaci

Kvazistálá kombinace se stanoví

$$\sum G_{k,j} "+" P "+" \sum \psi_{2,i} \cdot Q_{k,j} \quad (6.16b)$$



7 POSOUZENÍ NK – MEZNÍ STAV POUŽITELNOSTI

Pro posouzení MSP se posuzují následující stavy použitelnosti:

- Omezení napětí
- Omezení trhlin
- Omezení průhybů

S ohledem na [19] a [20] je nutno uvažovat omezení napětí v materiálech:

betonu v tlaku σ_{cc}

- charakteristická kombinace $\sigma_{cc} = k_1 \cdot f_{ck(t)} = 0,6 f_{ck(t)}$
- kvazistálá kombinace $\sigma_{cc} = k_2 \cdot f_{ck(t)} = 0,45 f_{ck(t)}$

betonářská výztuž v tahu

- charakteristická kombinace $\sigma_s = k_3 \cdot f_{yk} = 0,8 f_{yk}$

předpínací výztuž

- charakteristická kombinace $\sigma_p = k_5 \cdot f_{pk} = 0,75 f_{pk}$

V případě posouzení betonu je navíc nutno zohlednit vliv raného stáří betonu do 28 dnů. S ohledem na tyto požadavky je možné stanovit kritické časy a průřezy, které je nutno posoudit na omezení napětí.

Pro posouzení nosné konstrukce byly vybrány následující časy posouzení:

- V čase předepnutí konstrukce
 - Ověření lineárního dotvarování - předpoklad působení maximální předpínací síly současně s nízkou tlakovou pevností betonu
 - Ověření tahového napětí na hodnotu $f_{ctk0,05(t=7)}$
- V čase uvedení do provozu
 - Ověření dekomprese pro kvazistálou kombinaci
 - Ověření omezení napětí pro kvazistálou a charakteristickou kombinaci
- Na konci životnosti
 - Ověření dekomprese pro kvazistálou kombinaci
 - Ověření omezení napětí pro kvazistálou a charakteristickou kombinaci

Posouzení je provedeno pomocí grafických výstupů z programů MIDAS Civil.



7.1 Vývoj pevnosti betonu

Uvedené hodnoty pevností betonu pro posouzení v čase 7 dní. Vzorečky použité pro výpočet časového vývoje vlastností materiálu jsou uvedeny v PŘÍLOHA C.

Vývoj pevnosti betonu v čase

Základní informace o materiálu				
Beton:	C35/45			
druh cementu:	CEM 42.5 R, CEM 52.5 N, CEM 52.5 R (třída R)			
Pevnost v tlaku ve stáří 28 dní				
Válcová pevnost:	f_{ck}	=	35.00	Mpa
Krychelná pevnost:	$f_{ck,cube}$	=	45.00	MPa
Průměrná válcová pevnost:	f_{cm}	=	43.00	MPa
Pevnost v tahu ve stáří 28 dní				
Průměrná tahová pevnost:	f_{ctm}	=	3.20	MPa
95% kvantil tahové pevnosti:	$f_{ctk,0,95}$	=	4.20	MPa
5% kvantil tahové pevnosti:	$f_{ctk,0,05}$	=	2.20	Mpa
Modul pružnosti ve stáří 28 dní				
Modul pružnosti:	E_{cm}	=	34.00	Gpa

Vývoj pevnosti v čase				
Posuzovaný čas:	t	=	7.00	dny
Součinitel stáří betonu:	$\beta_{cc}(t)$	=	0.82	-
koeficient druhu cementu:	s	=	0.2	-
Průměrná válcová pevnost:	$f_{cm}(t)$	=	35.21	MPa
Válcová pevnost:	$f_{ck}(t)$	=	27.21	MPa
5% kvantil tahové pevnosti:	$f_{ctk,0,05}(t)$	=	1.83	MPa
Modul pružnosti:	$E_{cm}(t)$	=	32.02	MPa

Tabulka 7.1 – Vývoj pevnosti v čase

Omezující napětí v betonu pro MSP

v čase předpětí konstrukce t=7dní				
Válcová pevnost:	$f_{ck}(t)$	=	27.21	MPa
5% kvantil tahové pevnosti:	$f_{ctk,0,05}(t)$	=	1.83	MPa
Kvazistálá kombinace				
Kvazistálá kombinace	σ_{cc}	=	-12.24	MPa
Charakteristická kombinace				
Charakteristická kombinace	σ_{cc}	=	-16.32	MPa
v čase UP a KZ				
Válcová pevnost:	f_{ck}	=	35.00	MPa
5% kvantil tahové pevnosti:	$f_{ctk,0,05}$	=	2.20	MPa
Kvazistálá kombinace				
Kvazistálá kombinace	σ_{cc}	=	-15.75	MPa
Charakteristická kombinace				
Charakteristická kombinace	σ_{cc}	=	-21.00	MPa

Tabulka 7.2 – Hodnoty pro posouzení omezení napětí v betonu

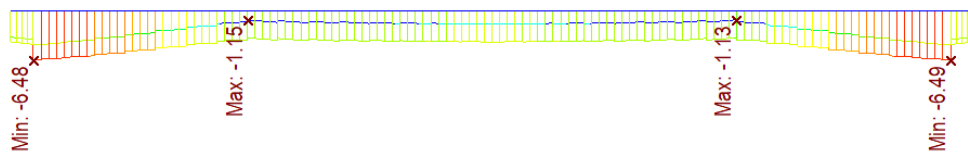


7.2 Omezení napětí

7.2.1 Posouzení MSP v čase předpětí konstrukce

Posouzení konstrukce v čase předpětí nosné konstrukce $t = 7$ dní. Pro posouzení byla vybrána vždy ta z nejneprůzivnějších hodnot na levém nebo pravém nosníku, které jsou uvedeny v souhrnné tabulce. Zobrazení výsledků je na pravém nosníku.

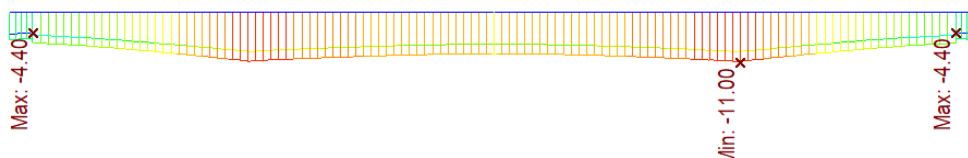
- Kvazistálá kombinace – horní vlákna [MPa]



Obrázek 7.1 – Napětí v horních vláknech pro kvazistálou kombinaci (předpětí)

$$\sigma_{cc} = -6,49 \text{ MPa} \leq -12,24 \text{ MPa} \quad \text{OK} \quad \sigma_{ct} = \text{MPa} -1,13 \leq 0,00 \text{ MPa} \quad \text{OK}$$

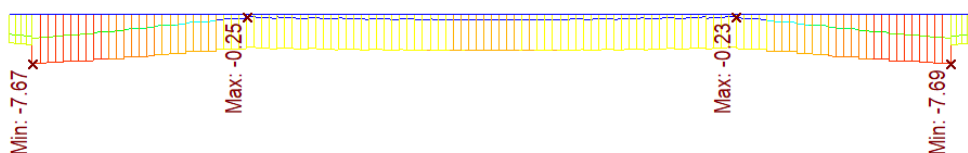
- Kvazistálá kombinace – dolní vlákna [MPa]



Obrázek 7.2 – Napětí v dolních vláknech pro kvazistálou kombinaci (předpětí)

$$\sigma_{cc} = -11,00 \text{ MPa} \leq -12,24 \text{ MPa} \quad \text{OK} \quad \sigma_{ct} = \text{MPa} -4,40 \leq 0,00 \text{ MPa} \quad \text{OK}$$

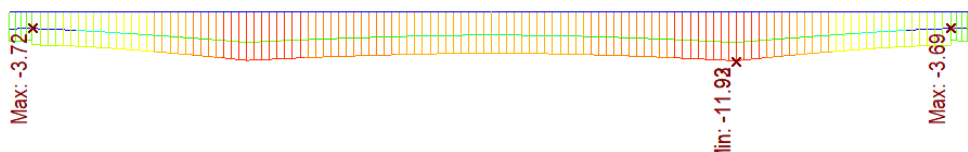
- Charakteristická kombinace – horní vlákna [MPa]



Obrázek 7.3 – Napětí v horních vláknech pro charakteristickou kombinaci (předpětí)

$$\sigma_{cc} = -7,69 \text{ MPa} \leq -16,32 \text{ MPa} \quad \text{OK}$$

- Charakteristická kombinace – dolní vlákna [MPa]



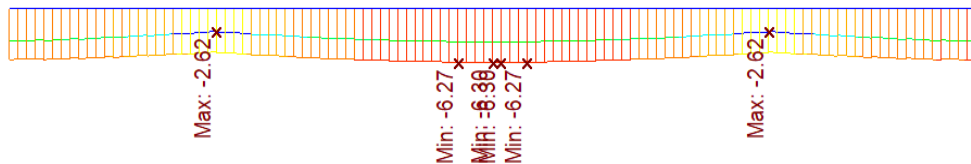
Obrázek 7.4 – Napětí v dolních vláknech pro charakteristickou kombinaci (předpětí)

$$\sigma_{cc} = -11,98 \text{ MPa} \leq -16,32 \text{ MPa} \quad \text{OK}$$



7.2.2 Posouzení MSP v čase uvedení do provozu

- Kvazistálá kombinace – horní vlákna [MPa]



Obrázek 7.5 – Napětí v horních vláknech pro kvazistálou kombinaci (UP)

$\sigma_{cc} = -6,30 \text{ MPa} \leq -15,75 \text{ MPa}$ OK $\sigma_{ct} = \text{MPa } -2,62 \leq 0,00 \text{ MPa}$ OK

- Kvazistálá kombinace – dolní vlákna [MPa]



Obrázek 7.6 – Napětí v dolních vláknech pro kvazistálou kombinaci (UP)

$\sigma_{cc} = -8,83 \text{ MPa} \leq -15,75 \text{ MPa}$ OK $\sigma_{ct} = \text{MPa } -3,82 \leq 0,00 \text{ MPa}$ OK

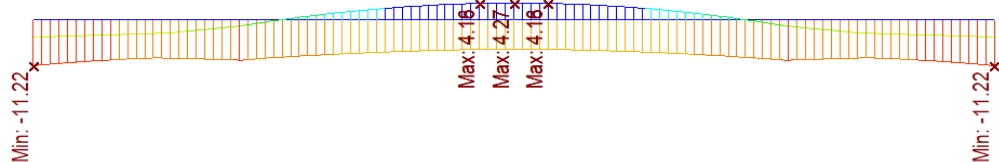
- Charakteristická kombinace – horní vlákna [MPa]



Obrázek 7.7 – Napětí v horních vláknech pro charakteristickou kombinaci (UP)

$\sigma_{cc} = -11,38 \text{ MPa} \leq -21,00 \text{ MPa}$ OK

- Charakteristická kombinace – dolní vlákna [MPa]



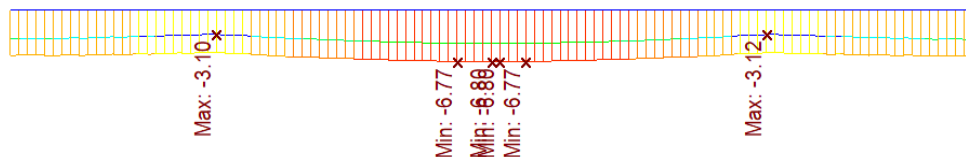
Obrázek 7.8 – Napětí v dolních vláknech pro charakteristickou kombinaci (UP)

$\sigma_{cc} = -11,22 \text{ MPa} \leq -21,00 \text{ MPa}$ OK



7.2.3 Posouzení MSP v čase konce životnosti

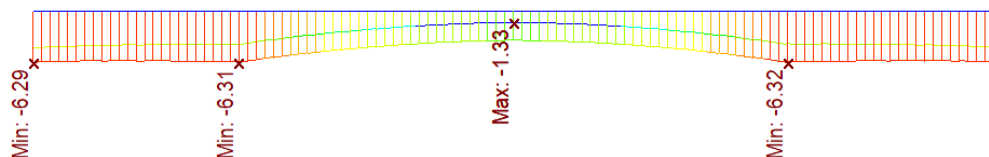
- Kvazistálá kombinace – horní vlákna [MPa]



Obrázek 7.9 – Napětí v horních vláknech pro kvazistálou kombinaci (KZ)

$\sigma_{cc} = -6,80 \text{ MPa} \leq -15,75 \text{ MPa}$ OK $\sigma_{ct} = \text{MPa} -3,12 \leq 0,00 \text{ MPa}$ OK

- Kvazistálá kombinace – dolní vlákna [MPa]



Obrázek 7.10 – Napětí v dolních vláknech pro kvazistálou kombinaci (KZ)

$\sigma_{cc} = -6,32 \text{ MPa} \leq -15,75 \text{ MPa}$ OK $\sigma_{ct} = \text{MPa} -1,33 \leq 0,00 \text{ MPa}$ OK

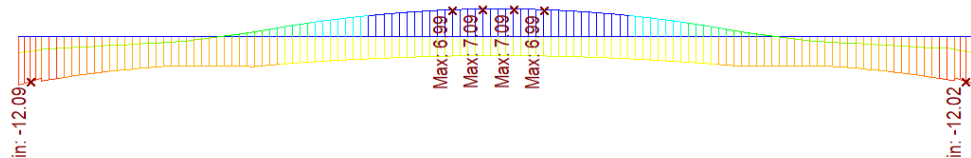
- Charakteristická kombinace – horní vlákna [MPa]



Obrázek 7.11 – Napětí v horních vláknech pro charakteristickou kombinaci (KZ)

$\sigma_{cc} = -12,08 \text{ MPa} \leq -21,00 \text{ MPa}$ OK

- Charakteristická kombinace – dolní vlákna [MPa]



Obrázek 7.12 – Napětí v dolních vláknech pro charakteristickou kombinaci (KZ)

$\sigma_{cc} = -12,09 \text{ MPa} \leq -21,00 \text{ MPa}$ OK



7.2.4 Závěr

Diplomová práce – Dálniční integrovaný most

Konstrukce vyhoví na posouzení MSP.

MSP		Předpětí NK		UP		KZ	
		MIN	MAX	MIN	MAX	MIN	MAX
Kvazistálá kombinace	H	-6.49	-1.13	-6.30	-2.62	-6.80	-2.58
		OK	OK	OK	OK	OK	OK
	D	-11.00	-4.40	-8.83	-3.82	-6.55	-1.33
		OK	OK	OK	OK	OK	OK
Charakteristická kombinace	H	-7.69	-0.23	-11.22	4.27	-12.08	1.24
		OK	OK	OK	OK	OK	OK
	D	-11.98	-3.69	-11.38	-1.60	-12.09	7.09
		OK	OK	OK	OK	OK	OK

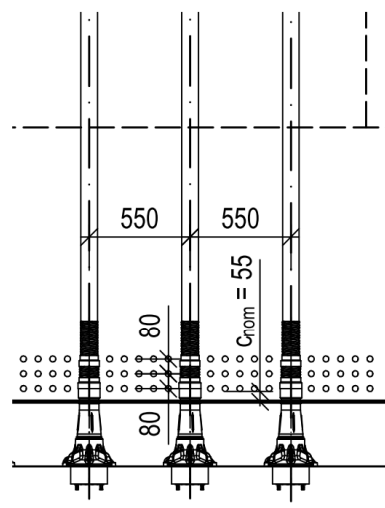
Tabulka 7.3 – Souhrnná tabulka výsledků pro posouzení MSP

Konstrukce vyhoví na posouzení MSP.

7.3 Posouzení vyztužení rámového rohu

Aby v další fázi návrhu nosné konstrukce nedošlo k problému s posouzením vyztužení rámového rohu, které by mohlo ovlivnit konstrukční uspořádání nebo předpětí konstrukce, bude provedeno posouzení únosnosti rámového rohu. Návrhový moment bude na šířku trámu redukován, aby více odpovídal skutečnosti vycházející z veknutí trámu nosné konstrukce.

V prvním kroku budou uvažovány maximálně 3 řady prutů o maximálním průměru 32 mm, vyztužení se následně bude optimalizovat.



Obrázek 7.13 – Schéma umístění výztuže vzhledem k předpínací výztuži, půdorys



Nosník		O1	
L	=	4498,3	kNm/m
P	=	4482,35	m
Nosník		O2	
L	=	4498,3	kNm/m
P	=	4462,8	m

Tabulka 7.4 – Návrhové momenty

Beton	C35/45			Výztuž	B500B		
b	=	1	m	\varnothing_{pr}	=	32	mm
h	=	1.5	m	\varnothing_{tr}	=	10	mm
ε_c	=	0.004	-	E_s	=	200	GPa
x_1	=	0.055	m	f_{yk}	=	500	MPa
c_{nom}	=	55	mm	γ_M	=	1.15	-
E_c	=	34	GPa	f_{yd}	=	434.783	MPa
f_{ck}	=	35	MPa	ε_s	=	0.002	-
γ_M	=	1.5	-	x	=	0.206	m
f_{cd}	=	23.333	MPa	Fs	=	Fc	
d	=	1.423	m	3.8464	=	3.8464	0.000
D_{max}	=	22	mm				

		\varnothing	pruty	A	ε_s	F	Mrd
		mm	ks/m	m ²	-	MN	kNm/m
vrstva 1	0	32	5.5	0.004	0.021	1.923	2339.464
vrstva 2	1	32	5.5	0.004	0.020	1.923	2233.688
beton	-	-	-	0.206		3.846	475.548
							5048.699

$$\frac{x}{d} = \frac{0.206057}{1.4225} = 0.145 < 0.450$$

OK

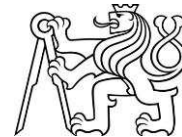
Tabulka 7.5 – Stanovení momentu únosnosti rámového rohu

Po optimalizaci bude k vyztužení rámového rohu použita výztuž \varnothing 32 mm v osové vzdálenosti 160 mm, rozmištěná ve dvou řadách. Toto rozmištění odpovídá 3 prutům mezi kably předpínací výztuže.

7.4 Vodorovný posun Δh

MSP		UP		KZ	
		MIN	MAX	MIN	MAX
Častá kombinace	O1	2.41	8.82	7.23	13.63
		8.82		13.63	
	O2	OK		OK	
		-2.70	-9.37	-7.82	-14.47
Charakteristická kombinace	O1	9.37		14.47	
		OK		OK	
	O2	-2.15	13.27	2.76	18.09
		15.41		18.09	
Tabulka 7.6 – Vodorovné posuny konstrukce		OK		OK	
Charakteristická kombinace	O2	1.77	-13.96	-3.44	-19.08
		15.73		19.08	
OK		OK		OK	

Konstrukce ani v jednom stavu nepřesáhne maximální přípustný posun konce mostu Δh_{adm} , který je podle obrázku 12 dle [21] pro VT1 roven 20 mm.



8 POSOUZENÍ NK – MEZNÍ STAV ÚNOSNOSTI

Návrh na posouzení konstrukce bude pro nejméně příznivou kombinaci. Kombinace budou zadány v programu MIDAS Civil a následně importovány do programu IDEA StatiCa, kde budou posouzeny.

Posouzení nosné konstrukce bude v těchto místech:

- V místě napojení NK na opěru O1 a O2
- V místě maximálního kladného momentu

Posouzení nosné konstrukce bude v těchto časech:

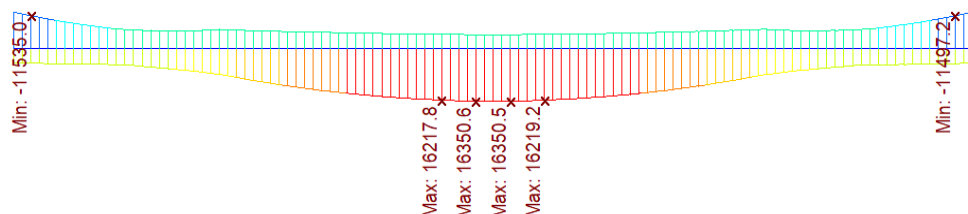
- V čase uvedení do provozu UP
- V čase na konci životnosti KZ

Únosnost průřezu vychází z mezních přetvoření. Posouzené průřezy musí vyhovět na únosnost normálových a posouvajících sil, ohybových a kroutících momentů a jejich vzájemné interakce. Pro průřez ve veknutí je rozhodujícím parametrem smyková únosnost průřezu, pro průřez v poli je to primárně únosnost od kroutícího momentu a normálové síly s ohybovým momentem.

8.1 Vnitřní síly

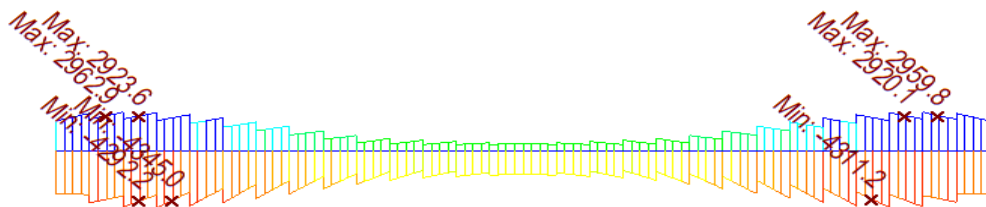
Vnitřní síly na konstrukci jsou vykresleny pro nejnepříznivější kombinaci pro pravý trám konstrukce. Posouzena bude nejnepříznivější kombinace na pravém i levém trámu konstrukce.

- UP – My [kNm]



Obrázek 8.1 – Ohybový moment My při UP

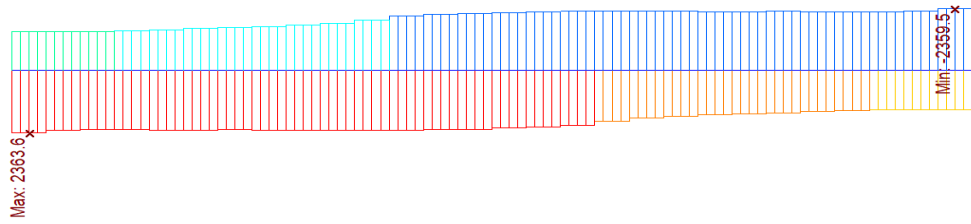
- UP – Mz [kNm]



Obrázek 8.2 – Ohybový moment Mz při UP

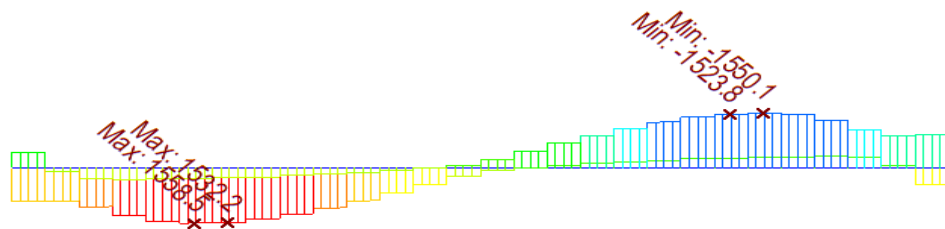


- UP – M_x [kNm]



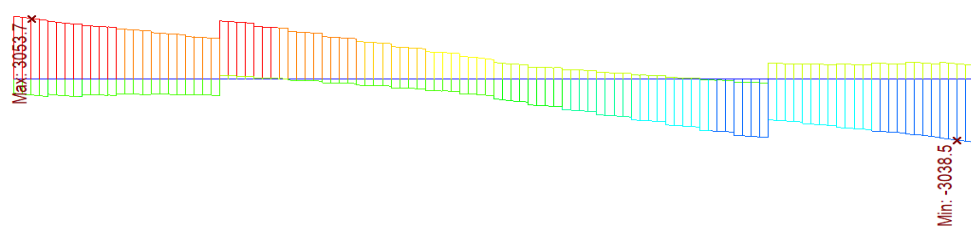
Obrázek 8.3 – Kroutící moment M_x při UP

- UP – F_y [kN]



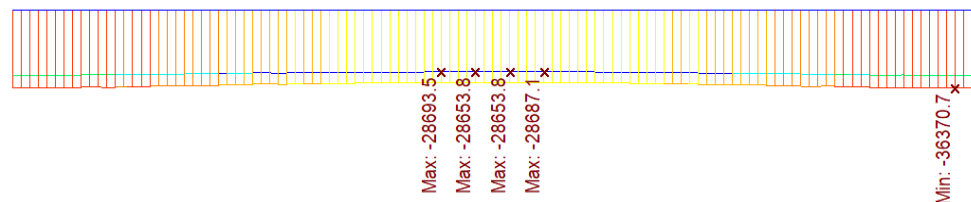
Obrázek 8.4 – Posouvající síla F_y při UP

- UP – F_z [kN]



Obrázek 8.5 – Posouvající síla F_z při UP

- UP – N [kN]



Obrázek 8.6 – Normálová síla N při UP

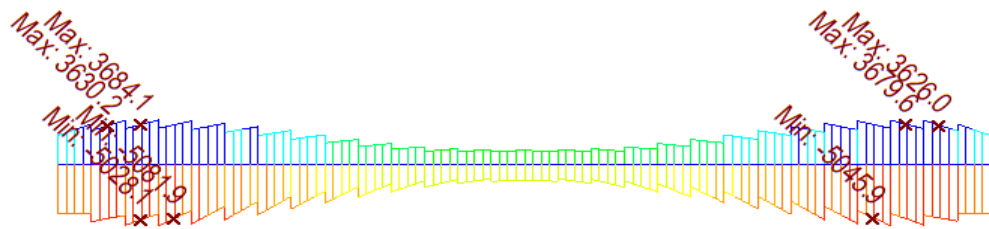
- KZ – M_y [kNm]



Obrázek 8.7 – Ohybový moment M_y při KZ



- KZ – Mz [kNm]



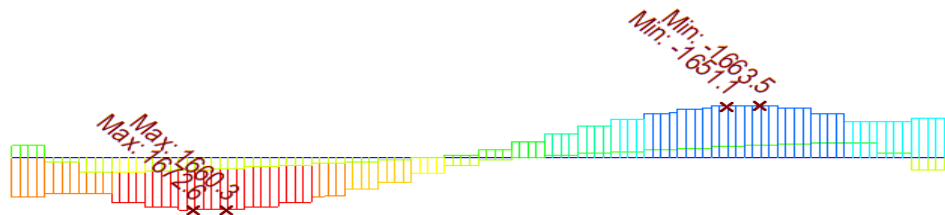
Obrázek 8.8 – Ohybový moment Mz při KZ

- KZ – Mx [kNm]



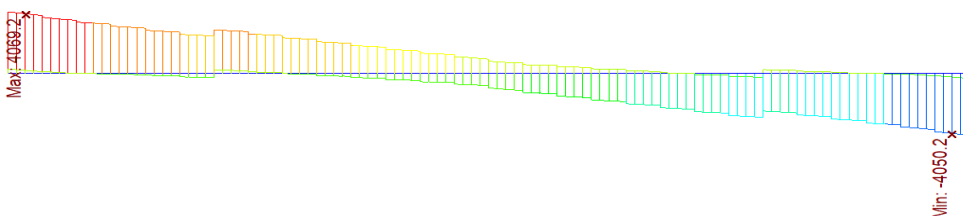
Obrázek 8.9 – Kroutící moment Mx při KZ

- KZ – Fy [kN]



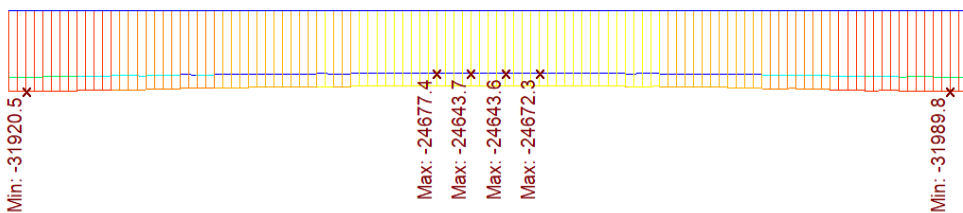
Obrázek 8.10 – Posouvající síla Fy při KZ

- KZ – Fz [kN]



Obrázek 8.11 – Posouvající síla Fz při KZ

- KZ – N [kN]



Obrázek 8.12 – Normálová síla N při KZ



8.2 Vyztužení

Vyztužení průřezu při posudku MSU je následující:

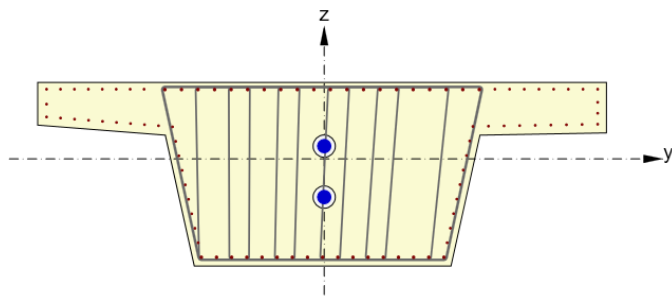
V místě vetaknutí do opěry

Umístění výzvuže	\varnothing	osová vzdálenost
	mm	mm
Horní podélná výzvuž na šířku trámu	25	150
Dolní podélná výzvuž na šířku trámu	25	150
Ostatní podélná výzvuž	18	150
Výzvuž na kroucení	25	150
Smyková výzvuž (4 stříhy)	18	100

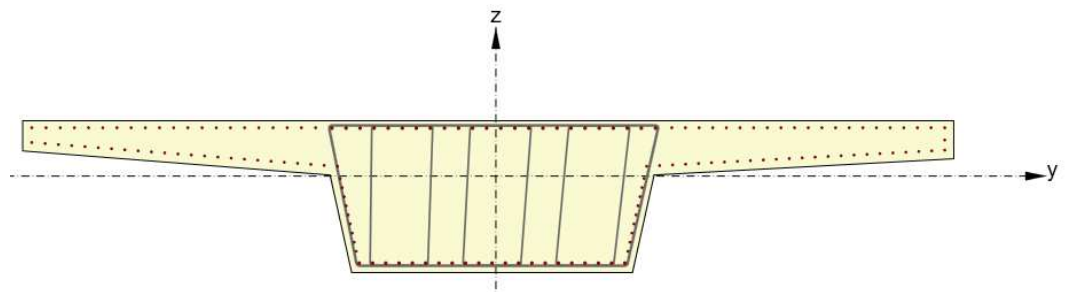
V místě vetaknutí do opěry

Umístění výzvuže	\varnothing	osová vzdálenost
	mm	mm
Horní podélná výzvuž na šířku trámu	25	150
Dolní podélná výzvuž na šířku trámu	25	150
Ostatní podélná výzvuž	18	150
Výzvuž na kroucení	25	200
Smyková výzvuž (2 stříhy)	18	200

Tabulka 8.1 – Typové vyztužení



Obrázek 8.13 – Schéma vyztužení trámu v místě vetaknutí do opěry z programu IDEA StatiCa



Obrázek 8.14 – Schéma vyztužení trámu ve středu nosníku z programu IDEA StatiCa



8.3 Posudky

Uvedené posudky jsou souhrnem nejnepříznivější kombinace pro daný typ posudku.

8.3.1 Uvedení do provozu UP

O1 - UP

Rozhodující typ posudku	N_{Ed}	M_{Ed,y}	M_{Ed,z}	V_{Ed}	T_{Ed}	Hodnota	Posudek
	kN	kNm	kNm	kN	kNm	%	
Interakce	-35929.4	-11730.6	1230.0	3888.8	3044.9	71.3	OK
Typ posudku	N_{Ed}	M_{Ed,y}	M_{Ed,z}	V_{Ed}	T_{Ed}	Hodnota	Posudek
	kN	kNm	kNm	kN	kNm	%	
Únosnost N-M-M	-35929.4	-11730.6	1230.0	-	-	39.3	OK
Smyk	-35929.4	-	-	3888.8	3044.9	9.1	OK
Kroucení	-	-	-	-	3044.9	41.5	OK
Interakce	-35929.4	-11730.6	1230.0	3888.8	3044.9	71.3	OK

Mezní hodnota využití průzezu: 100.0 %

Tabulka 8.2 – Posouzení MSU v čase UP pro O1

STŘED - UP

Rozhodující typ posudku	N_{Ed}	M_{Ed,y}	M_{Ed,z}	V_{Ed}	T_{Ed}	Hodnota	Posudek
	kN	kNm	kNm	kN	kNm	%	
Interakce	-30828.5	16882.9	339.3	230.7	232.7	87	OK
Typ posudku	N_{Ed}	M_{Ed,y}	M_{Ed,z}	V_{Ed}	T_{Ed}	Hodnota	Posudek
	kN	kNm	kNm	kN	kNm	%	
Únosnost N-M-M	-30828.5	16882.9	339.3	-	-	63.9	OK
Smyk	-30828.5	-	-	230.7	232.7	3.4	OK
Kroucení	-	-	-	-	232.7	5	OK
Interakce	-30828.5	16882.9	339.3	230.7	232.7	87	OK

Mezní hodnota využití průzezu: 100.0 %

Tabulka 8.3 – Posouzení MSU v čase UP pro STŘED

O2 - UP

Rozhodující typ posudku	N_{Ed}	M_{Ed,y}	M_{Ed,z}	V_{Ed}	T_{Ed}	Hodnota	Posudek
	kN	kNm	kNm	kN	kNm	%	
Interakce	-34992.1	-12209.5	1661.5	4146.9	-2652.9	98.7	OK
Typ posudku	N_{Ed}	M_{Ed,y}	M_{Ed,z}	V_{Ed}	T_{Ed}	Hodnota	Posudek
	kN	kNm	kNm	kN	kNm	%	
Únosnost N-M-M	-34992.1	-12209.5	1661.5	-	-	39.5	OK
Smyk	-34992.1	-	-	4146.9	-2652.9	83.7	OK
Kroucení	-	-	-	-	-2652.9	21.7	OK
Interakce	-34992.1	-12209.5	1661.5	4146.9	-2652.9	98.7	OK

Mezní hodnota využití průzezu: 100.0 %

Tabulka 8.4 – Posouzení MSU v čase UP pro O2



8.3.2 Konec životnosti KZ

O1 - KZ

Rozhodující typ posudku	N _{Ed} kN	M _{Ed,y} kNm	M _{Ed,z} kNm	V _{Ed} kN	T _{Ed} kNm	Hodnota %	Posudek
Interakce	-31915.0	-10279.2	1923.4	3897.7	2855.7	68.7	OK
Typ posudku	N _{Ed} kN	M _{Ed,y} kNm	M _{Ed,z} kNm	V _{Ed} kN	T _{Ed} kNm	Hodnota %	Posudek
Únosnost N-M-M	-31915.0	-10279.2	1923.4	-	-	38.2	OK
Smyk	-31915.0	-	-	3897.7	2855.7	10.4	OK
Kroucení	-	-	-	-	2855.7	38.9	OK
Interakce	-31915.0	-10279.2	1923.4	3897.7	2855.7	68.7	OK

Mezní hodnota využití průřezu: 100.0 %

Tabulka 8.5 – Posouzení MSU v čase KZ pro O1

STŘED - KZ

Rozhodující typ posudku	N _{Ed} kN	M _{Ed,y} kNm	M _{Ed,z} kNm	V _{Ed} kN	T _{Ed} kNm	Hodnota %	Posudek
Interakce	-26901.0	19662.4	-210.7	-	-	97.5	OK
Typ posudku	N _{Ed} kN	M _{Ed,y} kNm	M _{Ed,z} kNm	V _{Ed} kN	T _{Ed} kNm	Hodnota %	Posudek
Únosnost N-M-M	-26901.0	19662.4	-210.7	-	-	97.5	OK
Smyk	-26901.0	-	-	253.8	227.0	4.3	OK
Kroucení	-	-	-	-	227.0	4.9	OK
Interakce	-26901.0	19662.4	-210.7	253.8	227.0	95.1	OK

Mezní hodnota využití průřezu: 100.0 %

Tabulka 8.6 – Posouzení MSU v čase KZ pro STŘED

O2 - KZ

Rozhodující typ posudku	N _{Ed} kN	M _{Ed,y} kNm	M _{Ed,z} kNm	V _{Ed} kN	T _{Ed} kNm	Hodnota %	Posudek
Interakce	-32125.4	-11780.2	1549.8	4236.6	-2543.3	96.3	OK
Typ posudku	N _{Ed} kN	M _{Ed,y} kNm	M _{Ed,z} kNm	V _{Ed} kN	T _{Ed} kNm	Hodnota %	Posudek
Únosnost N-M-M	-32125.4	-11780.2	1549.8	-	-	40.9	OK
Smyk	-32125.4	-	-	4236.6	-2543.3	67.0	OK
Kroucení	-	-	-	-	-2543.3	34.7	OK
Interakce	-32125.4	-11780.2	1549.8	4236.6	-2543.3	96.3	OK

Mezní hodnota využití průřezu: 100.0 %

Tabulka 8.7 – Posouzení MSU v čase KZ pro O2

8.4 Závěr

Konstrukce vyhoví na posouzení MSU.

Vzhledem k vysokému vlivu smyku v místě rámového rohu by mohlo být v další fázi upraveno vedení předpínací výztuže v místě kotvení, případně rozšíření trámu konstrukce.



9 ZALOŽENÍ

Opěry jsou založeny na velkopřůměrových pilotách Ø1,2 m. Geologie pro založení O1 a O2 je popsána viz PŘÍLOHA A. Pro zadání tuhosti bylo využito výstupu z GEO5 – Pilota viz kap 4.5 a PŘÍLOHA B.

Pod každou opěrou je umístěno 2x5 pilot o délce 12,0 m. Skupinový účinek je zohledněn redukcí vodorovného tuhosti součinitelem α viz kap 4.5.

Pro posouzení bylo použito importu pilot do programu IDEA StatiCa.

9.1 Konstrukční požadavky

Využití vrtaných pilot musí splnit minimální požadavky uvedené v kap. 16.3.6.4 dle [24].

9.1.1 Minimální krytí výzvuž

Minimální požadovaná hodnota krytí výzvuže je uvedená v kap. 16.3.6.4(6) dle [24] a to následující hodnotou:

60 mm pro pilotu s $D > 0,6$ m
 50 mm pro pilotu s $D \leq 0,6$ m

V našem případě je $D > 0,6$ m, a minimální krytí tedy bude 60 mm, což odpovídá požadavku na minimální krytí z hlediska trvanlivosti dle [19], který je uvedený v kap. 4.4.

9.1.2 Minimální využtužení

Minimální požadovaná hodnota krytí výzvou je uvedená viz kap. 16.3.6.4(3) dle [24]. Minimální požadavky na podélnou výzvou určuje tabulka 2 a na příčnou výzvou tabulka 3 dle [24].

Minimální využitění železobetonových pilot	
Jmenovitá průrezová plocha dříku piloty A_c	Plocha podélné výztuže A_s
$A_c \leq 0.5 \text{ m}^2$	$A_s \geq 0.5\% A_c$
$0.5 \text{ m}^2 \leq A_c \leq 1.0 \text{ m}^2$	$A_s \geq 0.0025 \text{ m}^2$
$A_c \geq 1.0 \text{ m}^2$	$A_s \geq 0.25\% A_c$

Tabulka 9.1 – Minimální podélná výztuž dle Tabulka 2 [24]

Požadavky na minimální příčnou výztuž železobetonových vrtaných pilot	
Pravoúhlé a kruhové třmínky a spirála	$\geq 6 \text{ mm} \geq \frac{1}{4}$ největšího průměru podélné výztuže
Výztužné sítě jako příčný výztuž	$\geq 5 \text{ mm}$

Tabulka 9.2 – Minimální příčná výzvuž dle Tabulka 3 [24]



9.1.3 Ověření minimálního vyztužení piloty

Ověření splnění minimálního vyztužení piloty bude pro následující vyztužení piloty. Průměr podélné výzvaze je 20 mm s minimální osovou vzdáleností 300 mm, což bude 11 prutů v pilotě. Průměr prutu spirály bude 10 mm.

Ověření minimálního vyztužení piloty

Pilota		Výzvaz	
D	=	1.2	m
\emptyset_{pod}	=	20	mm
ks \emptyset_{pod}	=	11	ks
\emptyset_{pri}	=	10	mm
Podélná výzvaz			
Ac	=	1.13	m^2
min As	=	0.0028	m^2
As	=	0.0035	m^2
		$\Rightarrow \text{As} \geq 0.25\% \text{ Ac}$ SPLNĚNO	
Příčná výzvaz			
min \emptyset_{pri}	=	6	mm
\emptyset_{pri}	=	10	mm
		$\emptyset_{\text{pri}} \geq \text{min } \emptyset_{\text{pri}}$ SPLNĚNO	

Tabulka 9.3- Ověření minimálního vyztužení piloty

Výzvaz vyhoví z hlediska minimální vyztužení.

9.1.4 Vyztužení piloty

Ihnad po dovrstnání a vyčištění zapaženého vrtu bude osazen připravený armokoš, jenž bude svařen v celé své délce a bude se skládat:

- z podélných prutů : prof. \emptyset 20 – 11 ks
- montážních kruhů, prof. \emptyset 20
- spirály z prof. \emptyset 10 mm po 300 mm, v hlavě a v patě piloty zhuštěno na 150 mm
- patního kříže: 2 \emptyset 20
- distančních koleček (nevodivých) vymezujících krytí armokoše,

Svary v armokoších pilot musí být z bezpečnostních důvodů navrženy jako nosné. Pro manipulaci s armokošem slouží montážní kruh u hlavy piloty, který je zdvojený a svařený oboustranným svarem se všemi podélnými nosnými pruty. Zavěšení armokoše musí být ve 4 bodech.

9.2 Betonáž piloty

Ihnad po osazení armokoše se zahájí betonáž piloty. Předpokládá se, že vrt bude zvodnělý, proto se použije sypáková roura příslušné délky (dosahující až na dno vrtu) s násypkou a plynulou betonáž bude doprovázet čerpání vody nad stoupající hladinou betonu. Beton C25/30 – XC2, AX2 bude ukládán plynule a pokud možno bez přerušení v celé pilotě. Hlavy pilot není třeba přebetonovat.

Již v průběhu betonáže je třeba „pohnout“ s pažnicemi a postupně odpažovat. Pokud nebude tento postup přijat, je nebezpečí, že po vybetonování celé piloty nebude již možné výpažnici vytáhnout.

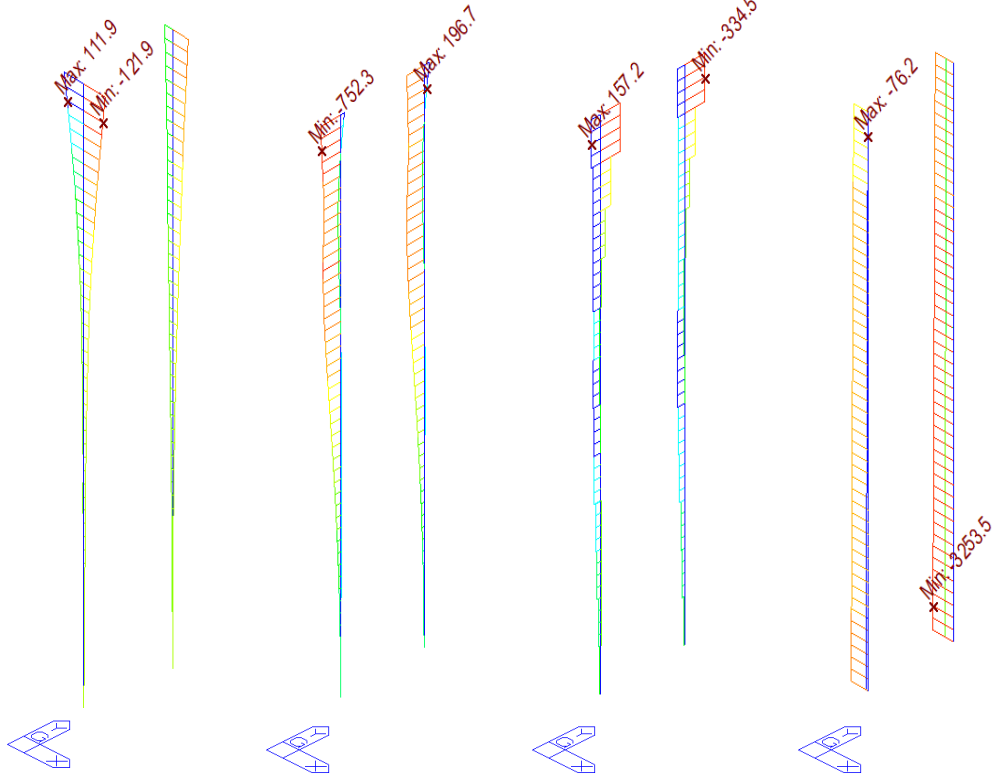
Před zahájením betonáže je třeba kontrolovat zpracovatelnost betonu S4.



9.3 Vnitřní síly

9.3.1 Opěra O1

My [kNm] Mz [kNm] Fy [kN] N [kN]



Obrázek 9.1 – Vnitřní síly O1 při MSU na P1 a P6



9.3.2 Opěra O2

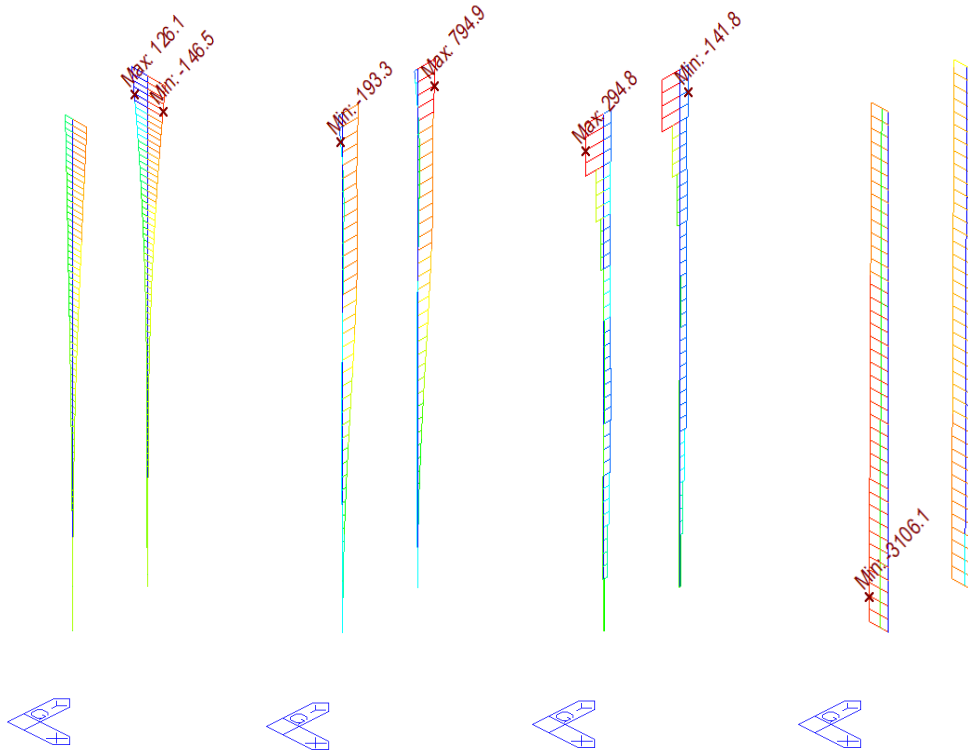
Diplomová práce – Dálniční integrovaný most

My [kNm]

Mz [kNm]

Fy [kN]

N [kN]

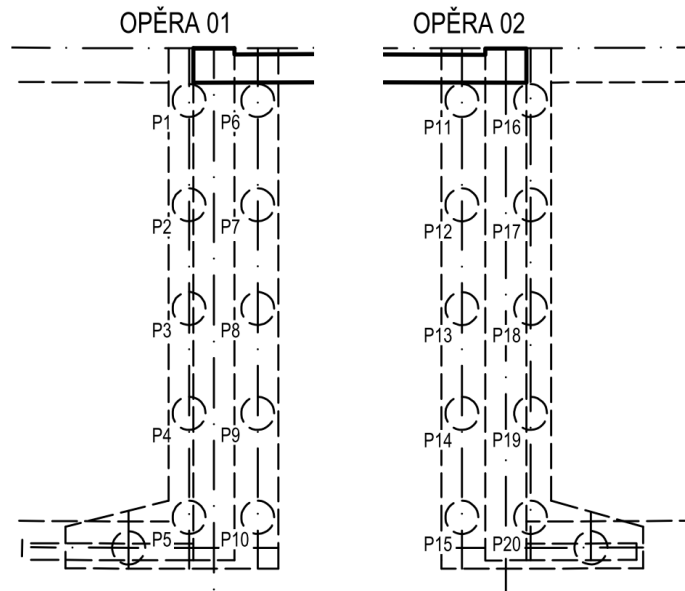


Obrázek 9.2 – Vnitřní síly O2 při MSU na P11 a P16

9.4 Posouzení výztuže piloty

Vyztužení	Název	Vyztužený průřez	Vyztužení
A-A			<p>Výztuž: 1ø20 (314mm²) (B 500B), Pozice -74, 514 mm 1ø20 (314mm²) (B 500B), Pozice 216, 473 mm 1ø20 (314mm²) (B 500B), Pozice -340, 393 mm 1ø20 (314mm²) (B 500B), Pozice 437, 281 mm 1ø20 (314mm²) (B 500B), Pozice -498, 146 mm 1ø20 (314mm²) (B 500B), Pozice 520, 0 mm 1ø20 (314mm²) (B 500B), Pozice -498, -146 mm 1ø20 (314mm²) (B 500B), Pozice 437, -281 mm 1ø20 (314mm²) (B 500B), Pozice -340, -393 mm 1ø20 (314mm²) (B 500B), Pozice 216, -473 mm 1ø20 (314mm²) (B 500B), Pozice -74, -514 mm Třmínky: ø10 (B 500B) - 300 mm, uzavřený, pro posouzení kroucení </p>
RT2			<p>Výztuž: 1ø20 (314mm²) (B 500B), Pozice -74, 514 mm 1ø20 (314mm²) (B 500B), Pozice 216, 473 mm 1ø20 (314mm²) (B 500B), Pozice -340, 393 mm 1ø20 (314mm²) (B 500B), Pozice 437, 281 mm 1ø20 (314mm²) (B 500B), Pozice -498, 146 mm 1ø20 (314mm²) (B 500B), Pozice 520, 0 mm 1ø20 (314mm²) (B 500B), Pozice -498, -146 mm 1ø20 (314mm²) (B 500B), Pozice 437, -281 mm 1ø20 (314mm²) (B 500B), Pozice -340, -393 mm 1ø20 (314mm²) (B 500B), Pozice 216, -473 mm 1ø20 (314mm²) (B 500B), Pozice -74, -514 mm Třmínky: ø10 (B 500B) - 150 mm, uzavřený, pro posouzení kroucení </p>

Obrázek 9.3 – Schéma rozmístění výztuže v pilotě z programu IDEA StatiCa



Obrázek 9.4 – Schéma označení pilot v posudku

Kombinace	N_{Ed}	M_{Ed,y}	M_{Ed,z}	V_{Ed}	Hodnota	Posudek
	kN	kNm	kNm	kN	%	
Pilota P1						
Únosnost N-M-M	-124,2	-0,1	-667,6	-0,4	78,3	OK
Smyk	-62,8	-13,5	-128,2	-3,4	97,6	OK
Kroucení	-2717,2	0,0	0,0	-0,1	0,0	OK
Interakce	-124,2	-0,1	-667,6	-0,4	93,4	OK
Omezení napětí	-468,4	-0,3	-598,7	1,3	89,4	OK
Šířka trhliny	-837,9	-1,1	-389,1	1,8	50,4	OK
Pilota P6						
Únosnost N-M-M	-2591,5	-31,0	-651,7	8,4	25,1	OK
Smyk	-2072,8	-7,8	-428,1	-1,8	77,7	OK
Kroucení	-3253,5	0,0	0,0	-0,1	0,0	OK
Interakce	-2072,8	-7,8	-428,1	-1,8	77,7	OK
Omezení napětí	-2196,2	-4,4	-588,1	-0,9	35,8	OK
Šířka trhliny	-2071,2	0,0	0,0	0,0	0,0	OK
Pilota P11						
Únosnost N-M-M	-2470,5	-56,1	699,7	2,9	26,5	OK
Smyk	-1874,0	-9,9	524,3	-2,4	64,3	OK
Kroucení	-3106,1	0,0	0,0	0,0	0,0	OK
Interakce	-1874,0	-9,9	524,3	-2,4	64,3	OK
Omezení napětí	-2009,2	-6,9	595,4	-1,5	35,0	OK
Šířka trhliny	-1967,8	0,0	0,0	0,0	0,0	OK
Pilota P16						
Únosnost N-M-M	-308,7	0,4	677,1	-0,2	69,4	OK
Smyk	-289,7	-10,9	548,8	-3,1	86,1	OK
Kroucení	-2710,8	0,0	0,0	0,0	0,0	OK
Interakce	-308,7	0,4	677,1	-0,3	93,3	OK
Omezení napětí	-632,5	1,1	611,0	1,6	85,6	OK
Šířka trhliny	-937,4	-2,4	402,3	1,8	55,9	OK

Tabulka 9.4 – Posouzení pilot opěry O1 a O2





PŘÍLOHA A
INŽENÝRSKO-GEOLOGICKÝ PRŮZKUM



B. POZNÁMKY

Základní údaje o mostu : Objekt dálničního integrovaného mostu v km 76,000.

Základové poměry : Základové poměry objektu lze charakterizovat jako složité vzhledem k mocnosti kvartérních sedimentů, jakož i hloubky zvětrání hornin předkvartérního skalního.

Zjištěné geologické poměry:

Při realizaci průzkumných sond v místě opěry 1 (J1079) byly do hloubky 6,7 m zastiženy kvartérní sedimenty charakteru jílů tuhé až pevné konzistence. V hloubce 6,7 m zastiženo předkvartérní skalní podloží. Do hloubky 8,4 m bylo zastižena zcela zvětralé skalní podloží charakteru jílu s úlomky prachovitých břidlic, pevné konzistence, extrémně nízké pevnosti. Od hloubky 8,4 až prakticky do hloubky 20,0 m se vyskytuje velmi zvětralá prachovitá břidlice (R5).

V místě OP2 (J1080) se kvartérní sedimenty charakteru jílů písčitých (F2 CG) vyskytují do hloubky 4,3 m. Od této hloubky byl zastižen předkvartérní skalní podklad tvořený zcela zvětralými prachovitými břidlicemi charakteru jílu s úlomky prachovitých břidlic, pevné konzistence, extrémně nízké pevnosti. Od hloubky 8,4 až do hloubky 15,3 m se vyskytuje velmi zvětralá prachovitá břidlice (R5). Od této hloubky do konečné hloubky vrtu (20,0 m) bylo zastiženo velmi zvětralá prachovitá břidlice, středně rozpukaná (R4) dle ČSN P 73 1005.

Zakládání: Mostní objekt je možno založit plošně či hlubině na základě statického posouzení. V případě hlubiného zakládání je možno piloty větknout do prostředí R4, které se nachází v OP2 (J1080) v hloubce 15,3 m. V místě OP1 (J1079) nebylo ani do hloubky 20,0 m zastiženo prostředí třídy R4. Při předpokládaném hlubinném zakládání je potřeba počítat s úrovní hladiny podzemní vody mělce pod terénem (vrtání pod ochranou pracovního pažení, betonáž odspodu vrtu pro pilotu pomocí sypákové trouby). Pokud by se stavební jámy pro vrtání pilot mely zahloubit do podloží, budou v inženýrskogeologickém typu GT2, GT8 těžitelné běžnými mechanismy.

Při projektování a realizaci výstavby je potřeba vzít v úvahu, že zeminy typu GT2-Qe, GT9-Pz jsou potom náchylné k rozbřídaní. Při vlastní stavbě doporučujeme přítomnost geotechnika za účelem přebírky pilot a srovnání předpokladů průzkumu/projektu se skutečností.

Vzhledem k výše uvedeným zjištěním je možné navrhovat základy podle zásad 2. geotechnické kategorie.

Agresivita na betonové konstrukce:

Dle vzorku z vrtu J1080 z hloubky 18,5 m pod úrovní terénu dle ČSN EN 206-1: slabě-AX2

dle ČSN 03 8375: III. (zvýšená)

C. HYDROGEOLOGICKÉ ÚDAJE

Vodní režim : puklinový

Sonda	J1079	J1080			
HPV - naražená [m p.t.]	-				
HPV - ustálená [m p.t.]	14.0	18.5			
Obsah agr.CO ₂ [mg/l]		37.4			
Obsah síranů [mg/l]		28.0			
Stupeň vlivu prostředí		AX2			



D. GEOTECHNICKÁ CHARAKTERISTIKA ZEMIN V PODZÁKLADÍ



E. GEOTECHNICKÁ CHARAKTERISTIKA SKALNÍCH (POLOSKALNÍCH) HORNIN V PODZÁKLADÍ



Diplomová práce – Dálniční integrovaný most

GT-IG s.r.o. 150 00 Praha 5, Dělená 957/1		GEOLOGICKÁ DOKUMENTACE VRTU			J1079																																																
Vrtmistr: Soukup Typ soupravy: UGB 1VS PV3S Datum provedení - od: 20.6.2017 - do: 20.6.2017 od: 0.00 [m] do: 6.00 [m] vrtáno DN 220 [mm] 6.00 20.00 175		Hloubka sondy [m]: 20.00 Hladina podz. vody: naražená [m]: ustálená [m]: HL = 14.00, Z = 308.83		Y= 730 684.52 X= 1 055 675.39 Z= 322.83 Souř. systémy: JTSK / Balt																																																	
		od: 0.00 [m] do: 12.00 [m] paženo DN 216 [mm]		Kraj: Středočeský Katastr. území: Kufřík Mapa 1:25000: 12-244																																																	
<p>J1079</p> <p>The diagram shows two vertical columns representing boreholes. The left column is labeled 'STRATIGRAF.' and 'ČLENĚNÍ' (Stratigraphy and Lamination). The right column is labeled 'ČSN 73 613' and 'DO NASTŘU' (EN ISO 14688). The diagram includes various layers with labels like 'Kvarcit' (Quartzite), 'Proterozikum' (Proterozoic), 'F6 CI', 'R6 F6 CI', and 'PH 14.085'. It also shows measurements in meters (0 to 20) and specific depths like 322.83, 6.70, and 8.40. A blue arrow points to a date '20.6.2017' and a value 'PH 14.085'.</p> <table border="1"> <thead> <tr> <th>do</th> <th colspan="5">GEOLOGICKÝ POPIS ZEMIN A HORNIN</th> </tr> </thead> <tbody> <tr> <td>0.20</td> <td colspan="5">2: Humózní vrstva, charakteru hiliny prachovité, hnědě barvy, tuhé až pevné konzistence, s kořínky rostlin</td> </tr> <tr> <td>0.60</td> <td colspan="5">23: Hilina s nízkou plasticitou, hnědě až černohnědě barvy, pevné konzistence</td> </tr> <tr> <td>6.70</td> <td colspan="5">14: Jil se střední plasticitou, hnědě až černohnědě barvy, tuhé až pevné konzistence, jemně písčitý, s ojedinělými úlomky podložních hornin</td> </tr> <tr> <td>8.40</td> <td colspan="5">170: Břidlice prachovité zcela zvětralá, na charakter jilu se střední plasticitou, tuhé až pevné konzistence, extrémně nízké pevnosti, červenohnědě barvy s bílými smouhami</td> </tr> <tr> <td>16.50</td> <td colspan="5">171: Břidlice prachovité velmi zvětralá, místy zcela zvětralá, velmi nízké pevnosti, alterace se projevuje barevnými změnami, prachovitá břidlice je červenohnědá, běložlutošedá, okrová, střídání měkkých a tvrdších poloh</td> </tr> <tr> <td>18.50</td> <td colspan="5">171: Břidlice prachovité velmi zvětralá, světle šedě barvy s okrovými smouhami, velmi nízké pevnosti, s velmi malou vzdáleností diskontinuit</td> </tr> <tr> <td>20.00</td> <td colspan="5">171: Břidlice prachovité velmi zvětralá, světle šedě barvy, velmi nízké pevnosti, s okrovými polohami, úlomky již nelze rozlamovat v ruce</td> </tr> </tbody> </table> <p>Legenda: Vzorky s číslem laboratorního rozboru. Podzemní voda s číslem zvodně. █ neporušený █ porušený █ jádro █ technolog. █ skalní █ jiný ● voda ▼ naražená hladina ▲ ustálená hladina</p> <p>Poznámka: > > ></p>						do	GEOLOGICKÝ POPIS ZEMIN A HORNIN					0.20	2: Humózní vrstva, charakteru hiliny prachovité, hnědě barvy, tuhé až pevné konzistence, s kořínky rostlin					0.60	23: Hilina s nízkou plasticitou, hnědě až černohnědě barvy, pevné konzistence					6.70	14: Jil se střední plasticitou, hnědě až černohnědě barvy, tuhé až pevné konzistence, jemně písčitý, s ojedinělými úlomky podložních hornin					8.40	170: Břidlice prachovité zcela zvětralá, na charakter jilu se střední plasticitou, tuhé až pevné konzistence, extrémně nízké pevnosti, červenohnědě barvy s bílými smouhami					16.50	171: Břidlice prachovité velmi zvětralá, místy zcela zvětralá, velmi nízké pevnosti, alterace se projevuje barevnými změnami, prachovitá břidlice je červenohnědá, běložlutošedá, okrová, střídání měkkých a tvrdších poloh					18.50	171: Břidlice prachovité velmi zvětralá, světle šedě barvy s okrovými smouhami, velmi nízké pevnosti, s velmi malou vzdáleností diskontinuit					20.00	171: Břidlice prachovité velmi zvětralá, světle šedě barvy, velmi nízké pevnosti, s okrovými polohami, úlomky již nelze rozlamovat v ruce				
do	GEOLOGICKÝ POPIS ZEMIN A HORNIN																																																				
0.20	2: Humózní vrstva, charakteru hiliny prachovité, hnědě barvy, tuhé až pevné konzistence, s kořínky rostlin																																																				
0.60	23: Hilina s nízkou plasticitou, hnědě až černohnědě barvy, pevné konzistence																																																				
6.70	14: Jil se střední plasticitou, hnědě až černohnědě barvy, tuhé až pevné konzistence, jemně písčitý, s ojedinělými úlomky podložních hornin																																																				
8.40	170: Břidlice prachovité zcela zvětralá, na charakter jilu se střední plasticitou, tuhé až pevné konzistence, extrémně nízké pevnosti, červenohnědě barvy s bílými smouhami																																																				
16.50	171: Břidlice prachovité velmi zvětralá, místy zcela zvětralá, velmi nízké pevnosti, alterace se projevuje barevnými změnami, prachovitá břidlice je červenohnědá, běložlutošedá, okrová, střídání měkkých a tvrdších poloh																																																				
18.50	171: Břidlice prachovité velmi zvětralá, světle šedě barvy s okrovými smouhami, velmi nízké pevnosti, s velmi malou vzdáleností diskontinuit																																																				
20.00	171: Břidlice prachovité velmi zvětralá, světle šedě barvy, velmi nízké pevnosti, s okrovými polohami, úlomky již nelze rozlamovat v ruce																																																				
Název akce: D0 511 Běchovice - D1, doplňující geotechnický průzkum Měřítko: 1: 200 Zak. číslo: Z12-2017 Dokumentoval: Ing.J. Činka Vyhodnotil: Ing.J. Činka Zpracoval: Ing.J. Činka Příloha č.: D																																																					



SG GEOTECHNIKA a.s. 152 00 Praha 5 - Barrandov, Geologická 4			GEOLOGICKÁ DOKUMENTACE VRTU JV40																																																																															
Vrtmistr: Polášek Typ soupravy: UGB - 1VS Datum provedení - od: 1.9.2005 - do: 1.9.2005	Hloubka sondy [m]: 12.00 Hladina podz. vody: naražená [m]: ustálená [m]: Hl = 11.80 Z = 315.60				Y= 730718.63 X= 1055717.12 Z= 327.40 Souř. systémy: JTSK / Balt																																																																													
od: [m] do: [m] vrtáno DN [mm]	od: [m] do: [m] paženo DN [mm]				Odrez: Praha - východ Katastr. území: Kuří Mapa 1:25000: 12-422																																																																													
JV40						GEOLOGICKÝ POPIS VRSTEV																																																																												
						od do																																																																												
<p>0.00 - 0.30 Hlina, tmavě hnědá, humózní</p> <p>0.30 - 4.10 Hlina, hnědá a šedohnědá, slabě písčitá, od 2.2 m až jílovitopísčitá, pevná, jemně slidnatá, s poloopracovanými úlomky a valouny převážně do 1 cm, zastoupení do 10 - 20 %</p> <p>4.10 - 6.20 Hlina jílovitá, světle hnědá, tuhá, jemně slidnatá, s poloopracovanými úlomky a valouny do 1 cm, zastoupení do 5 %</p> <p>6.20 - 7.50 Hlina, jílovitopísčitá, pevná, hnědá s úlomky a valouny do 2 cm, zastoupení do 10 %, jemně slidnatá</p> <p>7.50 - 8.20 Hlina písčitojílovitá, světle šedá, žlutě smouhaná, místy hnědá, pevná, s úlomky břidlic a valouny do 3 cm, zastoupení do 10 %, při bázi až 25 %</p> <p>8.20 - 9.50 Břidlice fosilně rozložené až zvětralé, načervenale šedá, místy žlutohnědá, ve vrtu střídání úlomků v ruce snadno lámatelelných s písčitojílovitými rozloženými polohami</p> <p>9.50 - 12.00 Břidlice jílovitopraťovité, zvětralá až navětralá, nazelenale světle šedá, místy žlutohnědá, na puklinách s manganovými povlaky, drobné úlomky místy v ruce lámatelelné, větší kladivem snadno rozpojiteľné</p>	od	do	GEOLOGICKÝ POPIS VRSTEV																																																																															
<p>Kapesní penetrace :</p> <table> <tr><td>0.5</td><td>[m] 0.5</td><td>[kPa] 250</td><td>[m] 4,1</td><td>[kPa] 210</td></tr> <tr><td>0.6</td><td>0.6</td><td>280</td><td>4,4</td><td>160</td></tr> <tr><td>1.4</td><td>1.4</td><td>260</td><td>4,5</td><td>120</td></tr> <tr><td>1.6</td><td>1.6</td><td>260</td><td>4,9</td><td>140</td></tr> <tr><td>1.9</td><td>1.9</td><td>260</td><td>5,4</td><td>120</td></tr> <tr><td>2.2</td><td>2.2</td><td>220</td><td>5,6</td><td>130</td></tr> <tr><td>2.4</td><td>2.4</td><td>230</td><td>6,1</td><td>120</td></tr> <tr><td>2.6</td><td>2.6</td><td>230</td><td>7,2</td><td>320</td></tr> <tr><td>2.8</td><td>2.8</td><td>290</td><td>7,3</td><td>210</td></tr> <tr><td>3.1</td><td>3.1</td><td>330</td><td>7,5</td><td>190</td></tr> <tr><td>3.3</td><td>3.3</td><td>280</td><td></td><td></td></tr> <tr><td>3.5</td><td>3.5</td><td>250</td><td></td><td></td></tr> <tr><td>3.7</td><td>3.7</td><td>250</td><td></td><td></td></tr> <tr><td>3.8</td><td>3.8</td><td>210</td><td></td><td></td></tr> <tr><td>3.9</td><td>3.9</td><td>210</td><td></td><td></td></tr> </table>	0.5	[m] 0.5	[kPa] 250	[m] 4,1	[kPa] 210	0.6	0.6	280	4,4	160	1.4	1.4	260	4,5	120	1.6	1.6	260	4,9	140	1.9	1.9	260	5,4	120	2.2	2.2	220	5,6	130	2.4	2.4	230	6,1	120	2.6	2.6	230	7,2	320	2.8	2.8	290	7,3	210	3.1	3.1	330	7,5	190	3.3	3.3	280			3.5	3.5	250			3.7	3.7	250			3.8	3.8	210			3.9	3.9	210			penetrace :	[m]	[kPa]	[m]	[kPa]		
0.5	[m] 0.5	[kPa] 250	[m] 4,1	[kPa] 210																																																																														
0.6	0.6	280	4,4	160																																																																														
1.4	1.4	260	4,5	120																																																																														
1.6	1.6	260	4,9	140																																																																														
1.9	1.9	260	5,4	120																																																																														
2.2	2.2	220	5,6	130																																																																														
2.4	2.4	230	6,1	120																																																																														
2.6	2.6	230	7,2	320																																																																														
2.8	2.8	290	7,3	210																																																																														
3.1	3.1	330	7,5	190																																																																														
3.3	3.3	280																																																																																
3.5	3.5	250																																																																																
3.7	3.7	250																																																																																
3.8	3.8	210																																																																																
3.9	3.9	210																																																																																
<p>Legenda: Vzorky s číslem laboratorního rozboru. Podzemní voda s číslem horizontu.</p> <p>■ neporušený ■ porušený ■ jádro ■ technolog ■ skalní □ jiný ● voda ▼ naražená voda ▲ ustálená voda</p> <p>Poznámka:</p>																																																																																		
Název akce: Stavba 511 - Běchovice - D1, km 72.900 - 76.570				Měřítko: 1: 100	Zak. číslo: 050593 - 022																																																																													
Dokumentoval: Rout, Tlamsa	Vyhodnotil: Mgr.J.Rout	Zpracoval: Mgr.J.Rout		Příloha č.: 6.1																																																																														



GT-G s.r.o. 150 00 Praha 5, Ořechovka 957/1		GEOLOGICKÁ DOKUMENTACE VRTU		J1080
Vrtmistr:	Soukup	Hloubka sondy [m]:	20.00	Y= 730 729.68
Typ soupravy:	UGB 1VS PV3S	Hladina podz. vody:		X= 1 055 690.53
Datum provedení - od:	16.8.2017	naražená [m]:		Z= 326.43
- do:	16.8.2017	ustálená [m]: Hl.= 18.50, Z = 307.93		Souř. systémy: JTSK / Balt
od: 0.00 [m]	do: 5.00 [m]	vrtáno DN 220 [mm]	od: 0.00 [m]	Kraj: Středočeský
5.00	20.00	175	do: 8.00 [m] paženo DN 216 [mm]	Katastr. území: Kuli
				Mapa 1:25000: 12-244
J1080		GEOLOGICKÝ POPIS ZEMIN A HORNIN		
STRATIGRAF.	ČLENĚNÍ	TĚŽITELNOST	DO NÁSTYPU	do
		(CSN 73 6133)	(CSN EN ISO 14688)	
0	0.00	F5 MI	I	0.50
0.50	0.50	O		2: Humózní vrstva, charakteru hlíny, hnědě barvy, tuhé až pevné konzistence, s kořinkami rostlin
1.20	1.20	F5 MI		1.20
2	2	F2 CG		24: Hlina se střední plasticitou, hnědě barvy, tuhé konzistence
4	4	4.30	I	4.30
4.30	4.30	R6/F6CI	PV	11: Jil štěrkovitý, světle okrově hnědě barvy, pevné konzistence, vrstevnatý
6	6			7.60
7.60	7.60			170: Břidlice prachovitá zcela zvětralá, na charakter jilu se střední plasticitou, tuhé až pevné konzistence, extrémně nízké pevnost, orkově hnědě barvy s rezavým smouhováním, se střípky položní horniny
8	8			15.30
10	10			171: Břidlice prachovitá velmi zvětralá, silně alterovaný, barva od šedožluté ples rezavě hnědou po šedobílou, rychlé střídání alterovaných zón, velmi nízké pevnosti, horninu lze rozlamovat v ruce, s velmi malou vzdáleností diskontinuit, na diskontinuitách rezavé a černé hydroxidy Fe+Mn
12	12			20.00
14	14			171: Břidlice prachovitá velmi zvětralá, nízké pevnosti, světle šedožluté barvy, snadno rozbitelná kladivem, velmi malá až malá vzdálenost diskontinuit
16	16	R5	II	
18	18	R4	III	
20	20.00		nezaff.	
Legenda: Vzorky s číslem laboratorního rozboru. Podzemní voda s číslem zvodné. ■ neporušený ■ porušený ■ jádro □ technolog. □ skalní □ jiný ● voda ▼ naražená hladina ▲ ustálená hladina				
Poznámka: -				
Název akce: D0 511 Běchovice - D1, doplňující geotechnický průzkum		Měřítko: 1: 200	Zak. číslo: Z12-2017	
Dokumentoval: Ing.J. Činka	Vyhodnotil: Ing.J. Činka	Zpracoval: Ing.J. Činka	Příloha č.: D	



SG GEOTECHNIKA a.s. 152 00 Praha 5 - Barrandov, Geologická 4		GEOLOGICKÁ DOKUMENTACE VRTU		JV39
Vrtmistr:	Polišek	Hloubka sondy [m]:	15.00	Y= 730701.71
Typ soupravy:	UGB - 1VS	Hladina podz. vody:		X= 1055662.16
Datum provedení - od:	5.9.2005	naražená [m]:		Z= 323.84
- do:	6.9.2005	ustálená [m]:		Souř. systémy: JTSK / Balt
od: [m]	do: [m]	vrtáno DN [mm]	paženo DN [mm]	Od: [m] do: [m] paženo DN [mm]
JV39				
STRATIGRAF. CLEMIN	0.00	0.10	0.00	0.10
Kvalita	323.84	CSN 73/1001	VÝHODNOST	INZISTENCE
0	0.00	0.10	0	P
1	0.10	0.30	F3 / M5	1
2	0.30	0.50		P
3	0.50	0.70		
4	0.70	0.90	F5	P - T
5	0.90	1.10		
6	1.10	1.30	F4 - F3	P
7	1.30	1.50		
8	1.50	1.70		
9	1.70	1.90		
10	1.90	2.10	R5	1 - 2
11	2.10	2.30		
12	2.30	2.50		
13	2.50	2.70	R5 - R4	2
14	2.70	2.90		
15	2.90	3.10		
Podzemí	15.00			
GEOLOGICKÝ POPIS VRSTEV				
od	do			
0.00	0.10	Hlina, šedohnědá, humózní, s dřem.		
0.10	0.30	Hlina písčitá, slabě jílovitá, s úlomky a střípky břidlic do 1 cm, zastoupení převážně 10 - 20 %, místy v tenkých polohách až 40 %, pevná, světle hnědá, šedé a žlutohnědě smouhovaná		
0.30	0.50			
0.50	0.70	Hlina jílovitá, hnědá, místy žlutohnědá, do 4,6 m se střípky a úlomky do 1 cm, o zastoupení do 10 %, pevná, v úrovních 4,6 - 5,0 a 5,9 - 6,0 m tuhá		
0.70	0.90			
0.90	1.10	Jíl, slabě písčitý, pevný, hrudkovitě rozpadavý, s úlomky a valouny ojediněle až 8 cm velkými, zastoupení cca 20 %		
1.10	1.30			
1.30	1.50	Břidlice prachovité, fosilně rozložené až silně zvětralé, charakteru silně jílovité hliny (až jílu) slabě písčité, rozsýpavé, s polohami silně zvětralých břidlic v podobě ojedinělých úlomků do 5 cm		
1.50	1.70			
1.70	1.90	Břidlice prachovité, kaolinicky zvětralé, žluté hnědošedá, rozvráceno na úlomky o velikosti většinou do 4 cm, ojediněle až 8 cm, místy v ruce lámateľné, místy pevnější snadno kladivem rozpojiteľné		
1.90	2.10			
2.10	2.30			
2.30	2.50			
2.50	2.70			
2.70	2.90			
2.90	3.10			
Kapesní penetrace :				
[m]	[kPa]	[m]	[kPa]	
2,1	350	5,9	120	
2,3	450	6,1	260	
2,5	450	6,3	250	
2,8	330	6,5	330	
3,0	400			
3,2	290			
3,4	420			
3,7	250			
4,1	250			
4,3	260			
4,6	260			
4,7	120			
5,0	140			
5,1	260			
5,2	390			
5,4	280			
5,6	220			
5,8	360			
Legenda: Vzorky s číslem laboratorního rozboru. Podzemní voda s číslem horizontu.				
■ neporušený	■ porušený	■ jádro	□ technolog	■ skalní
● voda		▼ naražená voda		▲ ustálená voda
Poznámka:				
Název akce: Stavba 511 - Běchovice - D1, km 72.900 - 76.570	Měřítko: 1: 100	Zak. číslo: 050593 - 022		
Dokumentoval: Rout. Tlamsa	Vyhodnotil: Mar.J.Rout	Zpracoval: Mor.J.Rout	Příloha č.: 6.1	



Diplomová práce – Dálniční integrovaný most

SG GEOTECHNIKA a.s. 152 00 Praha 5 - Barrandov, Geologická 4			GEOLOGICKÁ DOKUMENTACE VRTU JV41							
Vrtmistr: Polášek	Hloubka sondy [m]: 12.00				Y=	730740.93				
Typ soupravy: UGB - 1VS	Hladina podz. vody:				X=	1055717.12				
Datum provedení - od: - do: 1.9.2005 1.9.2005	naražená [m]: ustálená [m]:				Z=	327.46				
od: [m] do: [m] vrtáno DN [mm]	od: [m] do: [m] paženo DN [mm]				Souř. systémy:	JTSK / Balt				
						Okres: Praha - východ Katastr. území: Kufřík Mapa 1:25000: 12-422				
JV41						GEOLOGICKÝ POPIS VRSTEV				
STRATIGRAF. ČLENĚNÍ	0.00	0.10	0.00	0.10	od	do				
	327.46				0.00	0.10	Hnědá hlina, slabě humózní			
					0.10	4.80	Hlina písčitojílovitá, hnědá, střípky a úlomky břidlic do 1 cm, ojediněle až 2 cm, zastoupení do 10 %, konzistence pevná, od 3.5 m až tuhá, jemně silnětka, místy šedohnědá			
Konzist.					4.80	5.70	Hlina jílovitá, měkká, hnědá, jemně silnětka, s úlomky a střípky hornin o zastoupení 5 - 10 %, velikost úlomků do 1 cm			
Náročnost					5.70	6.50	Slabě jílovitá hlina, tuhá až pevná, jemně silnětka, s úlomky břidlic o velikosti do 2 cm a zastoupení 10 %			
					6.50	8.10	Hlina až písčitá hlina, s úlomky až valouny o velikosti 1 - 2 cm, ojediněle až 5 cm, zastoupení 15 - 25 %, úlomky tvoří pouze břidlice, na bázi ploché úlomky pevnějších břidlic do 5 cm, pevná až tvrdá, světle hnědá až světlejší šedohnědá			
					8.10	9.50	Břidlice fosilně rozložené na jíl, místy jemně písčitý, pevný, žlutohnědý až bělošedý			
					9.50	12.00	Rozložené a zvětralé břidlice, zvětralé pevnější břidlice s rezavými a černými povlaky oxidů Fe a Mn, rozložené břidlice jsou bělavé barvy			
Profilování	8.10	9.50	8.10	9.50	Kapesní penetrace :	[m] [kPa]	[m] [kPa]			
	9.50	12.00				0,5 220	5,1 80			
						0,8 220	5,4 70			
						1,3 250	5,5 60			
						1,8 250	5,8 140			
						2,1 280	5,9 180			
						2,6 220	6,1 170			
						2,8 270	6,3 250			
						2,9 260				
						3,5 180				
						3,8 110				
						3,9 140				
						4,3 180				
						4,5 120				
						4,7 140				
						4,8 50				
						4,9 60				
Legenda: Vzorky s číslem laboratorního rozboru. Podzemní voda s číslem horizontu.										
■ neporušený	■ porušený	■ jádro	□ technolog.	■ skalní	□ jiný					
● voda		▼ naražená voda		▲ ustálená voda						
Poznámka:										
Název akce: Stavba 511 - Běchovice - D1, km 72.900 - 76.570	Měřítko: 1: 100	Zak. číslo: 050593 - 022								
Dokumentoval: Rout, Tlamsa	Vyhodnotil: Mgr.J.Rout	Zpracoval: Mgr.J.Rout	Příloha č.: 6.1							



PŘÍLOHA B
VÝSTUP Z PROGRAMU GEO5 – PILOTA

**Posouzení piloty****Vstupní data****Projekt**

Akce : DIPLOMOVÁ PRÁCE - DÁLNIČNÍ INTEGROVANÝ MOST
 Část : PILOTA - OPÉRA O1
 Vypracoval : Radka Jelinková
 Datum : 05.03.2020

Základní parametry zemin

Číslo	Název	Vzorek	φ_{ef} [°]	c_{ef} [kPa]	γ [kN/m³]	v [-]
1	Třída F3, konzistence pevná Sr > 0,8		26,50	16,00	18,00	0,35
2	Třída F5, konzistence pevná Sr > 0,8		19,00	20,00	20,00	0,40
3	Třída F4-F3, konzistence pevná Sr > 0,8		22,00	14,00	18,50	0,35
4	Třída R5		33,00	25,00	21,50	0,25
5	Třída R5-R4		33,00	25,00	21,50	0,25

Pro výpočet tlaku v klidu jsou všechny zeminy zadány jako nesoudržné.

Číslo	Název	Vzorek	E_{ed} [MPa]	E_{def} [MPa]	γ_{sat} [kN/m³]	γ_s [kN/m³]	n [-]
1	Třída F3, konzistence pevná Sr > 0,8		-	8,00	18,50	-	-
2	Třída F5, konzistence pevná Sr > 0,8		-	5,00	20,50	-	-
3	Třída F4-F3, konzistence pevná Sr > 0,8		-	6,00	19,00	-	-
4	Třída R5		-	70,00	22,00	-	-
5	Třída R5-R4		-	100,00	22,00	-	-

Parametry zemin pro výpočet modulu reakce podloží

Číslo	Název	Vzorek	Typ zeminy	n_R [MN/m³]
1	Třída F3, konzistence pevná Sr > 0,8		soudržná	-
2	Třída F5, konzistence pevná Sr > 0,8		soudržná	-
3	Třída F4-F3, konzistence pevná Sr > 0,8		soudržná	-
4	Třída R5		soudržná	-



Radka Jelinková

DIPLOMOVÁ PRÁCE - DÁLNIČNÍ INTEGROVANÝ MOST
PILOTA - OPÉRA 01

Cíllo	Název	Vzorek	Typ zeminy	n_h [MN/m ³]
5	Třída R5-R4		soudržná	-

Parametry zemín**Třída F3, konzistence pevná Sr > 0,8**

Objemová třída : γ = 18,00 kN/m³
 Úhel vnitřního tření : ϕ_{ef} = 26,50 °
 Soudržnost zeminy : c_{ef} = 16,00 kPa
 Poissonovo číslo : ν = 0,35
 Modul přetvárnosti : E_{def} = 8,00 MPa
 Obj.třha sat.zeminy : γ_{sat} = 18,50 kN/m³
 Typ zeminy : soudržná

Třída F5, konzistence pevná Sr > 0,8

Objemová třída : γ = 20,00 kN/m³
 Úhel vnitřního tření : ϕ_{ef} = 19,00 °
 Soudržnost zeminy : c_{ef} = 20,00 kPa
 Poissonovo číslo : ν = 0,40
 Modul přetvárnosti : E_{def} = 5,00 MPa
 Obj.třha sat.zeminy : γ_{sat} = 20,50 kN/m³
 Typ zeminy : soudržná

Třída F4-F3, konzistence pevná Sr > 0,8

Objemová třída : γ = 18,50 kN/m³
 Úhel vnitřního tření : ϕ_{ef} = 22,00 °
 Soudržnost zeminy : c_{ef} = 14,00 kPa
 Poissonovo číslo : ν = 0,35
 Modul přetvárnosti : E_{def} = 6,00 MPa
 Obj.třha sat.zeminy : γ_{sat} = 19,00 kN/m³
 Typ zeminy : soudržná

Třída R5

Objemová třída : γ = 21,50 kN/m³
 Úhel vnitřního tření : ϕ_{ef} = 33,00 °
 Soudržnost zeminy : c_{ef} = 25,00 kPa
 Poissonovo číslo : ν = 0,25
 Modul přetvárnosti : E_{def} = 70,00 MPa
 Obj.třha sat.zeminy : γ_{sat} = 22,00 kN/m³
 Typ zeminy : soudržná

Třída R5-R4

Objemová třída : γ = 21,50 kN/m³
 Úhel vnitřního tření : ϕ_{ef} = 33,00 °
 Soudržnost zeminy : c_{ef} = 25,00 kPa
 Poissonovo číslo : ν = 0,25
 Modul přetvárnosti : E_{def} = 100,00 MPa
 Obj.třha sat.zeminy : γ_{sat} = 22,00 kN/m³
 Typ zeminy : soudržná

Geometrie

Profil piloty: kruhová

Rozměry



Průměr $d = 1,20 \text{ m}$
Délka $l = 12,00 \text{ m}$

Spočtené průřezové charakteristiky

Plocha $A = 1,13E+00 \text{ m}^2$
Moment setrvačnosti $I = 1,02E-01 \text{ m}^4$

Umístění

Vysazení $h = 0,00 \text{ m}$
Hloubka upraveného terénu $h_2 = 6,48 \text{ m}$

Typ technologie: Vrtané piloty

Modul reakce podloží uvažovaný podle ČSN 731004.

Geologický profil a přiřazení zemin

Číslo	Mocnost vrstvy $t [\text{m}]$	Hloubka $z [\text{m}]$	Přiřazená zemina	Vzorek
1	0,10	0,00 .. 0,10	Třída F3, konzistence pevná $\text{Sr} > 0,8$	
2	3,80	0,10 .. 3,90	Třída F3, konzistence pevná $\text{Sr} > 0,8$	
3	2,90	3,90 .. 6,80	Třída F5, konzistence pevná $\text{Sr} > 0,8$	
4	3,30	6,80 .. 10,10	Třída R5	
5	-	10,10 .. ∞	Třída R5-R4	

Zatížení

Číslo	Zatížení nové	Zatížení změna	Název	Typ	N [kN]	M _x [kNm]	M _y [kNm]	H _x [kN]	H _y [kN]
1	Ano		Zatížení č. 1	Návrhové	1,00	0,00	0,00	0,00	0,00

Hladina podzemní vody

Hladina podzemní vody je v hloubce 13,70 m od původního terénu.

Posouzení čís. 1**Výpočet zatěžovací křivky piloty - vstupní data**

Vrstva číslo	Počátek [m]	Konec [m]	Mocnost [m]	E _s [MPa]	Součinitel a	Součinitel b
1	0,00	0,32	0,32	14,81	79,66	78,08
2	0,32	3,62	3,30	43,67	131,00	94,00
3	3,62	12,00	8,38	64,98	131,00	94,00

Uvažovat zatížení: návrhové

Součinitel vlivu ochrany dříku $m_2 = 1,00$ Limitní sedání piloty $s_{lim} = 3,5 \text{ mm}$

Regresní součinitel e = 988,00

Regresní součinitel f = 1084,00

Výpočet zatěžovací křivky piloty - mezinásledky

Mezní síla na plášti piloty $R_{sy} = 4561,96 \text{ kN}$
 Velikost napětí na patě při R_{sy} $q_0 = 879,60 \text{ kPa}$
 Průměrné plášťové tření $q_s = 100,84 \text{ kPa}$
 Průměrný sečnový modul deformace $E_s = 57,78 \text{ MPa}$



Radka Jelinková

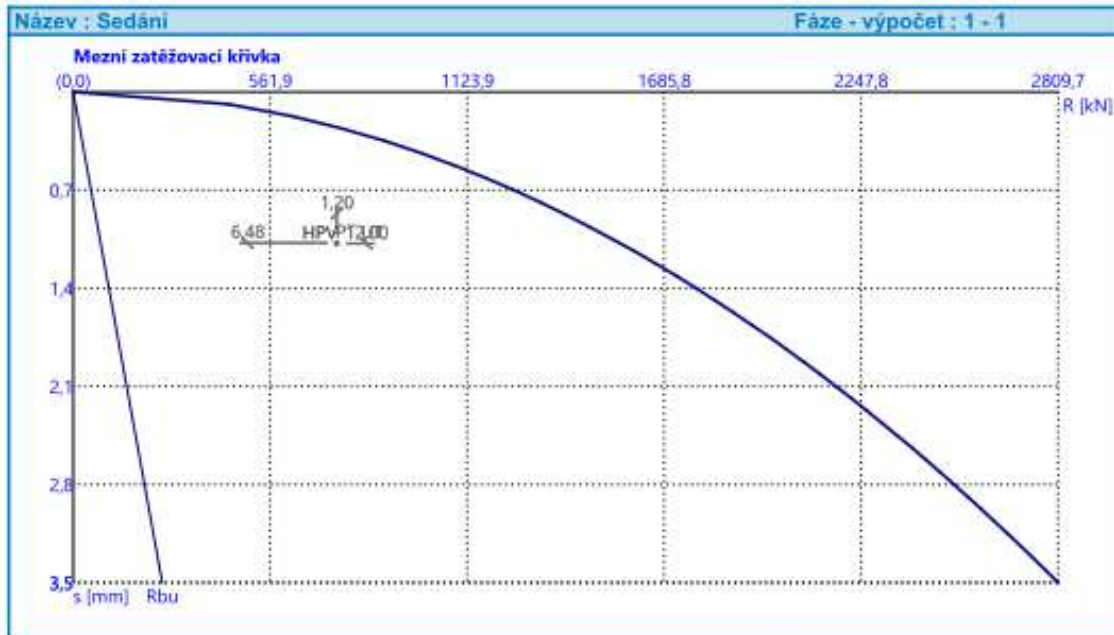
DIPLOMOVÁ PRÁCE - DÁLNIČNÍ INTEGROVANÝ MOST
PILOTA - OPÉRA 01Součinitel přenosu zatížení do paty $\beta = 0,18$

Přičinkové součinitele sedání :

Základní - závislý na poměru l/d $I_0 = 0,15$ Součinitel vlivu tuhosti piloty $R_k = 1,14$ Součinitel vlivu nestlačitelné vrstvy $R_h = 1,00$

Body zatěžovací křivky

Sednutí [mm]	Zatížení [kN]
0,0	0,00
0,3	888,50
0,7	1256,53
1,1	1538,93
1,4	1777,00
1,8	1986,75
2,1	2176,38
2,5	2350,76
2,8	2513,06
3,1	2665,51
3,5	2809,69



Posouzení čís. 1

Vstupní data pro výpočet vodorovné únosnosti piloty

Výpočet proveden s automatickým výběrem nejlepších zatěžovacích stavů.
Vodorovná únosnost posouzena ve směru maximálního účinku zatížení.

Průběhy vnitřních sil a deformace piloty

Průběh deformaci a vnitřních sil po pilotě - maximální hodnoty:



Diplomová práce – Dálniční integrovaný most

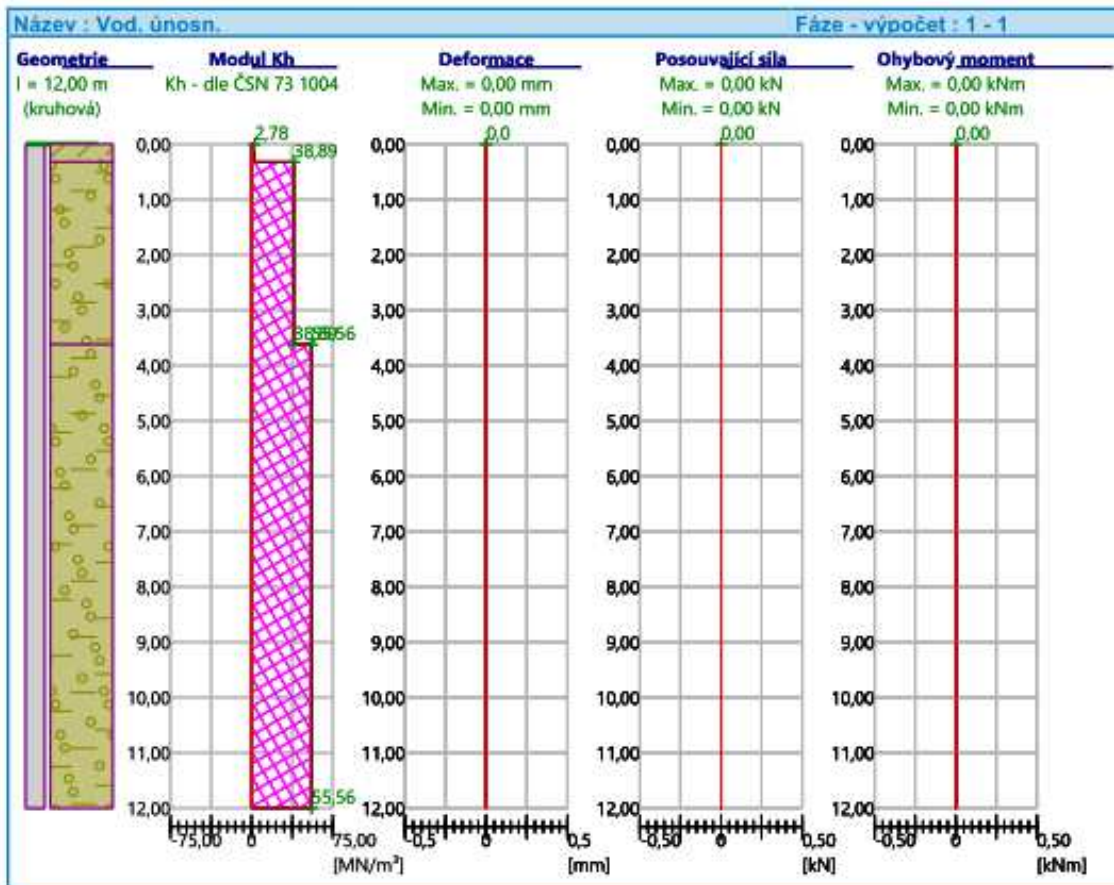
Radka Jelinková

DIPLOMOVÁ PRÁCE - DÁLNIČNÍ INTEGROVANÝ MOST PILOTA - OPÉRA O1

Vzdál. [m]	Modul k [MN/m ³]	Deformace [mm]	Počet [mRad]	Napětí [kPa]	Pos.sila [kN]	Moment [kNm]
0.00	0.00	0.00	0.00	0.00	0.00	0.00
0.60	38.89	0.00	0.00	0.00	0.00	0.00
1.20	38.89	0.00	0.00	0.00	0.00	0.00
1.80	38.89	0.00	0.00	0.00	0.00	0.00
2.40	38.89	0.00	0.00	0.00	0.00	0.00
3.00	38.89	0.00	0.00	0.00	0.00	0.00
3.60	38.89	0.00	0.00	0.00	0.00	0.00
3.62	55.56	0.00	0.00	0.00	0.00	0.00
4.20	55.56	0.00	0.00	0.00	0.00	0.00
4.80	55.56	0.00	0.00	0.00	0.00	0.00
5.40	55.56	0.00	0.00	0.00	0.00	0.00
6.00	55.56	0.00	0.00	0.00	0.00	0.00
6.60	55.56	0.00	0.00	0.00	0.00	0.00
7.20	55.56	0.00	0.00	0.00	0.00	0.00
7.80	55.56	0.00	0.00	0.00	0.00	0.00
8.40	55.56	0.00	0.00	0.00	0.00	0.00
9.00	55.56	0.00	0.00	0.00	0.00	0.00
9.60	55.56	0.00	0.00	0.00	0.00	0.00
10.20	55.56	0.00	0.00	0.00	0.00	0.00
10.80	55.56	0.00	0.00	0.00	0.00	0.00
11.40	55.56	0.00	0.00	0.00	0.00	0.00
12.00	55.56	0.00	0.00	0.00	0.00	0.00

Průběh deformaci a vnitřních sil po pilotě - minimální hodnoty:

Vzdál. [m]	Modul k [MN/m ³]	Deformace [mm]	Počet [mRad]	Napětí [kPa]	Pos.sila [kN]	Moment [kNm]
0.00	0.00	-0.00	-0.00	-0.00	0.00	-0.00
0.60	38.89	-0.00	-0.00	-0.00	0.00	-0.00
1.20	38.89	-0.00	-0.00	-0.00	0.00	-0.00
1.80	38.89	-0.00	-0.00	-0.00	0.00	-0.00
2.40	38.89	-0.00	-0.00	-0.00	0.00	-0.00
3.00	38.89	-0.00	-0.00	-0.00	0.00	-0.00
3.60	38.89	-0.00	-0.00	-0.00	-0.00	-0.00
3.62	55.56	-0.00	-0.00	-0.00	-0.00	-0.00
4.20	55.56	0.00	-0.00	-0.00	-0.00	-0.00
4.80	55.56	0.00	-0.00	-0.00	-0.00	-0.00
5.40	55.56	0.00	-0.00	-0.00	-0.00	-0.00
6.00	55.56	0.00	-0.00	-0.00	-0.00	-0.00
6.60	55.56	0.00	-0.00	-0.00	-0.00	-0.00
7.20	55.56	0.00	-0.00	-0.00	-0.00	-0.00
7.80	55.56	0.00	-0.00	-0.00	-0.00	-0.00
8.40	55.56	0.00	-0.00	-0.00	-0.00	-0.00
9.00	55.56	0.00	-0.00	-0.00	-0.00	-0.00
9.60	55.56	0.00	-0.00	-0.00	-0.00	-0.00
10.20	55.56	0.00	-0.00	-0.00	-0.00	-0.00
10.80	55.56	0.00	-0.00	-0.00	-0.00	-0.00
11.40	55.56	0.00	-0.00	-0.00	-0.00	-0.00
12.00	55.56	0.00	-0.00	-0.00	0.00	-0.00



**Posouzení piloty****Vstupní data****Projekt**

Akce : DIPLOMOVÁ PRÁCE - DÁLNIČNÍ INTEGROVANÝ MOST
 Část : PILOTA - OPÉRA O2
 Vypracoval : Radka Jelinková
 Datum : 05.03.2020

Základní parametry zemin

Číslo	Název	Vzorek	φ_{ef} [°]	c_{ef} [kPa]	γ [kN/m ³]	v [-]
1	Třída F5, konzistence tuhá		19,00	20,00	20,00	0,40
2	Třída R6-F6, konzistence tuhá		15,00	18,00	21,00	0,40
3	Třída F2, konzistence tuhá		24,00	6,00	19,50	0,35
4	Třída R5		33,00	25,00	21,50	0,25
5	Třída R4		33,00	25,00	21,50	0,25

Pro výpočet tlaku v klidu jsou všechny zeminy zadány jako nesoudržné.

Číslo	Název	Vzorek	E_{oed} [MPa]	E_{def} [MPa]	γ_{sat} [kN/m ³]	γ_s [kN/m ³]	n [-]
1	Třída F5, konzistence tuhá		-	5,00	20,00	-	-
2	Třída R6-F6, konzistence tuhá		-	15,00	21,50	-	-
3	Třída F2, konzistence tuhá		-	7,00	20,00	-	-
4	Třída R5		-	70,00	22,00	-	-
5	Třída R4		-	150,00	22,00	-	-

Parametry zemin pro výpočet modulu reakce podloží

Číslo	Název	Vzorek	Typ zeminy	n_b [MN/m ³]
1	Třída F5, konzistence tuhá		soudržná	-
2	Třída R6-F6, konzistence tuhá		soudržná	-
3	Třída F2, konzistence tuhá		soudržná	-
4	Třída R5		soudržná	-



Číslo	Název	Vzorek	Typ zeminy	n_b [MN/m ³]
5	Třída R4		soudržná	-

Parametry zeminy**Třída F5, konzistence tuhá**

Objemová tříha : $\gamma = 20,00 \text{ kN/m}^3$
 Úhel vnitřního tření : $\phi_{ef} = 19,00^\circ$
 Soudržnost zeminy : $c_{ef} = 20,00 \text{ kPa}$
 Poissonovo číslo : $\nu = 0,40$
 Modul přetvárnosti : $E_{def} = 5,00 \text{ MPa}$
 Obj.tříha sat.zeminy : $\gamma_{sat} = 20,00 \text{ kN/m}^3$
 Typ zeminy : soudržná

Třída R6-F6, konzistence tuhá

Objemová tříha : $\gamma = 21,00 \text{ kN/m}^3$
 Úhel vnitřního tření : $\phi_{ef} = 15,00^\circ$
 Soudržnost zeminy : $c_{ef} = 18,00 \text{ kPa}$
 Poissonovo číslo : $\nu = 0,40$
 Modul přetvárnosti : $E_{def} = 15,00 \text{ MPa}$
 Obj.tříha sat.zeminy : $\gamma_{sat} = 21,50 \text{ kN/m}^3$
 Typ zeminy : soudržná

Třída F2, konzistence tuhá

Objemová tříha : $\gamma = 19,50 \text{ kN/m}^3$
 Úhel vnitřního tření : $\phi_{ef} = 24,00^\circ$
 Soudržnost zeminy : $c_{ef} = 6,00 \text{ kPa}$
 Poissonovo číslo : $\nu = 0,35$
 Modul přetvárnosti : $E_{def} = 7,00 \text{ MPa}$
 Obj.tříha sat.zeminy : $\gamma_{sat} = 20,00 \text{ kN/m}^3$
 Typ zeminy : soudržná

Třída R5

Objemová tříha : $\gamma = 21,50 \text{ kN/m}^3$
 Úhel vnitřního tření : $\phi_{ef} = 33,00^\circ$
 Soudržnost zeminy : $c_{ef} = 25,00 \text{ kPa}$
 Poissonovo číslo : $\nu = 0,25$
 Modul přetvárnosti : $E_{def} = 70,00 \text{ MPa}$
 Obj.tříha sat.zeminy : $\gamma_{sat} = 22,00 \text{ kN/m}^3$
 Typ zeminy : soudržná

Třída R4

Objemová tříha : $\gamma = 21,50 \text{ kN/m}^3$
 Úhel vnitřního tření : $\phi_{ef} = 33,00^\circ$
 Soudržnost zeminy : $c_{ef} = 25,00 \text{ kPa}$
 Poissonovo číslo : $\nu = 0,25$
 Modul přetvárnosti : $E_{def} = 150,00 \text{ MPa}$
 Obj.tříha sat.zeminy : $\gamma_{sat} = 22,00 \text{ kN/m}^3$
 Typ zeminy : soudržná

Geometrie

Profil piloty: kruhová

Rozměry



Průměr $d = 1,20 \text{ m}$
Délka $l = 12,00 \text{ m}$

Spočtené průřezové charakteristiky

Plocha $A = 1,13E+00 \text{ m}^2$
Moment setrvačnosti $I = 1,02E-01 \text{ m}^4$

Umístění

Vysazení $h = 0,00 \text{ m}$
Hloubka upraveného terénu $h_2 = 8,94 \text{ m}$

Typ technologie: Vrtané piloty

Modul reakce podloží uvažovaný podle ČSN 731004.

Geologický profil a přiřazení zemin

Číslo	Mocnost vrstvy $t [\text{m}]$	Hloubka $z [\text{m}]$	Přiřazená zemina	Vzorek
1	0,50	0,00 .. 0,50	Třída F5, konzistence tuhá	
2	0,70	0,50 .. 1,20	Třída F5, konzistence tuhá	
3	3,10	1,20 .. 4,30	Třída F2, konzistence tuhá	
4	3,30	4,30 .. 7,60	Třída R6-F6, konzistence tuhá	
5	8,15	7,60 .. 15,75	Třída R5	
6	-	15,75 .. ∞	Třída R4	

Zatížení

Číslo	Zatížení nove	Zatížení změna	Název	Typ	N [kN]	M_x [kNm]	M_y [kNm]	H_x [kN]	H_y [kN]
1	Ano		Zatížení č. 1	Návrhové	1,00	0,00	0,00	0,00	0,00

Hladina podzemní vody

Hladina podzemní vody je v hloubce 18,50 m od původního terénu.

Posouzení čís. 1**Výpočet zatěžovací křivky piloty - vstupní data**

Vrstva číslo	Počátek [m]	Konec [m]	Mocnost [m]	E_s [MPa]	Součinitel a	Součinitel b
1	0,00	6,81	6,81	12,96	97,00	108,00
2	6,81	12,00	5,19	77,49	131,00	94,00

Uvažovat zatížení : návrhové

Součinitel vlivu ochrany dříku $m_2 = 1,00$ Limitní sedání piloty $s_{lim} = 4,0 \text{ mm}$

Regresní součinitel e = 988,00

Regresní součinitel f = 1084,00

Výpočet zatěžovací křivky piloty - mezivýsledky

Mezní síla na pláště piloty $R_{sy} = 3837,13 \text{ kN}$
 Velikost napětí na patě při R_{sy} $q_0 = 879,60 \text{ kPa}$
 Průměrné pláštové tření $q_s = 84,82 \text{ kPa}$



Radka Jelinková

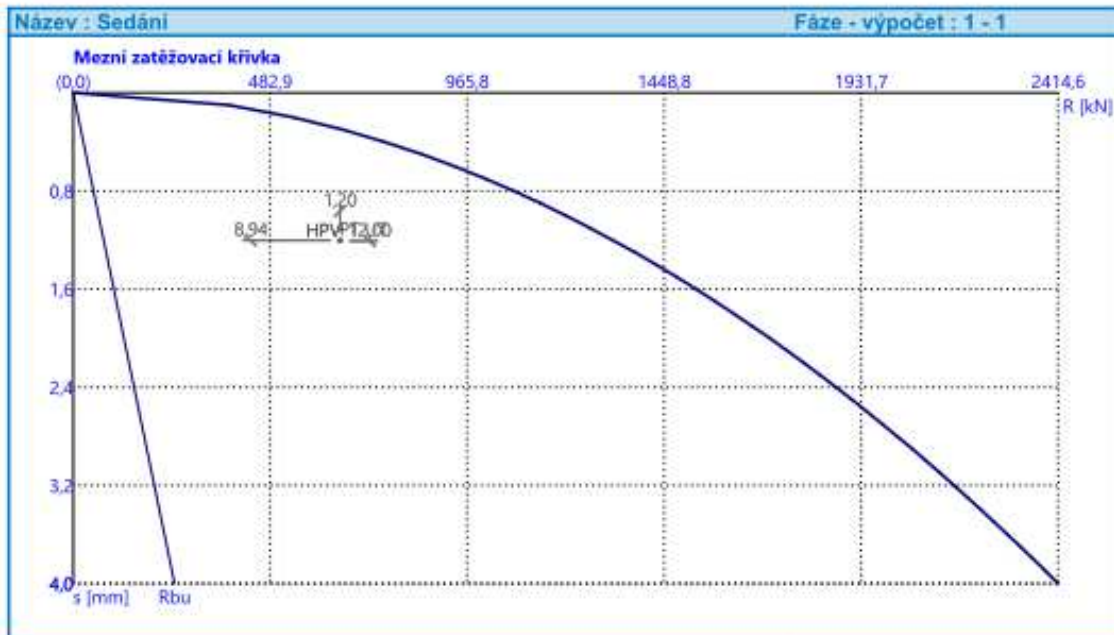
DIPLOMOVÁ PRÁCE - DÁLNIČNÍ INTEGROVANÝ MOST
PILOTA - OPÉRA O2

Průměrný sečnový modul deformace $E_s = 40,87 \text{ MPa}$
 Součinitel přenosu zatížení do paty $\beta = 0,21$

Příčinkové součinitele sedání :
 Základní - závislý na poměru l/d $I_0 = 0,15$
 Součinitel vlivu tuhosti piloty $R_k = 1,08$
 Součinitel vlivu nestlačitelné vrstvy $R_h = 1,00$

Body zatěžovací křivky

Sednutí [mm]	Zatížení [kN]
0,0	0,00
0,4	763,57
0,8	1079,85
1,2	1322,54
1,6	1527,13
2,0	1707,39
2,4	1870,35
2,8	2020,21
3,2	2159,69
3,6	2290,70
4,0	2414,61



Posouzení čís. 1

Vstupní data pro výpočet vodorovné únosnosti piloty

Výpočet proveden s automatickým výběrem nejnepříznivějších zatěžovacích stavů.
 Vodorovná únosnost posouzena ve směru maximálního účinku zatížení.



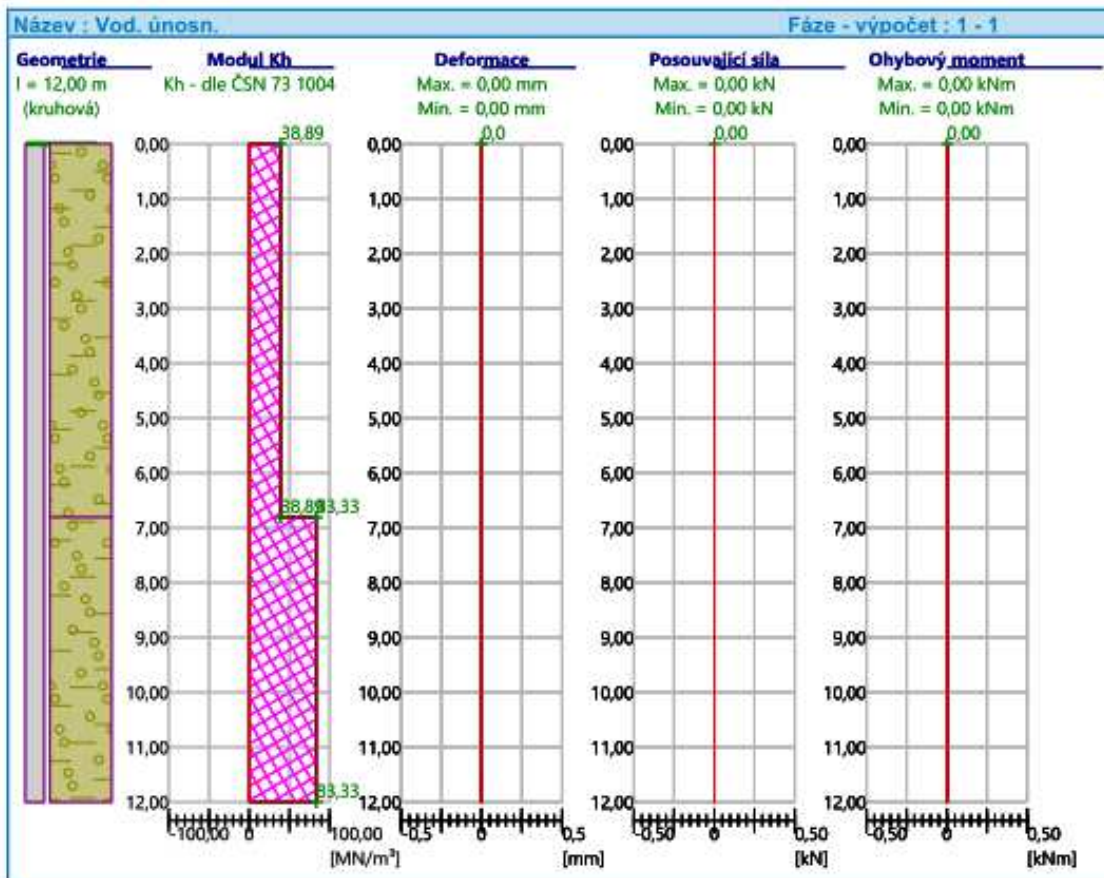
Průběhy vnitřních sil a deformace piloty

Průběh deformaci a vnitřních sil po pilotě - maximální hodnoty:

Vzdáл. [m]	Modul k [MN/m ³]	Deformace [mm]	Pootoč. [mRad]	Napětí [kPa]	Pos.síla [kN]	Moment [kNm]
0.00	0.00	0.00	0.00	0.00	0.00	0.00
0.60	38.89	0.00	0.00	0.00	0.00	0.00
1.20	38.89	0.00	0.00	0.00	0.00	0.00
1.80	38.89	0.00	0.00	0.00	0.00	0.00
2.40	38.89	0.00	0.00	0.00	0.00	0.00
3.00	38.89	0.00	0.00	0.00	0.00	0.00
3.60	38.89	0.00	0.00	0.00	0.00	0.00
4.20	38.89	0.00	0.00	0.00	0.00	0.00
4.80	38.89	0.00	0.00	0.00	0.00	0.00
5.40	38.89	0.00	0.00	0.00	0.00	0.00
6.00	38.89	0.00	0.00	0.00	0.00	0.00
6.60	38.89	0.00	0.00	0.00	0.00	0.00
7.20	83.33	0.00	0.00	0.00	0.00	0.00
7.80	83.33	0.00	0.00	0.00	0.00	0.00
8.40	83.33	0.00	0.00	0.00	0.00	0.00
9.00	83.33	0.00	0.00	0.00	0.00	0.00
9.60	83.33	0.00	0.00	0.00	0.00	0.00
10.20	83.33	0.00	0.00	0.00	0.00	0.00
10.80	83.33	0.00	0.00	0.00	0.00	0.00
11.40	83.33	0.00	0.00	0.00	0.00	0.00
12.00	83.33	0.00	0.00	0.00	0.00	0.00

Průběh deformaci a vnitřních sil po pilotě - minimální hodnoty:

Vzdáл. [m]	Modul k [MN/m ³]	Deformace [mm]	Pootoč. [mRad]	Napětí [kPa]	Pos.síla [kN]	Moment [kNm]
0.00	0.00	-0.00	-0.00	-0.00	0.00	0.00
0.60	38.89	-0.00	-0.00	-0.00	0.00	-0.00
1.20	38.89	-0.00	-0.00	-0.00	0.00	-0.00
1.80	38.89	-0.00	-0.00	-0.00	0.00	-0.00
2.40	38.89	-0.00	-0.00	-0.00	0.00	-0.00
3.00	38.89	-0.00	-0.00	-0.00	0.00	-0.00
3.60	38.89	0.00	-0.00	-0.00	-0.00	-0.00
4.20	38.89	0.00	-0.00	-0.00	-0.00	-0.00
4.80	38.89	0.00	-0.00	-0.00	-0.00	-0.00
5.40	38.89	0.00	-0.00	-0.00	-0.00	-0.00
6.00	38.89	0.00	-0.00	-0.00	-0.00	-0.00
6.60	38.89	0.00	-0.00	-0.00	-0.00	-0.00
7.20	83.33	-0.00	-0.00	-0.00	-0.00	-0.00
7.80	83.33	-0.00	-0.00	-0.00	-0.00	-0.00
8.40	83.33	-0.00	-0.00	-0.00	-0.00	-0.00
9.00	83.33	-0.00	-0.00	-0.00	-0.00	-0.00
9.60	83.33	-0.00	-0.00	-0.00	-0.00	-0.00
10.20	83.33	-0.00	-0.00	-0.00	-0.00	-0.00
10.80	83.33	-0.00	-0.00	-0.00	-0.00	-0.00
11.40	83.33	-0.00	-0.00	-0.00	-0.00	-0.00
12.00	83.33	-0.00	-0.00	0.00	-0.00	-0.00







PŘÍLOHA C
VLASTNOSTI BETONU V ČASE



1 VLASTNOSTI BETONU V ČASE

Vlastnosti betonu jsou stanoveny na základě vztahů odvozených v kap. 3.1 [19]. Vlastnosti materiálů jako pevnosti v tlaku, tahu a mechanické vlastnosti vychází z tabulky 3.1 [19].

1.1 Pevnost betonu v tlaku

Pevnost betonu v tlaku je stanoveno dle čl. 3.1.2 [19].

Pevnost betonu v tlaku ve stáří t závisí na druhu cementu, teplotě a podmínkách ošetřování. Normou odvozené vztahy se určují pro průměrnou teplotu 20° C a ošetřování dle EN 12390.

1.1.1 Charakteristická pevnost f_{ck}

Charakteristická pevnost betonu v tlaku je dána vztahem dle čl. 3.1.2(5) [19]

$$\begin{aligned} f_{ck}(t) &= f_{cm}(t) - 8 \text{ [MPa]} && \text{pro } 3 < t < 28 \text{ dní} \\ f_{ck}(t) &= f_{ck} && \text{pro } t > 28 \text{ dní} \end{aligned}$$

kde:

$f_{cm}(t)$ průměrná hodnota pevnosti v tlaku ve stáří t dní

f_{ck} charakteristická pevnost v tlaku ve stáří 28 dní

Přesnější hodnoty zejména pro $t < 3$ dny, mají vycházet ze zkoušek.

1.1.2 Průměrná pevnost betonu v tlaku f_{cm}

Průměrná pevnost betonu v tlaku je dána vztahem dle čl. 3.1.2(6) [19]

$$f_{cm}(t) = \beta_{cc}(t) * f_{cm}$$

kde:

f_{cm} průměrná hodnota pevnosti v tlaku ve stáří 28 dní

$\beta_{cc}(t)$ součinitel zohledňující stáří betonu

$$\beta_{cc}(t) = \exp \left\{ s \left[1 - \left(\frac{28}{t} \right)^{\frac{1}{2}} \right] \right\}$$

t stáří betonu ve dnech

s koeficient závisící na druhu cementu

0,20 pro cement pevnostní třídy CEM 42,5 R, CEM 52,5 N a CEM 52,5 R (třída R)

0,25 pro cement pevnostní třídy CEM 32,5 R, CEM 42,5 N (třída N)

0,38 pro cement pevnostní třídy CEM 32,5 N (třída S)



1.1.3 Průměrná pevnost betonu v tahu f_{ctm}

Průměrná pevnost betonu v tahu je dána vztahem dle čl. 3.1.2(9) [19]

$$f_{ctm}(t) = (\beta_{cc}(t))^{\alpha} * f_{ctm}$$

kde:

f_{ctm} průměrná hodnota pevnosti v tahu ve stáří 28 dní

$\beta_{cc}(t)$ součinitel zohledňující stáří betonu

α součinitel α

1 pro $t < 28$ dní

2/3 pro $t > 28$ dní

Stanovení 5% a 95% kvantilu dle vztahu v tabulce 3.1 dle [19].

$$f_{ck0,05}(t) = 0,7 * f_{ctm}$$

$$f_{ck0,95}(t) = 1,3 * f_{ctm}$$

1.2 Modul pružnosti betonu

Modul pružnosti betonu je dána vztahem dle čl. 3.1.3(3) [19]. Modul pružnosti betonu závisí na modulu pružnosti jeho složek .

$$E_{cm}(t) = \left(\frac{f_{cm}(t)}{f_{cm}} \right)^{0,3} E_{cm}$$

kde:

$f_{cm}(t)$, $E_{cm}(t)$ hodnoty ve stáří t dní

f_{cm} , E_{cm} hodnoty ve stáří 28 dní

f_{ctm} průměrná hodnota pevnosti v tahu ve stáří 28 dní

E_{cm} sečnový modul pružnosti ve stáří 28 dní

1.3 Poissonův součinitel v

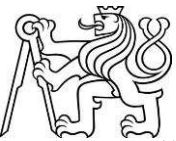
Poissonův součinitel je dán dle čl. 3.1.3(4) [19]

$v = 0,2$ beton neporušený trhlinami

$v = 0,0$ beton porušený trhlinami

1.4 Součinitel teplotní délkové roztažnosti

Součinitel teplotní délkové roztažnosti je dán dle čl. 3.1.3(5) [19]; pokud není k dispozici přesnější hodnota, je roven hodnotě $10 \times 10^{-6} \text{ K}^{-1}$.



2 SMRŠŤOVÁNÍ A DOTVAROVÁNÍ BETONU

Smršťování a dotvarování konstrukce závisí na vlhkosti prostředí, rozměrech prvku a na složení betonu. Dotvarování pak závisí i na čase, kdy je beton poprvé zatížen, a na době trvání a velikosti tohoto zatížení.

Vzorce jsou stanoveny dle čl. 3.1.4 a přílohy B [19].

$$\varepsilon_{cs} = \varepsilon_{cd} + \varepsilon_{ca}$$

ε_{cs}	celkové poměrné smršťování
ε_{cd}	poměrné smršťování od vysychání
ε_{ca}	poměrné autogenní smršťování

Celkové poměrné přetvoření se skládá z dvou složek a to poměrného přetvoření od smršťování vysycháním a od autogenního smršťování. Poměrné smršťování od vysychání se vyvíjí pomaleji. Jde o funkci migrace vody ztvrdlým betonem.

Poměrné autogenní smršťování vzniká v průběhu tvrdnutí betonu, a tak jeho největší část probíhá v prvních dnech od betonáže a jde o lineární funkci pevnosti.

2.1.1 Autogenní smršťování

Autogenní smršťování je způsobeno hydratací betonu, kdy vlivem hydratace dochází k spotřebování vody nutné k hydrataci pojiva a to vede k zmenšení objemu ztvrdlého betonu oproti objemu betonu čerstvého.

Poměrné autogenní smršťování je dáno vztahem dle čl. 3.1.4(6) [19].

$$\varepsilon_{ca}(t) = \beta_{as}(t)\varepsilon_{ca}(\infty)$$

kde:

$\beta_{as}(t)$ součinitel zohledňující stáří betonu

$$\beta_{as}(t) = 1 - \exp(-0,2t^{0,5})$$

$\varepsilon_{ca}(\infty)$ konečné poměrné přetvoření od autogenního smršťování

$$\varepsilon_{ca}(\infty) = 2,5 * (f_{ck} - 10) * 10^{-6}$$

t v dnech



2.1.2 Smršťování od vysychání

Smršťování od vysychání, je způsobeno únikem záměsové vody do okolí. Je ovlivněno dobou ošetřování, relativní rychlosti nárustu pevnosti betonu, třídou cementu. V případě betonáže v létě může smršťování od vysychání výrazně ovlivnit i doba betonáže čerstvého betonu. Hodnota $\varepsilon_{cd,0}$ bude stanovena podle vztahu uvedeném viz příloha B dle [19].

Poměrné smršťování od vysychání je dáno vztahem viz čl. 3.1.4(6) dle [19].

$$\varepsilon_{cd}(t) = \beta_{ds}(t, t_s) * k_h * \varepsilon_{cd,0}$$

kde:

- | | |
|----------------------|--|
| k_h | součinitel závislý na jmenovitém rozměru h_0 |
| $\beta_{ds}(t, t_s)$ | součinitel časového průběhu smršťování |
| $\varepsilon_{cd,0}$ | základní poměrné přetvoření od vysychání |

- **Součinitel k_h**

Součinitel k_h se stanoví z hodnot uvedených v tabulce 3.3 dle [19].

h_0 (mm)	k_h
100	1,00
200	0,85
300	0,75
> 500	0,70

- **Součinitel časového průběhu smršťování $\beta_{ds}(t, t_s)$**

$$\beta_{ds}(t, t_s) = \frac{(t - t_s)}{(t - t_s) + 0,04\sqrt{h_0^3}}$$

kde:

- | | |
|------------------------|------------------------------------|
| t | stáří betonu v uvažovaném okamžiku |
| t_s | stáří betonu na začátku vysychání |
| h_0 | náhradní rozměr průřezu |
| $h_0 = \frac{2A_c}{u}$ | |
| A_c | průřezová plocha |
| u | obvod části vystavené vysychání |



- **Základní poměrné přetvoření od vysychání $\varepsilon_{cd,0}$**

$$\varepsilon_{cd,0} = 0,85 \left[(220 + 110\alpha_{ds_1}) * \exp \left(-\alpha_{ds_2} \frac{f_{cm}}{f_{cm0}} \right) \right] * 10^{-6} * \beta_{RH}$$

kde:

α_{ds1} součinitel závislý na druhu cementu

3 pro cementy třídy S

4 pro cementy třídy N

6 pro cementy třídy R

α_{ds2} součinitel závislý na druhu cementu

0,13 pro cementy třídy S

0,12 pro cementy třídy N

0,11 pro cementy třídy R

f_{cm} průměrná hodnota pevnosti v tlaku ve stáří 28 dní

f_{cm0} 10 MPa

$$\beta_{RH} = 1,55 \left[1 - \left(\frac{RH}{RH_0} \right)^3 \right]$$

RH relativní vlhkost prostředí (%)

RH_0 100 %

2.2 Dotvarování

Poměrné přetvoření od dotvarování je dáno vztahem dle čl. 3.1.4(3) [19].

$$\varepsilon_{cc}(\infty, t_0) = \frac{\sigma_c(t_0)}{E_c} \varphi(t, t_0)$$

kde:

$\sigma_c(t_0)$ tlakové napětí v betonu v čase t_0

E_c tečnový modul pružnosti ve stáří 28 dní

$\varphi(t, t_0)$ součinitel dotvarování

- **Tlakové napětí v betonu $\sigma_c(t_0)$**

Pokud tlakové napětí v betonu v čase vnesení zatížení bude větší než $0,45f_{ck}(t, t_0)$, je třeba uvažovat nelineární dotvarování betonu. V takovém případě bude $\varphi(t, t_0)$ nahrazeno hodnotou $\varphi_{nl}(t, t_0)$. Vzhledem k dodržení podmínky omezení napětí v betonu se tato varianta nepředpokládá.

- **Tečnový modul pružnosti E_c**

Tečnový modul pružnosti v $t=28$ dní se stanoví ze vztahu viz čl. 3.1.4(2) dle [19].

$$E_c = 1,05 * E_{cm}$$

kde:

E_{cm} sečnový modul pružnosti ve stáří $t=28$ dní



- **Součinitel dotvarování $\varphi(t, t_0)$**

Pokud není požadována velká přesnost výpočtu a není překročena hodnota napětí pro nelineární dotvarování, lze tento součinitel odvodit viz obrázek 3.1 dle [19]. Hodnoty uvedené platí pro teploty -40 °C až 40 °C a průměrnou relativní vlhkostí RH = 40 - 100 %.

Podrobnější výpočet je uveden viz příloha B dle [19] a lze ho vypočítat ze vztahu:

$$\varphi(t, t_0) = \varphi_0 * \beta_c(t, t_0)$$

kde:

- | | |
|-------------------|---|
| φ_0 | základní součinitel dotvarování |
| $\beta_c(t, t_0)$ | součinitel časového průběhu dotvarování po zatížení |

- **Základní součinitel dotvarování φ_0**

$$\varphi_0 = \varphi_{RH} * \beta(f_{cm}) * \beta(t_0)$$

kde:

- | | |
|----------------|--|
| φ_{RH} | součinitel vystihující vliv relativní vlhkosti |
|----------------|--|

$$\varphi_{RH} = 1 + \frac{1 - \frac{RH}{100}}{0,1 * \sqrt[3]{h_o}} \quad \text{pro } f_{cm} \leq 35 \text{ MPa}$$

$$\varphi_{RH} = \left[1 + \frac{1 - \frac{RH}{100}}{0,1 * \sqrt[3]{h_o}} * \alpha_1 \right] * \alpha_2 \quad \text{pro } f_{cm} > 35 \text{ MPa}$$

RH relativní vlhkost prostředí (%)

h_o náhradní rozměr průřezu

$$h_o = \frac{2A_c}{u}$$

A_c průřezová plocha

u obvod části vystavené vysychání

α součinitele vlivu pevnosti betonu

$$\alpha_1 = \left[\frac{35}{f_{cm}} \right]^{0,7} \quad \alpha_2 = \left[\frac{35}{f_{cm}} \right]^{0,2}$$

- | | |
|-----------------|---|
| $\beta(f_{cm})$ | součinitel vystihující vliv pevnosti betonu |
|-----------------|---|

$$\beta_{(f_{cm})} = \frac{16,8}{\sqrt{f_{cm}}}$$

f_{cm} průměrná hodnota pevnosti v tlaku ve stáří 28 dní

- | | |
|--------------|--|
| $\beta(t_0)$ | součinitel vystihující vliv stáří betonu v okamžiku vnesení zatížení |
|--------------|--|

$$\beta_{(t_0)} = \frac{1}{(0,1 + t_0^{0,20})}$$

t_0 stáří betonu v dnech v okamžiku vnesení zatížení



- Součinitel časového průběhu dotvarování po zatížení $\beta_c(t,t_0)$

$$\beta_c(t,t_0) = \left[\frac{(t-t_0)}{\beta_H + t - t_0} \right]^{0,3}$$

kde:

t stáří betonu ve dnech uvažovaném okamžiku

t_0 stáří betonu v dnech v okamžiku vnesení zatížení

β_H součinitel závislý na relativní vlhkosti RH a náhradním rozměru h_0

$$\beta_H = 1,5[1 + (0,012RH)^{18}]h_0 + 250 \leq 1500 \quad \text{pro } f_{cm} \leq 35 \text{ MPa}$$

$$\begin{aligned} \beta_H &= 1,5[1 + (0,012RH)^{18}]h_0 + 250\alpha_3 \\ &\leq 1500\alpha_3 \end{aligned} \quad \text{pro } f_{cm} > 35 \text{ MPa}$$

α součinitele vlivu pevnosti betonu

$$\alpha_3 = \left[\frac{35}{f_{cm}} \right]^{0,5}$$

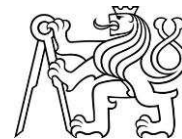
2.2.1 Celkové poměrné přetvoření betonu od reologických změn $\varepsilon_c(t)$

$$\varepsilon_c(t) = \varepsilon_{cs}(t) + \varepsilon_{cc}(t, t_0)$$

$\varepsilon_c(t)$ celkové poměrné přetvoření betonu

$\varepsilon_{cs}(t)$ celkové poměrné přetvoření od smršťování

$\varepsilon_{cc}(t, t_0)$ celkové poměrné přetvoření od dotvarování



3 VLASTNOSTI BETONU C35/45 V ČASE

Vzhledem k uvažování modelu s časovou analýzou materiálu budou uvedeny součinitele použité ve výpočtu časové analýzy betonu.

3.1 Materiálové vlastnosti

Vývoj pevnostních a mechanických charakteristik budou zobrazeny v grafu pro dvě varianty a to do času $t=28$ dní a do konce návrhové životnosti konstrukce 100 let ($t=36500$ dní).

Číselně budou hodnoty uvedeny v 5 časových úsecích. Když 3 úseky odpovídají reálným posuzovaným časům na konstrukci a to předpětí (P), uvedení do provozu (UP) a konec životnosti (KZ) a 2 jsou kontrolními časy.

První kontrolní čas musí splňovat podmínu, že čas t bude v intervalu:

$$t_{k1} \in (t_P; 28) \text{ dní}$$

Druhý kontrolní čas bude roven času $t=28$ dní.

$$t_{k2} = 28 \text{ dní}$$

Vlastnosti betonu v čase 28 dní

Beton		C35/45	Jednotky
Pevnost v tlaku v stáří 28 dní			
Charakteristická válcová	f_{ck}	=	35.00 MPa
Charakteristická krychelná	$f_{ck,cube}$	=	45.00 MPa
Střední hodnota	f_{cm}	=	43.00 MPa
Pevnost v tahu v stáří 28 dní			
Střední hodnota	f_{ctm}	=	3.20 MPa
Dolní kvantil	$f_{ctk;0.05}$	=	2.20 MPa
Horní kvantil	$f_{ctk;0.95}$	=	4.20 MPa
Sečnový modul pružnosti	E_{cm}	=	34.00 GPa
Poissonovo číslo	ν	=	0.20 -
Součinitel teplotní roztažnosti	α	=	1.00E-05 -
Doba vnesení předpětí	t_0	=	7 dní
Doba ošetřování konstrukce	t_s	=	3 dní
Průřezová plocha	A_c	=	12.35 m ²
Obvod části vystavené vysychání	u	=	38.37 m
Cement třídy		=	R -

Tabulka PC-3.1 – Pevnostní a mechanické vlastnosti betonu C35/45

Ozn.	Popis fáze	t [den]
P	Předpínání	7
K1	Kontrolní hodnota $7 < t < 28$ dní	12
K2	Beton stáří $t=28$ dní	28
UP	Uvedení do provozu	192
KZ	Konec životnosti	36500

Tabulka PC-3.2 – Časové úseky pro určení číselných hodnot

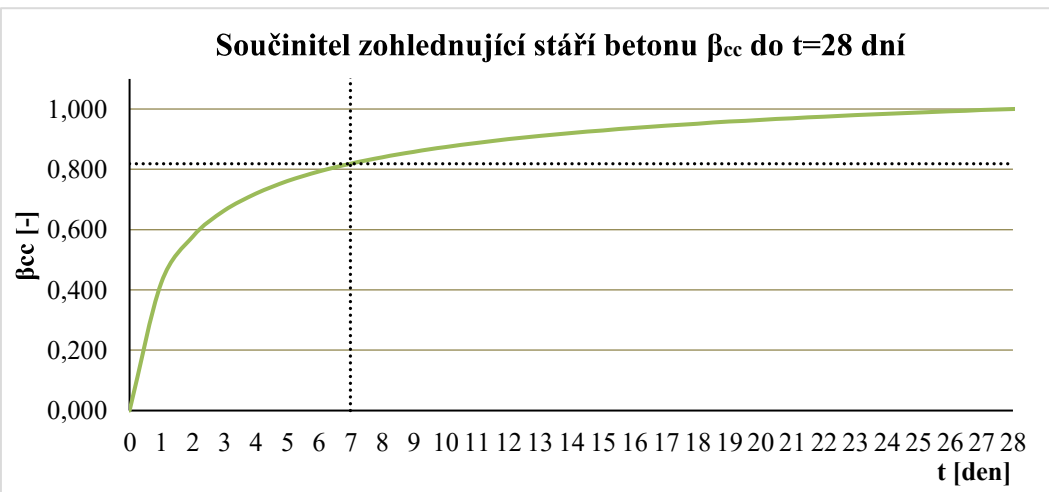


t	Pevnosti v tlaku			Pevnosti v tahu			Modul pružnosti	
	b _{cc} (t)	f _{cm} (t)	f _{ck} (t)	f _{ctm} (t)	f _{ctm0.05} (t)	f _{ctm0.95} (t)	E _c (t)	E _{cm} (t)
	-	MPa	MPa	MPa	MPa	MPa	GPa	GPa
7	0.819	35.205	27.205	2.620	1.834	3.406	33.621	32.020
12	0.900	38.694	30.694	2.880	2.016	3.743	34.588	32.941
28	1.000	43.000	35.000	3.200	2.240	4.160	35.700	34.000
192	1.132	48.658	35.000	3.475	2.432	4.517	37.049	35.285
36500	1.215	52.230	35.000	3.643	2.550	4.736	37.845	36.042

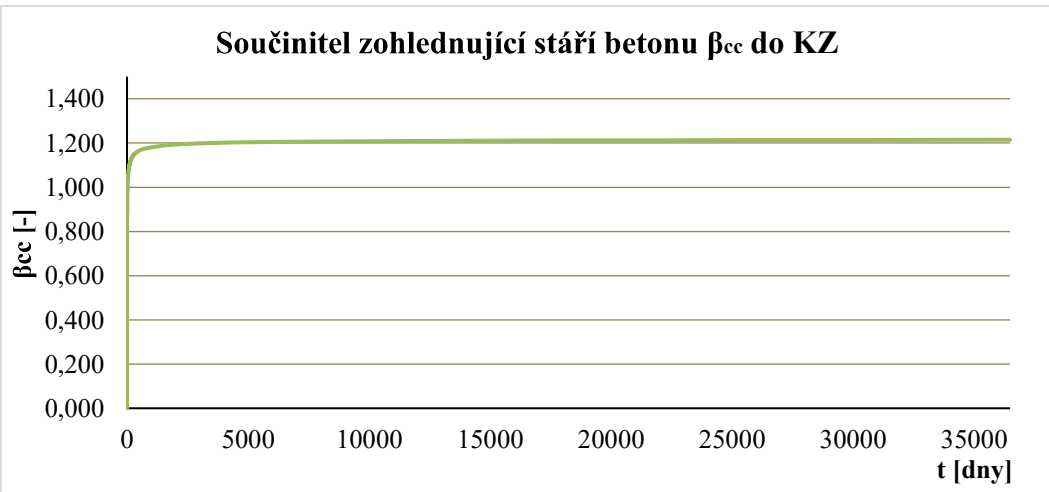
Tabulka PC-3.3 – Pevnostní a mechanické vlastnosti betonu C35/45 v čase t

3.1.1 Pevnostní vlastnosti

- Součinitel zohledňující stáří betonu β_{cc}



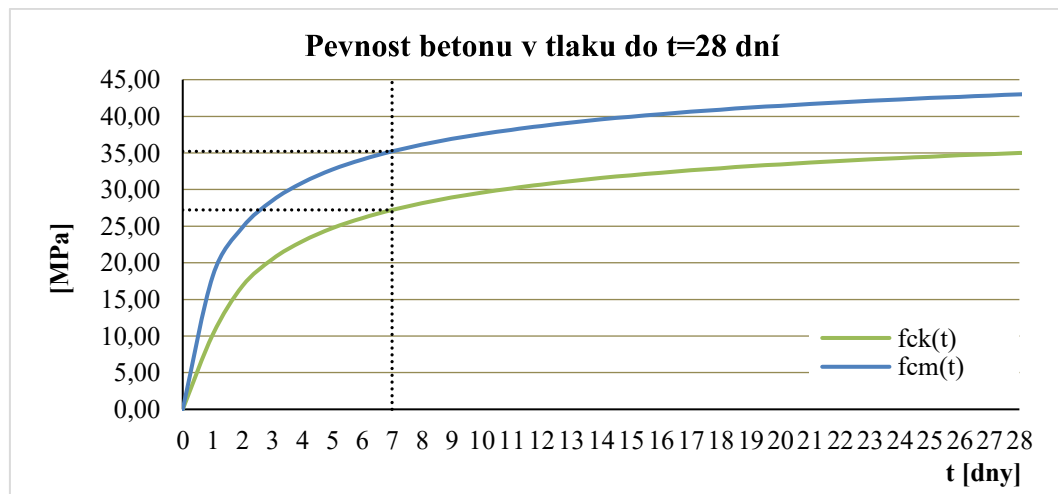
Graf PC-3.1 – Součinitel zohlednující stáří betonu β_{cc} do t=28 dní



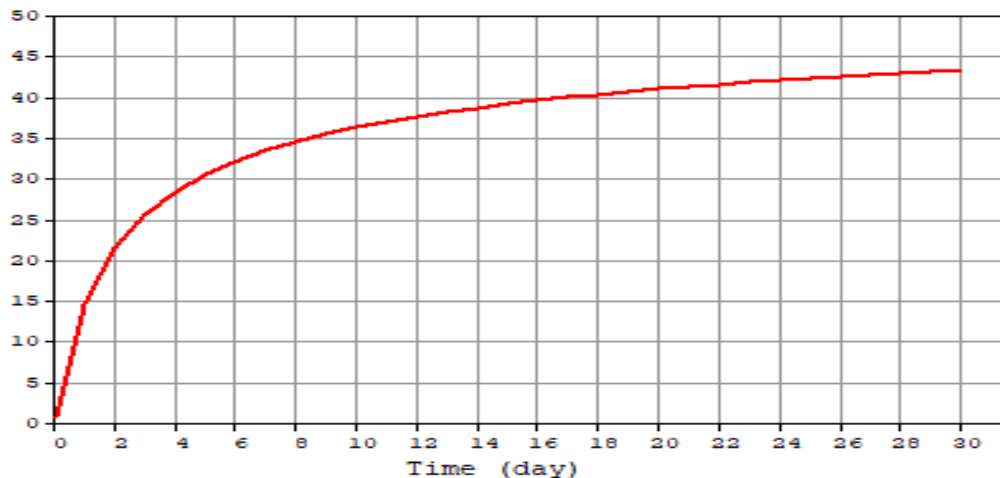
Graf PC-3.2 – Součinitel zohlednující stáří betonu β_{cc} do KZ



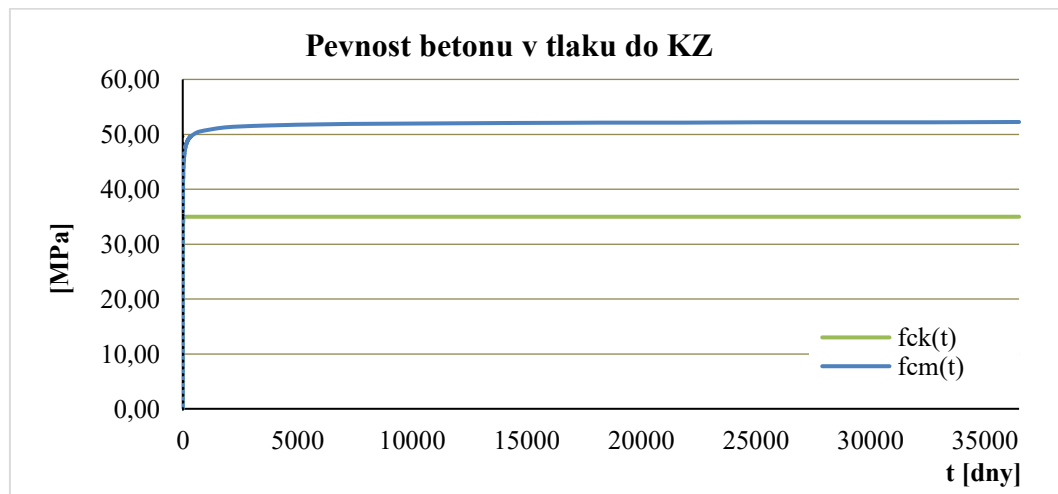
- **Pevnost betonu v tlaku v čase**



Graf PC-3.3 – Charakteristická a průměrná pevnost v tlaku do t=28 dní



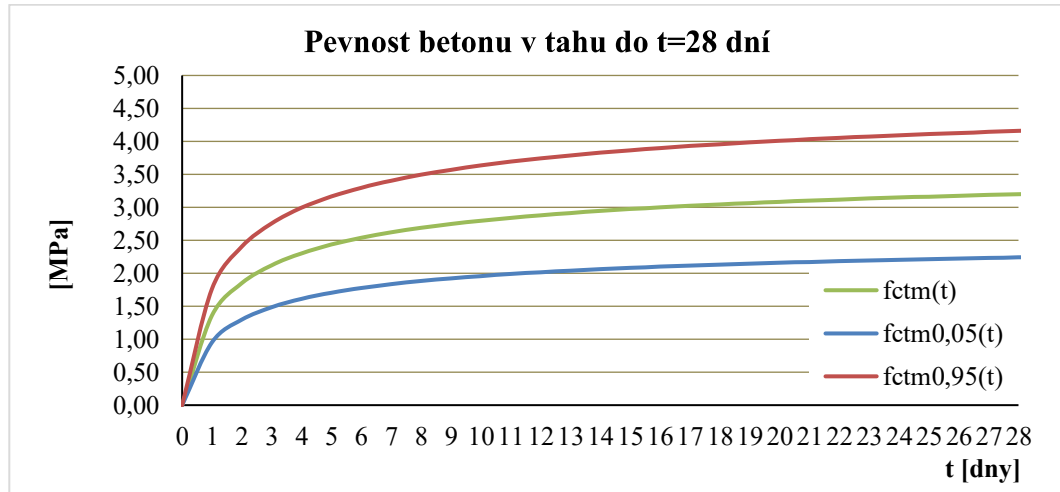
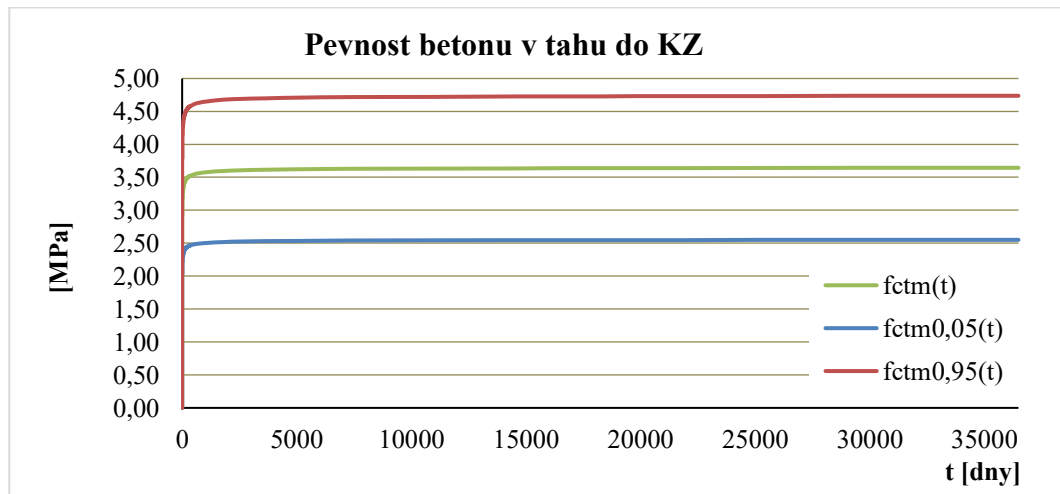
Obrázek 3.1 – Výstup nárustu pevnosti z MIDAS Civil



Graf PC-3.4 – Charakteristická a průměrná pevnost v tlaku do KZ



- **Pevnost betonu v tahu v čase**

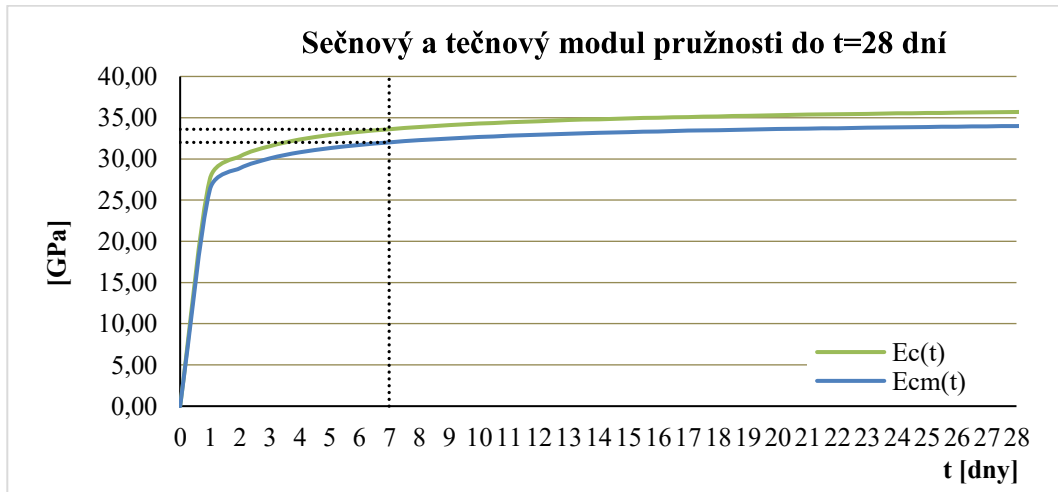
Graf PC-3.5 – Charakteristické pevnosti v tahu do $t=28$ dní

Graf PC-3.6 – Charakteristické pevnosti v tahu do KZ

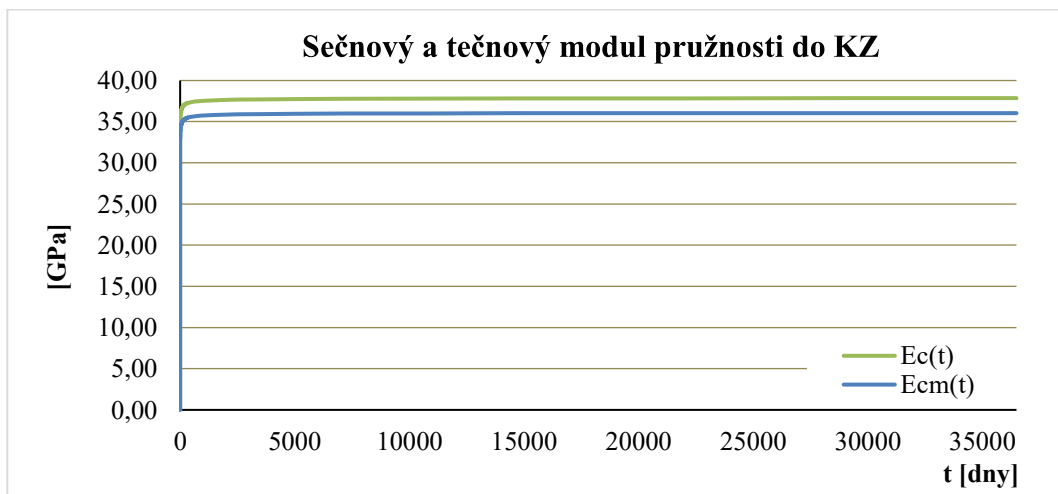


3.1.2 Mechanické vlastnosti

- **Modul pružnosti**



Graf PC-3.7 – Sečnový a tečnový modul pružnosti do t=28 dní



Graf PC-3.8 – Sečnový a tečnový modul pružnosti do KZ



3.2 Smršťování betonu

Součinitele použité pro výpočet smršťování betonu.

Vstupní parametry				
Doba ošetřování betonu	t_s	=	3	dny
Plocha průzera	A_c	=	12.35	m^2
Obvod části vystavené vysychání	u	=	38.37	m
Cement třídy		=	R	-

Smršťování	C35/45	Jednotky
Autogenní smršťování		
Komečné poměrné přetvoření od aut. smrš.	$\epsilon_{ca}(\infty)$	= 6.25E-05 -
Smršťování od vysychání		
Součinitel k_h		
Náhradní rozměr průzezu	h_0	= 643.73 mm
Součinitel závislý na jmenovitém rozměru h_0	k_h	= 0.70 -
Základní poměrné přetvoření od vysychání $\epsilon_{cd,0}$		
Součinitel závislý na druhu cementu α_{ds1}	α_{ds1}	= 6.00 MPa
Součinitel závislý na druhu cementu α_{ds2}	α_{ds2}	= 0.11 MPa
Součinitel β_{RH}	β_{RH}	= 1.02 -
Relativní vlhkost prostředí	RH	= 70.00 %
Základní poměrné přetvoření od vysychání $\epsilon_{cd,0}$	$\epsilon_{cd,0}$	= 4.75E-04 -

Tabulka PC-3.4 – Časově nezávislé parametry pro výpočet smršťování betonu

Vzhledem k značnému nárůstu přetvoření i po čase $t=28$ dní budou přidány kontrolní hodnoty a to v časech $t = 1$ rok, 10 let, 20 let a 50 let.

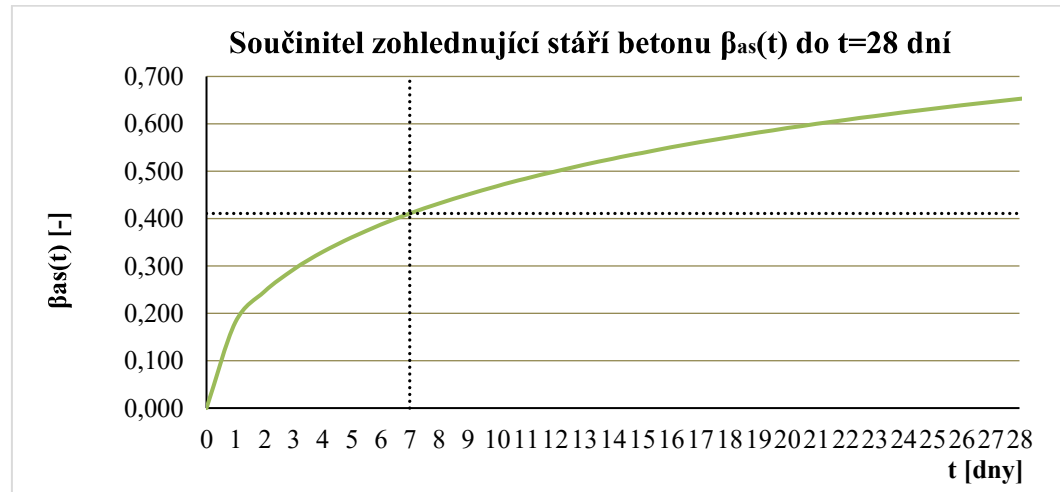
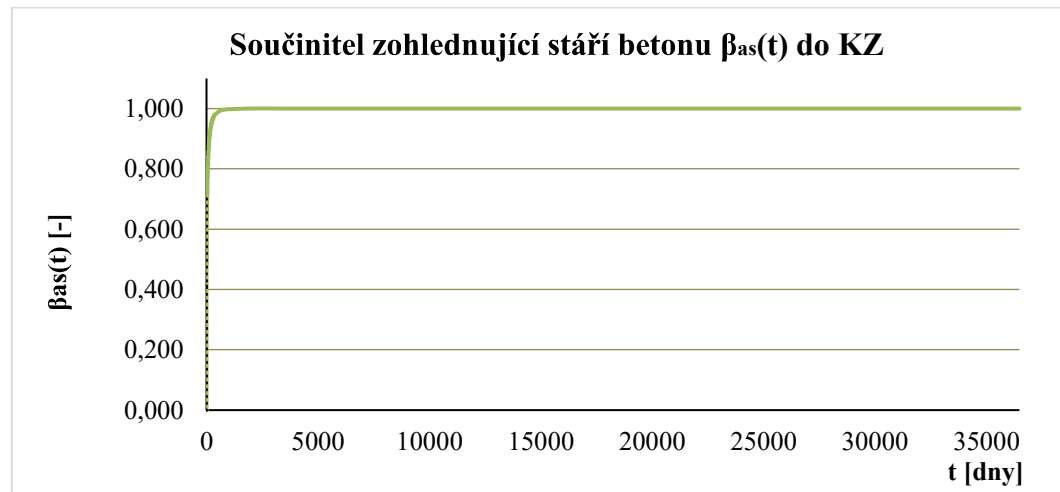
t	Smršťování				
	Autogenní smršťování		Smršťování od vysychání		Celk. Smršť
	$\beta_{as}(t)$	$\epsilon_{ca}(t)$	$\beta_{ds}(t, t_s)$	$\epsilon_{cd}(t)$	$\epsilon_{cs}(t)$
-	-	-	-	-	-
7	4.109E-01	2.568E-05	6.085E-03	2.022E-06	2.770E-05
12	4.998E-01	3.124E-05	1.359E-02	4.515E-06	3.575E-05
28	6.530E-01	4.081E-05	3.686E-02	1.225E-05	5.306E-05
192	9.374E-01	5.859E-05	2.244E-01	7.455E-05	1.331E-04
365	9.781E-01	6.113E-05	3.565E-01	1.185E-04	1.796E-04
3650	1.000E+00	6.250E-05	8.481E-01	2.818E-04	3.443E-04
7300	1.000E+00	6.250E-05	9.178E-01	3.050E-04	3.675E-04
18250	1.000E+00	6.250E-05	9.654E-01	3.208E-04	3.833E-04
36500	1.000E+00	6.250E-05	9.824E-01	3.264E-04	3.889E-04

Tabulka PC-3.5 – Časově závislé parametry pro výpočet smršťování betonu v časech t

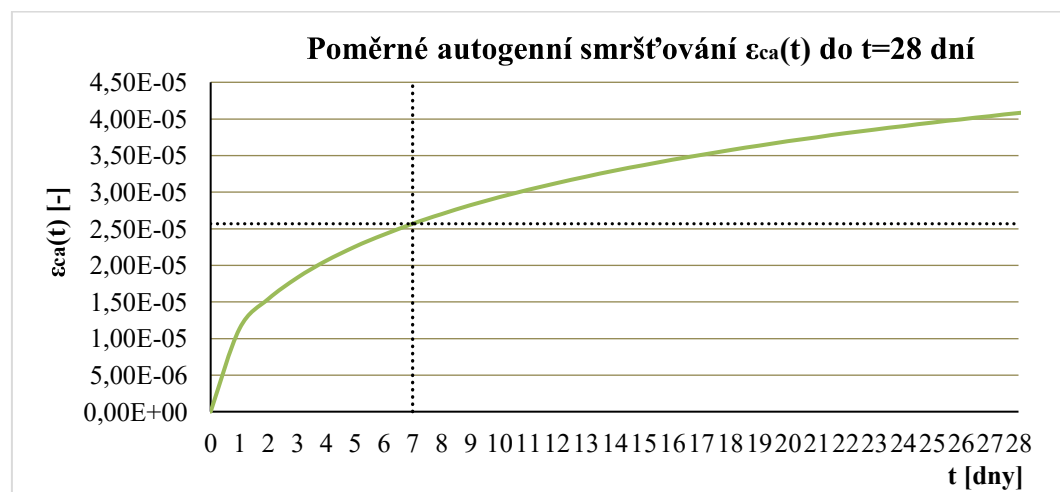


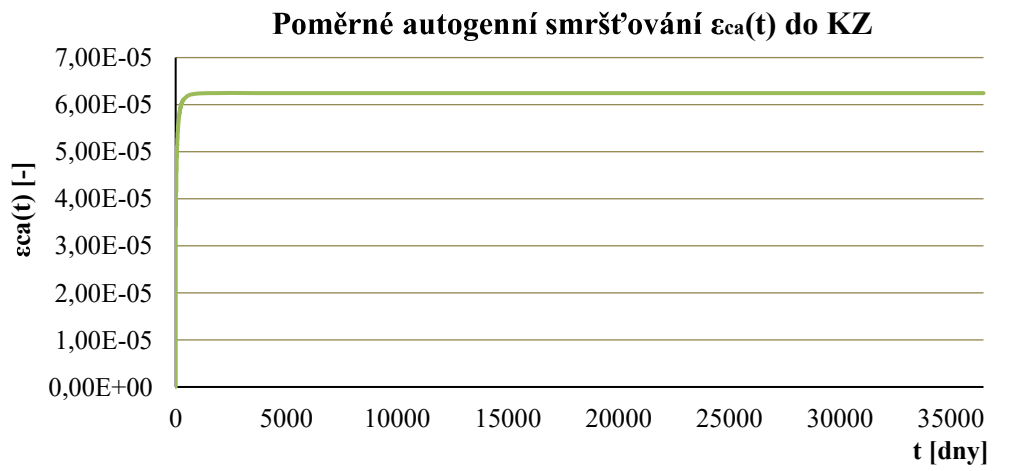
3.2.1 Autogenní smršťování

- Součinitel zohledňující staří betonu $\beta_{as}(t)$

Graf PC-3.9 – Součinitel zohledňující stáří betonu $\beta_{as}(t)$ do $t=28$ dníGraf PC-3.10 – Součinitel zohledňující stáří betonu $\beta_{as}(t)$ do KZ

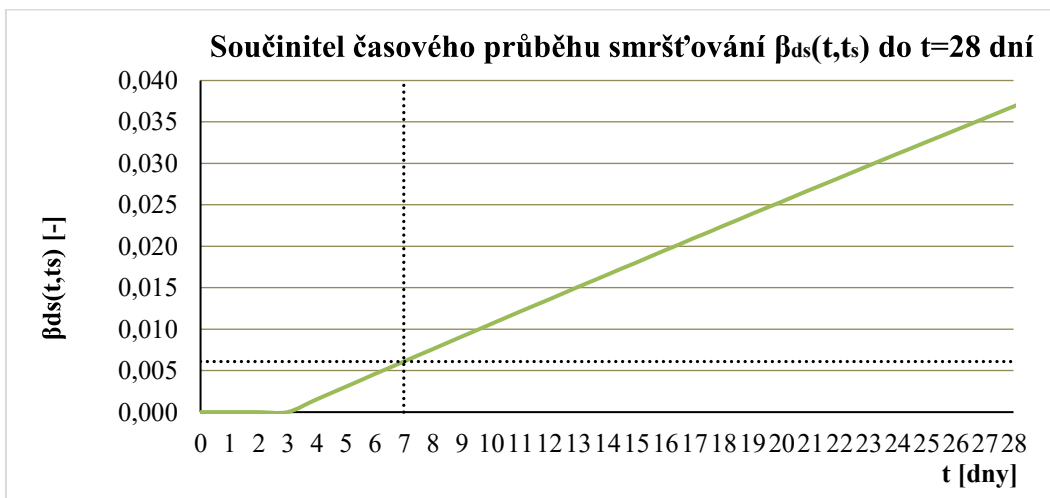
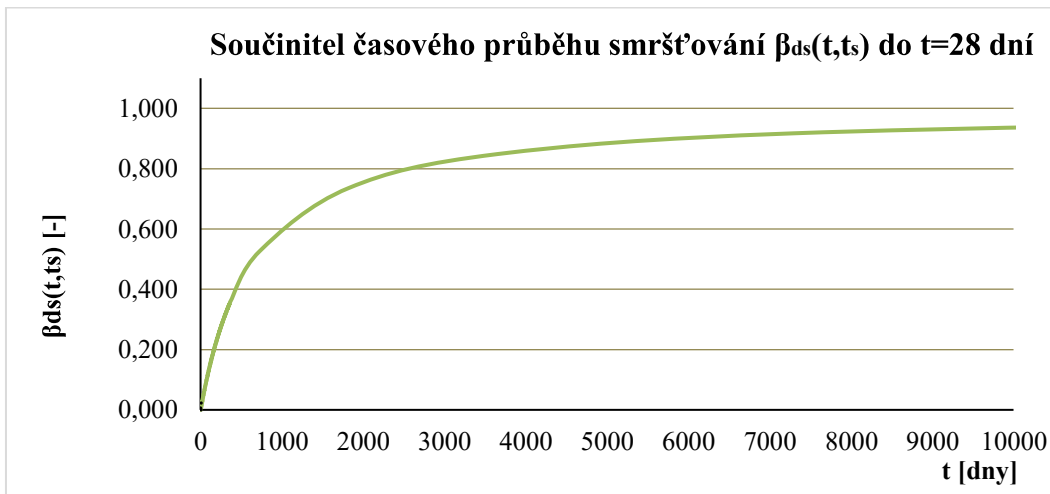
- Poměrné autogenní smršťování $\varepsilon_{ca}(t)$

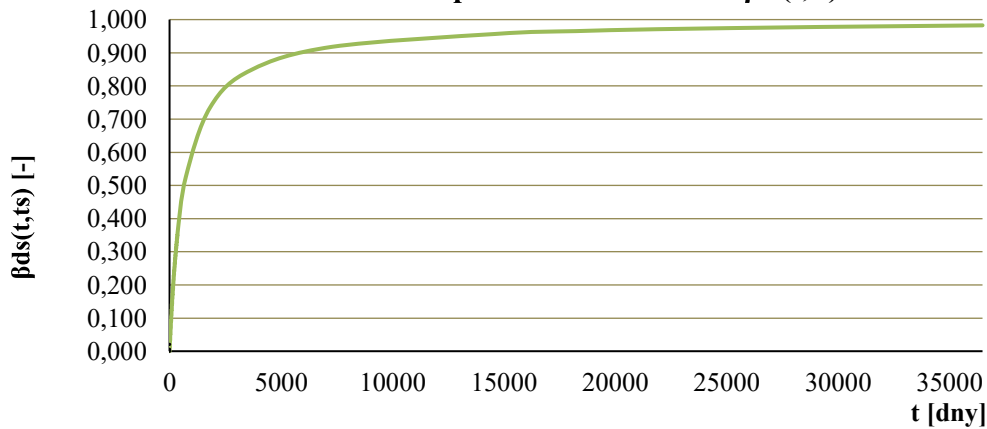
Graf PC-3.11 – Poměrné autogenní smršťování $\varepsilon_{ca}(t)$ do $t=28$ dní

Graf PC-3.12 – Poměrné autogenní smršťování $\varepsilon_{ca}(t)$ do KZ

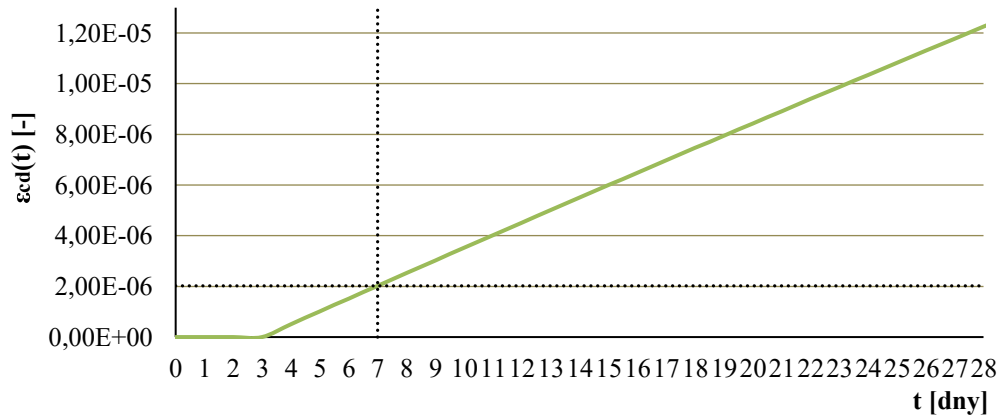
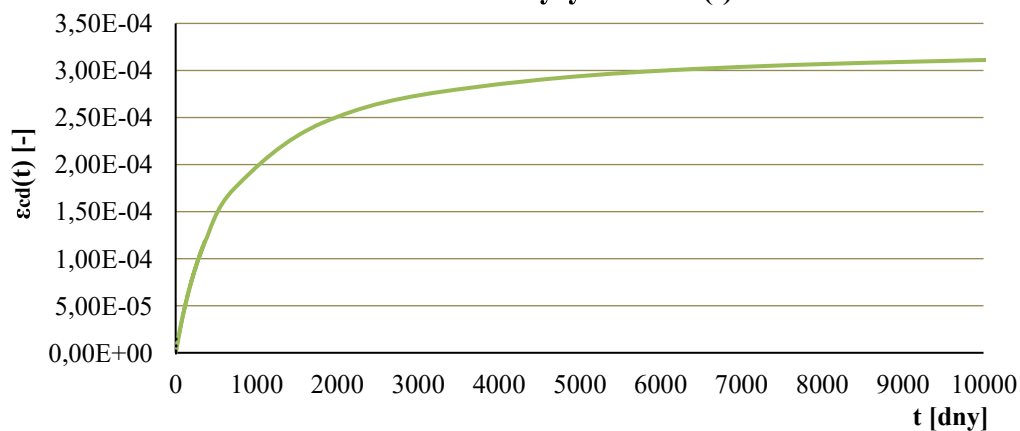
3.2.2 Smršťování od vysychání

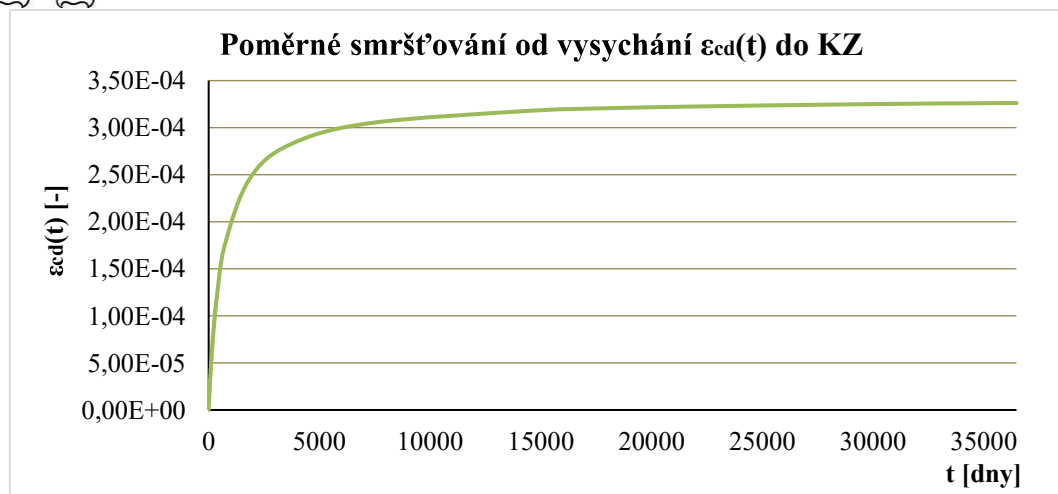
- Součinitel časového průběhu smršťování $\beta_{ds}(t,t_s)$

Graf PC-3.13 – Součinitel časového průběhu smršťování $\beta_{ds}(t,t_s)$ do $t=28$ dníGraf PC-3.14 – Součinitel časového průběhu smršťování $\beta_{ds}(t,t_s)$ do $t=10000$ dní

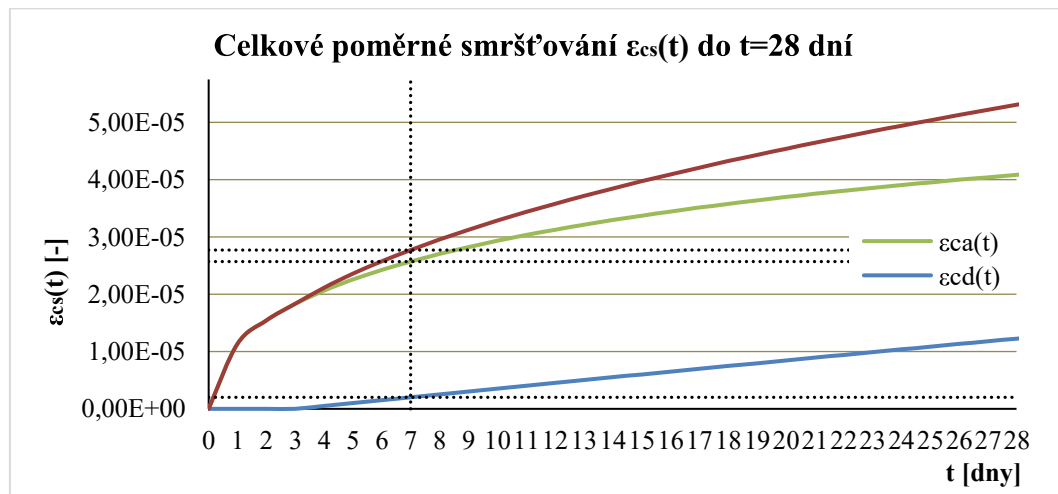
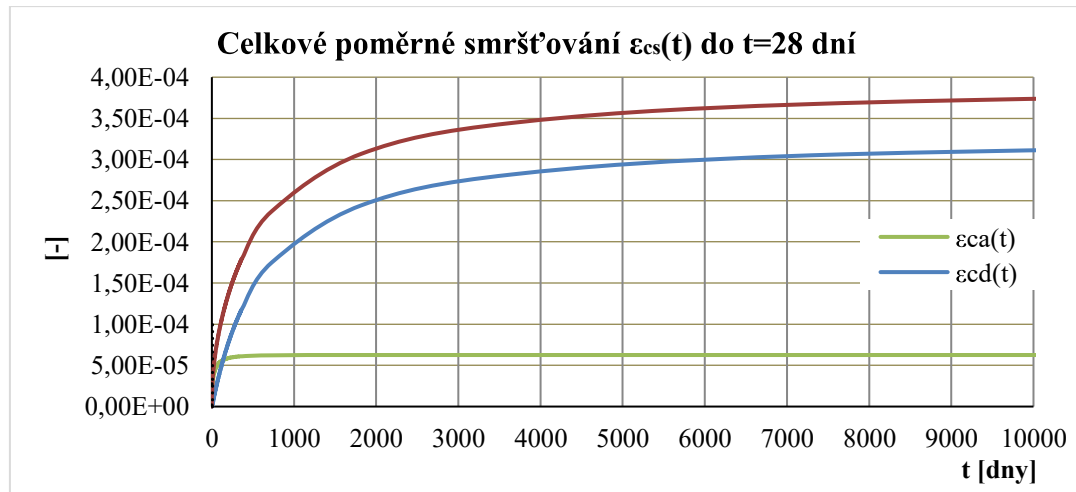
**Součinitel časového průběhu smršťování $\beta_{ds}(t, t_s)$ do KZ**Graf PC-3.15 – Součinitel časového průběhu smršťování $\beta_{ds}(t, t_s)$ do KZ

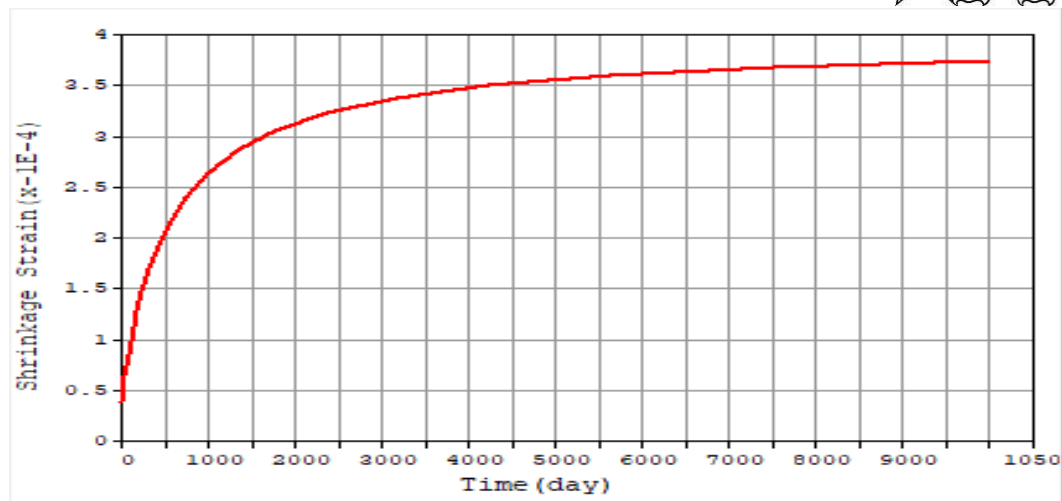
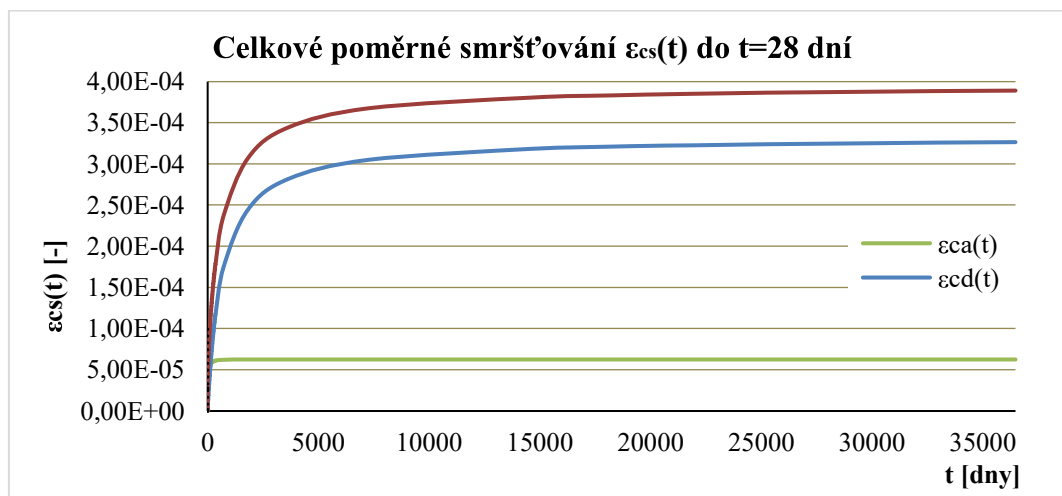
- **Poměrné smršťování od vysychání $\varepsilon_{cd}(t)$**

Poměrné smršťování od vysychání $\varepsilon_{cd}(t)$ do t=28 dníGraf PC-3.16 – Poměrné smršťování od vysychání $\varepsilon_{cd}(t)$ do t= 28 dní**Poměrné smršťování od vysychání $\varepsilon_{cd}(t)$ do t=28 dní**Graf PC-3.17 – Poměrné smršťování od vysychání $\varepsilon_{cd}(t)$ do t= 10000 dní

Graf PC-3.18 – Poměrné smršťování od vysychání $\varepsilon_{cd}(t)$ do KZ

3.2.3 Celkové poměrné smršťování ε_{cs}

Graf PC-3.19 – Celkové poměrné smršťování $\varepsilon_{cs}(t)$ do $t=28$ dníGraf PC-3.20 – Celkové poměrné smršťování $\varepsilon_{cs}(t)$ do $t=10000$ dní

Obrázek PC-3.2 – Celkové poměrné smršťování $\varepsilon_{cs}(t)$ do $t=10000$ dní z MIDAS CivilGraf PC-3.21 – Celkové poměrné smršťování $\varepsilon_{cs}(t)$ do KZ



3.3 Dotvarování betonu

Součinitele použité pro výpočet dotvarování betonu.

Vstupní parametry				
Doba ošetřování betonu	t_0	=	7	dny
Normálová síla od předpětí 20x	N_c	=	71.4	MN
20 ks 17 lanových kabelů, $\sigma_{p,in} = 1400$ MPa				
Plocha průřezu	A_c	=	12.35	m^2
Obvod části vystavené vysychání	u	=	38.37	m
Tečnový modul pružnosti	E_c	=	35.7	GPa

Dotvarování	C35/45	Jednotky
Tlakové napětí v betonu $\sigma_c(t_0)$		
Tlakové napětí v betonu $\sigma_c(t_0)$	$\sigma_c(t_0)$	= 5.78 MPa
Základní součinitel dotvarování ϕ_0		
Náhradní rozměr průřezu	h_0	= 643.732 mm
Součinitel vystihující vliv relativní vlhkosti	φ_{RH}	= 1.248 -
Relativní vlhkost prostředí	RH	= 70.000 %
Součinitele vlivu pevnosti betonu α_1	α_1	= 0.866 -
Součinitele vlivu pevnosti betonu α_2	α_2	= 0.960 -
Základní součinitel dotvarování ϕ_0	ϕ_0	= 2.030 -
Součinitel vystihující vliv pevnosti betonu $\beta(f_{cm})$		
Součinitel vystihující vliv pevnosti betonu	$\beta(f_{cm})$	= 2.562 -
Součinitel vystihující vliv stáří betonu v okamžiku vnesení zatížení $\beta(t_0)$		
Součinitel vystihující vliv stáří betonu v t_0	$\beta(t_0)$	= 0.635 -
Součinitel časového průběhu dotvarování po zatížení $\beta_c(t,t_0)$		
součinitel závislý na RH a h_0	β_H	= 1233.009 -
Součinitele vlivu pevnosti betonu α_3	α_3	= 0.902 -

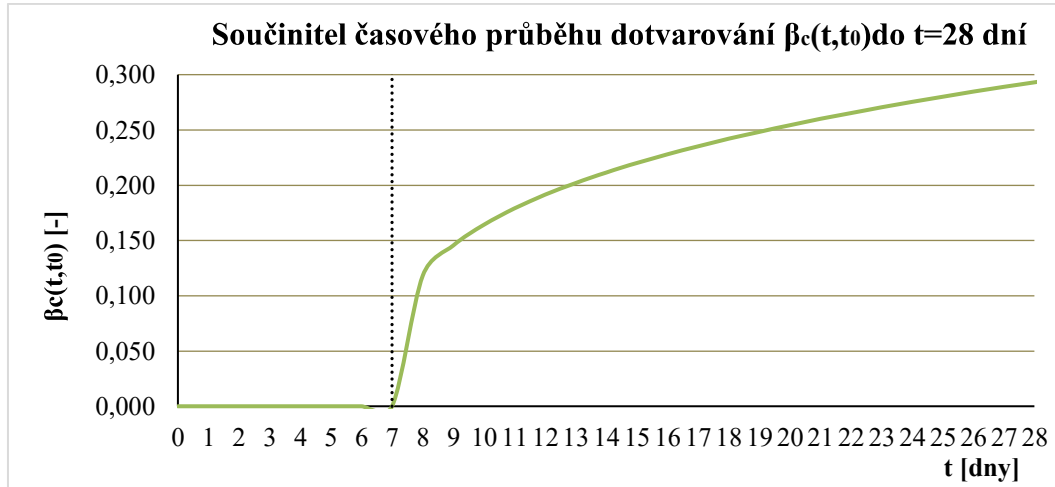
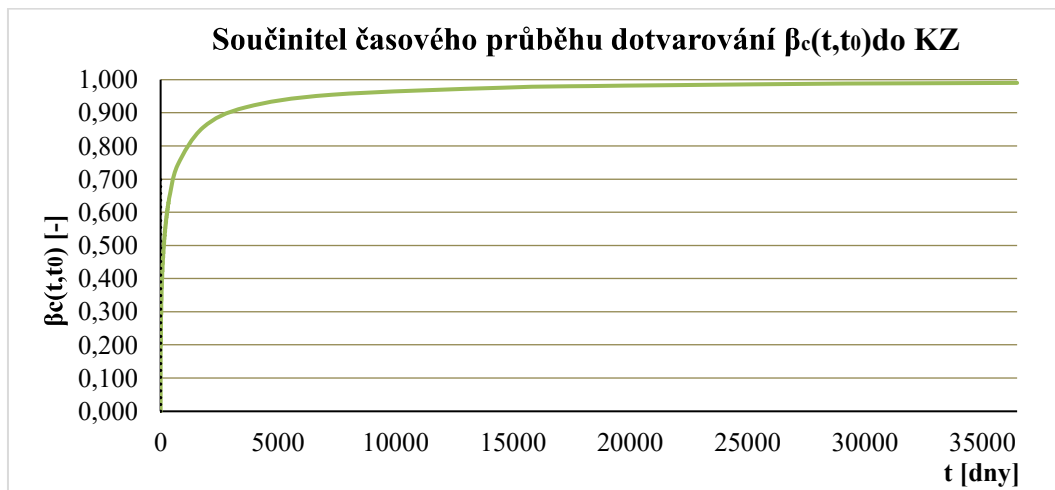
Tabulka PC-3.6 – Časově nezávislé parametry pro výpočet dotvarování betonu

t	Dotvarování		
	$\phi(t,t_0)$	$\beta_c(t, t_0)$	$\epsilon_{cc}(t,t_0)$
-	-	-	-
7	0.000	0.000	0.000E+00
12	0.388	0.1914	7.030E-05
28	0.595	0.2932	1.077E-04
192	1.102	0.543	1.994E-04
365	1.297	0.639	2.348E-04
3650	1.860	0.916	3.366E-04
7300	1.937	0.954	3.505E-04
18250	1.990	0.981	3.602E-04
36500	2.010	0.990	3.637E-04

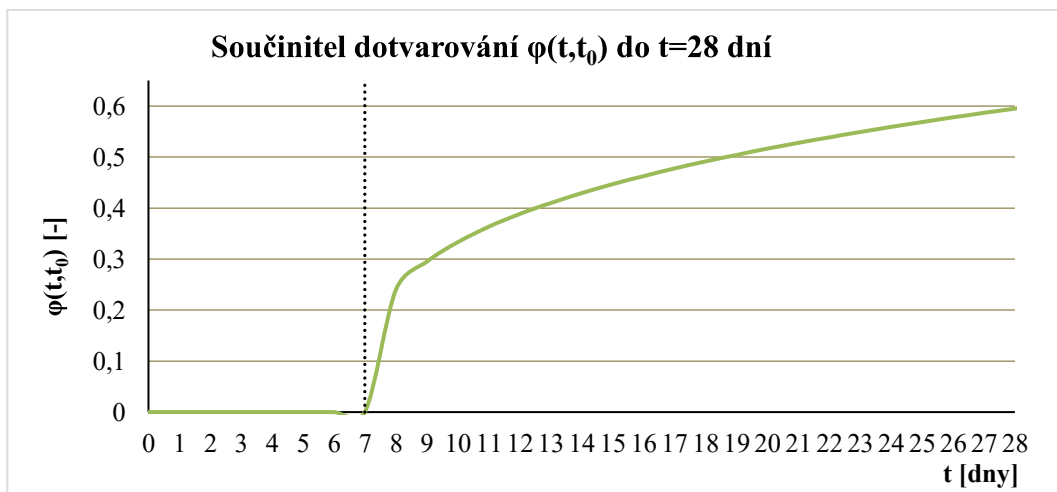
Tabulka PC-3.7 – Časově závislé parametry pro výpočet dotvarování betonu v časech t

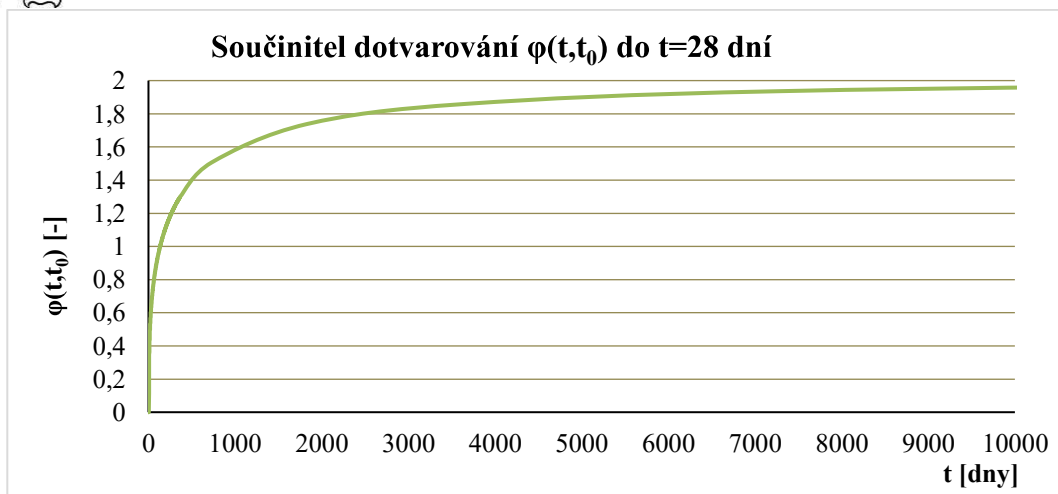
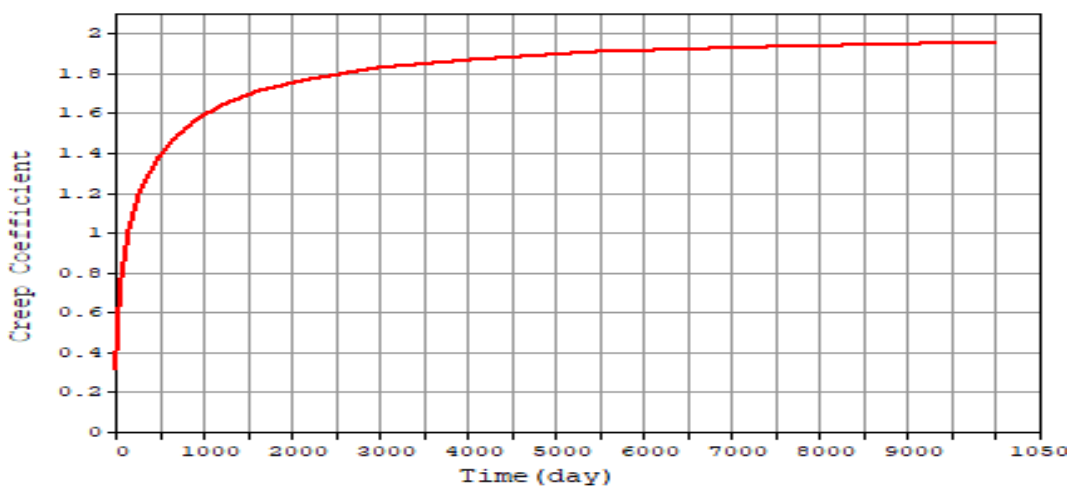
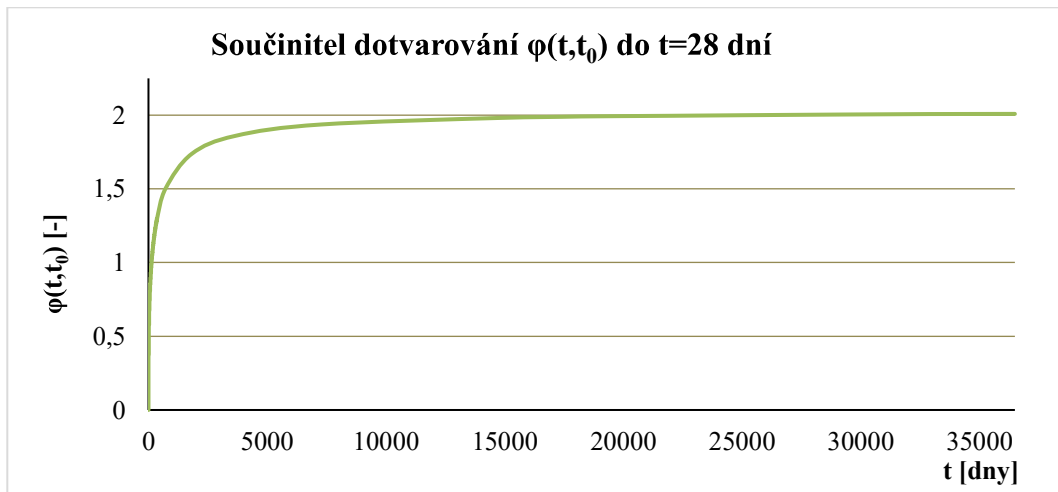


- Součinitel časového průběhu dotvarování po zatížení $\beta_c(t,t_0)$

Graf PC-3.22 – Součinitel časového průběhu dotvarování $\beta_c(t,t_0)$ do $t=28$ dníGraf PC-3.23 – Součinitel časového průběhu dotvarování $\beta_c(t,t_0)$ do KZ

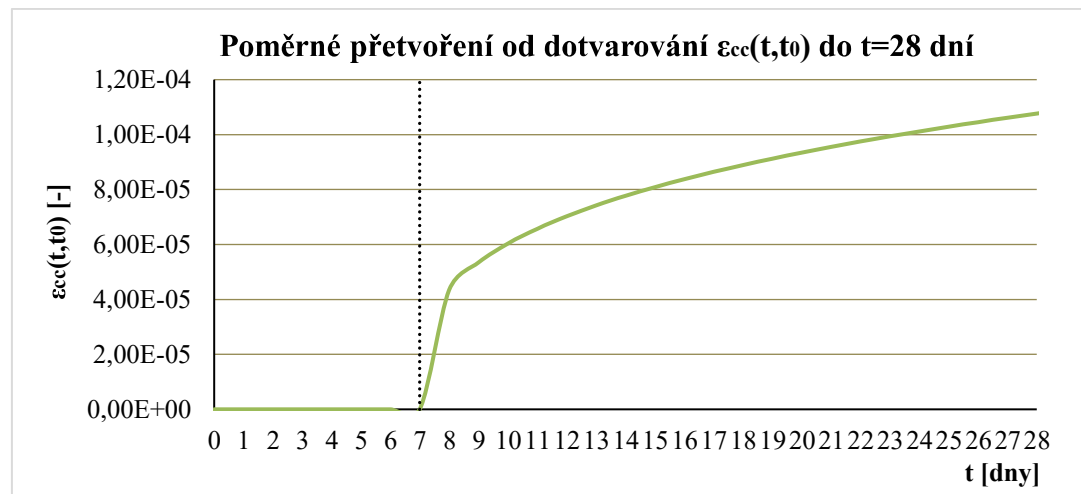
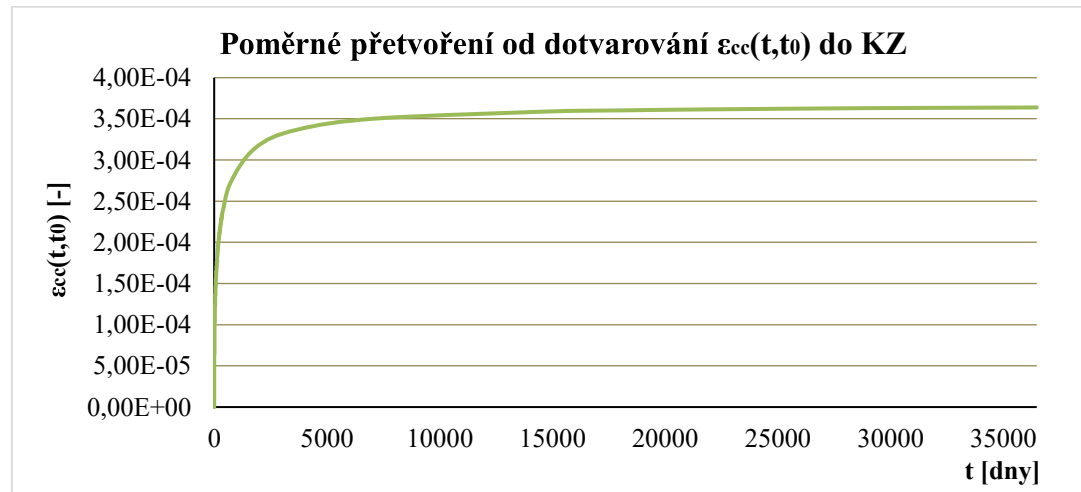
- Součinitel dotvarování $\phi(t,t_0)$

Graf PC-3.24 – Součinitel dotvarování $\phi(t,t_0)$ do $t=28$ dní

Graf PC-3.25 – Součinitel dotvarování $\phi(t,t_0)$ do t=10000 dníObrázek P3-3.3 - Součinitel dotvarování $\phi(t,t_0)$ do t=10000 dní z programu MIDAS CivilGraf PC-3.26 – Součinitel dotvarování $\phi(t,t_0)$ do KZ

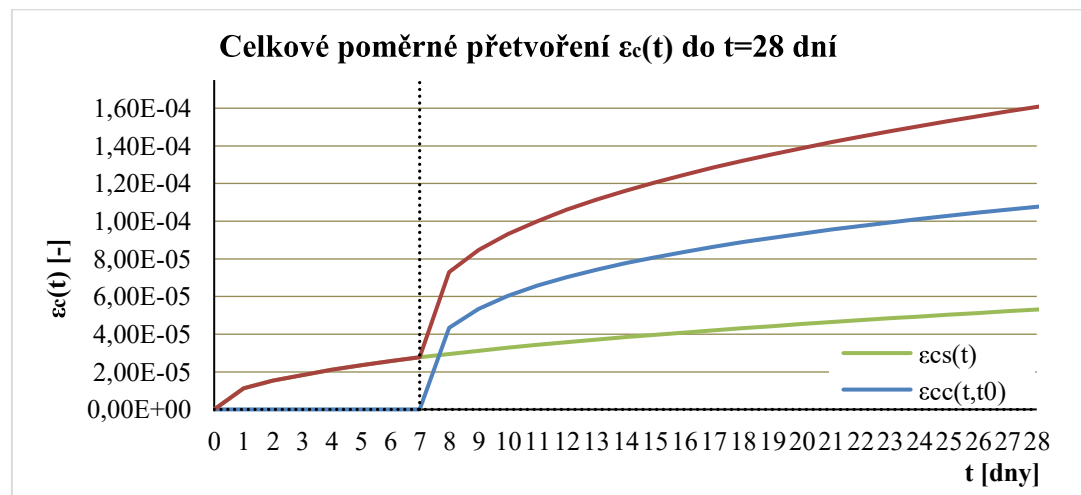


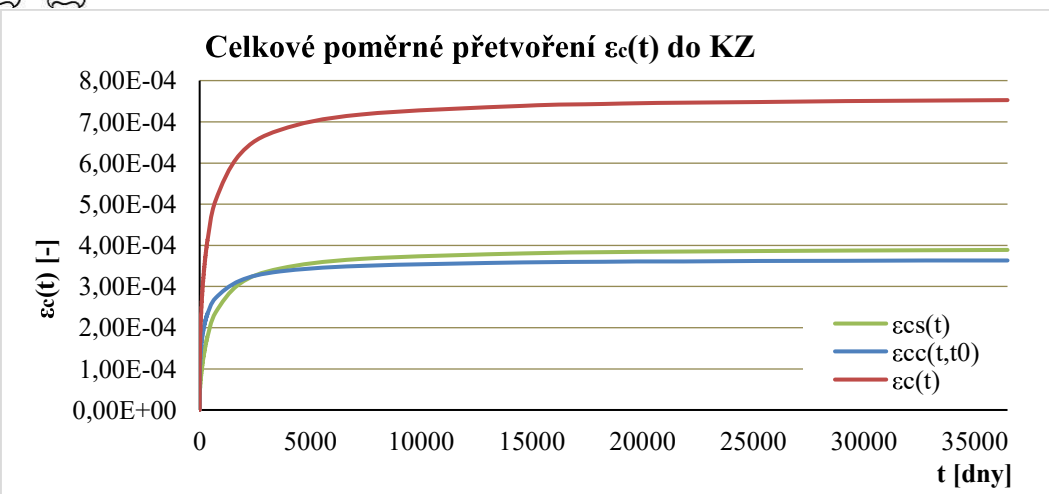
- Poměrné přetvoření od dotvarování $\varepsilon_{cc}(t,t_0)$

Graf PC-3.27 – Poměrné přetvoření od dotvarování $\varepsilon_{cc}(t,t_0)$ do $t=28$ dníGraf PC-3.28 – Poměrné přetvoření od dotvarování $\varepsilon_{cc}(t,t_0)$ do KZ

3.3.1 Celkové poměrné přetvoření betonu od reologických změn $\varepsilon_c(t)$

Celkové poměrné přetvoření od smršťování a dotvarování betonu.

Graf PC-3.29 – Celkové poměrné přetvoření betonu $\varepsilon_c(t,t_0)$ do $t=28$ dní

Graf PC-3.30 – Celkové poměrné přetvoření betonu $\varepsilon_c(t,t_0)$ do KZ

t	Celkové přetvoření		
	$\varepsilon_{cs}(t)$	$\varepsilon_{cc}(t,t_0)$	$\varepsilon_c(t)$
7	$2.770E-05$	$0.000E+00$	$2.770E-05$
12	$3.575E-05$	$7.030E-05$	$1.061E-04$
28	$5.306E-05$	$1.077E-04$	$1.608E-04$
192	$1.331E-04$	$1.994E-04$	$3.325E-04$
365	$1.796E-04$	$2.348E-04$	$4.144E-04$
3650	$3.443E-04$	$3.366E-04$	$6.809E-04$
7300	$3.675E-04$	$3.505E-04$	$7.180E-04$
18250	$3.833E-04$	$3.602E-04$	$7.435E-04$
36500	$3.889E-04$	$3.637E-04$	$7.526E-04$

Tabulka PC-3.8 – Celkové přetvoření betonu v časech t



PŘÍLOHA D

ANALÝZA KONSTRUKCE DLE TP 261 A ČSN EN 1992-1-1

Vzhledem k stále rostoucímu trendu výstavby integrovaných konstrukcí je stále aktuálnější s tímto typem uspořádání konstrukce počítat v raných fázích stupně dokumentace.

V raných fázích přípravy projektové dokumentace jsou jen málokdy k dispozici komplexnější modely konstrukce, a tak je třeba pro stanovení posunů konstrukce používat především zjednodušených modelů a přístupů. Tyto modely mohou být dost konzervativní, a proto jejich sítě nemusí projít všechny konstrukce, i když by posuny na komplexním modelu požadavkům vyhověly.

V této příloze bych se ráda podívala na posuny pro mnou řešenou mostní konstrukci, které budou stanoveny na základě zjednodušeného postupu uvedeného v TP 261, výpočtem stanoveným na základě ČSN EN 1992-1-1 pro stejné podmínky, pro jaké byly stanoveny odhady poměrných přetvoření v TP 261 a pro reálné parametry konstrukce, a porovnala je.



1 TP 261 – INTEGROVANÉ MOSTY

Zjednodušený přístup se lze použít pokud:

- Most přímý nebo jen mírně zakřivený (viz 2.1.9 dle [21])
- Šikmost mostu je větší než 60° pro VT1 a 45° pro VT2
- Jasně definovatelný pevný bod konstrukce
- Vliv vodorovného a svislého zatížení na vodorovné posuny jsou zanedbatelné

Pro integrované a semi-integrované mosty lze dle tabulky 5 a obrázku 12 stanovit maximální přípustnou hodnotu vodorovného posunu $\Delta_{h,adm}$.

Na základě stanovení odhadu maximálního přetvoření nosné konstrukce $\varepsilon_{NK,max}$, lze stanovit maximální dilatující délku $L_{BE,adm}$ pro danou hodnotu a maximální přípustnou hodnotu vodorovného posunu $\Delta_{h,adm}$. Délku $L_{BE,adm}$ stanovit ze vztahu:

$$\varepsilon_{NK,max} \leq \frac{\Delta_{h,max}}{L_{BE,adm}} \Rightarrow L_{BE,adm} \leq \frac{\Delta_{h,max}}{\varepsilon_{NK,max}}$$

kde:

$\Delta_{h,max}$	maximální přípustná hodnota vodorovného posunu
$L_{BE,adm}$	maximální přípustná dilatující délka
$\varepsilon_{NK,max}$	odhad maximálního poměrného přetvoření

1.1 Vhodnost užití zjednodušeného postupu

Konstrukce je pro použití zjednodušeného postupu výpočtu vodorovného posunu vhodná.

1.1.1 Zakřivení konstrukce

Vliv půdorysného zakřivení integrovaného mostu na rozdělení vnitřních sil lze obvykle zanedbat pro mosty splňující geometrickou podmíinku:

$$R \cdot \left(1 - \cos \frac{2}{2R}\right) \leq \frac{B}{3}$$

kde:

L	délka nosné konstrukce
B	šířka nosné konstrukce
R	poloměr půdorysného zakřivení mostu

Úpravou výše uvedeného vztahu lze pro danou šířku B a poloměr zakřivení R stanovit maximální přípustnou délku nosné konstrukce L_{max}

$$L_{max} = 2R \cdot \arccos \left(1 - \frac{B}{3R}\right)$$

**Křivost mostu**

Vstupní parametry				
Poloměr půdorysného zakřivení	R	=	900.00	m
Šířka nosné konstrukce	B	=	17.95	m
Délka nosné konstrukce	L	=	31.50	m
Maximální délka nosné konstrukce	L _{max}	=	207.67	m
PŘÍMÝ AŽ MÍRNĚ ZAKŘIVENÝ				

Tabulka PD-I.1 – Určení křivosti mostu

1.1.2 Vliv šikmosti mostu

Vliv šikmosti mostu je zohledněn součinitelem vlivu šikmosti α .

$$L_{BE,max,sk} = \frac{L_{BE,max}}{\alpha}$$

Vliv šikmosti mostu

Rozsah platnosti	Šikmost mostu dle [8]	Součinitel vlivu šikmosti α
VT1	90°	1.00
	80°	1.02
	70°	1.06
	65°	1.10
	60°	1.15
	55°	1.22
	50°	1.31
	45°	1.41

Tabulka PD-I.2 – Hodnoty součinitele vlivu šikmosti α dle [21]

V našem případě je šikmost mostu 90° a součinitel vlivu šikmosti je roven 1.

1.1.3 Poloha pevného bodu

Pro naši konstrukci bude poloha pevného bodu v polovině rozpětí mostu.

1.1.4 Zanedbání svislých a vodorovných zatížení

Vliv svislých a vodorovných konstrukcí na vodorovné posuny bude zanedbán.

1.2 Maximální přípustná dilatující délka L_{BE,adm}

Maximální hodnota poměrného přetvoření se stanoví na základě údajů o středních hodnotách poměrných přetvoření z tabulky 7 dle [21].

Kombinace pro stanovení maximálního posunu konstrukce a součinitele kombinací vychází z kap 3.5 dle [21].

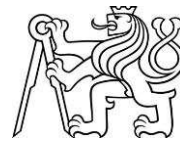
- Kombinace A

$$\Delta h = \Delta h_G + \Delta h_P + \Delta h_{C+S} + \psi_{1,infq} * \Delta h_{Q,T}$$

- Kombinace B

$$\Delta h = \psi_{1,T} * \Delta h_T = \psi_{1,T} * (\Delta h_{Tmax} - \Delta h_{Tmin})$$

Hodnoty pro rovnoměrnou teplotu budou převzaty ze statického výpočtu kap. 5.4.



Pro betonovou monolitickou konstrukci je to:

Střední hodnoty poměrných přetvoření konstrukce

Účinek	Poměrné přetvoření konstrukce
	Betonová monolitická konstrukce ¹⁾
Smršťování od hydratace (beton)	-0.10‰
Autogenní smršťování (beton)	-0.08‰
Smršťování od vysychání (beton)	-0.30‰
Předpětí betonu ($\sigma_c = 4 \text{ MPa}$)	-0.11‰
Dotvarování předpjatého betonu ³⁾	-0.20‰
Oteplení konstrukce	+0.01‰/K
Ochlazení konstrukce	-0.01‰/K

Poznámky ¹⁾ a ³⁾ jsou uvedeny v tab 7 dle [21]

Tabulka PD-I.3 – Střední hodnoty poměrných přetvoření konstrukce tabulka 7 dle [21]

Vliv smršťování a dotvarování

Vstupní parametry				
% smršťování od hydratace	=	95.0	%	
% autogenního smršťování	=	85.0	%	
% smršťování od vysychání	=	20.0	%	
Smršťování od hydratace (b)	$\Delta\varepsilon_{S1}$	=	-0.005	‰
Autogenní smršťování (b)	$\Delta\varepsilon_{S2}$	=	-0.012	‰
Smršťování od vysychání (b)	$\Delta\varepsilon_{S3}$	=	-0.240	‰
Předpětí betonu ($\sigma_c = 4 \text{ MPa}$)	$\Delta\varepsilon_{C1}$	=	-0.110	‰
Dotvarování před. betonu	$\Delta\varepsilon_{C2}$	=	-0.180	‰
Celkem od smršťování a dotvarování	$\Delta\varepsilon_{C+S}$	=	-0.547	‰

Vliv teploty

Vstupní parametry				
T_0	T_0	=	10.00	°C
ΔT	ΔT	=	±20.00	°C
T_{\max}	T_{\max}	=	40.00	°C
T_{\min}	T_{\min}	=	-32.00	°C
$T_{e,\max}$	$T_{e,\max}$	=	41.50	°C
$T_{e,\min}$	$T_{e,\min}$	=	-24.00	°C
Maximální oteplení konstrukce	$T_{\max,d}$	=	51.50	°C
maximální ochlazení konstrukce	$T_{\min,d}$	=	-54.00	°C
Maximální odhad protažení	$\Delta\varepsilon_{T,\max}$	=	0.515	‰
Maximální odhad zkrácení	$\Delta\varepsilon_{T,\min}$	=	-0.540	‰

Tabulka PD-I.4 – Odhad maximálního poměrného přetvoření dle [21]

**Kombinace A (vliv smršťování)**

$\epsilon_{NK,max,a}$	=	0.979	%
-----------------------	---	-------	---

Kombinace B (vliv teploty)

$\epsilon_{NK,max,b}$	=	0.633	%
-----------------------	---	-------	---

Rozhodující stav

Max (kombinace A, kombinace B)	=	0.979	%
--------------------------------	---	--------------	---

Maximální přípustný vodorovný posun**Integrovaný most**

pro VT1	$\Delta_{h,max}$	=	20.00	mm
---------	------------------	---	-------	----

Semi-integrovaný

pro VT1	$\Delta_{h,max}$	=	20.00	mm
---------	------------------	---	-------	----

Maximální přípustná dilatující délka

Dilatující délka mostu	$L_{BE,adm}$	=	15.75	m
------------------------	--------------	---	-------	---

Integrovaný most

Maximální dilatující délka pro IM	$L_{BE,max}$	=	20.43	m
-----------------------------------	--------------	---	-------	---

Semi-integrovaný

Maximální dilatující délka pro SIM	$L_{BE,max}$	=	20.43	m
------------------------------------	--------------	---	-------	---

Vodorovný posun pro $L_{BE,adm}$

Dilatující délka mostu	$L_{BE,adm}$	=	15.75	m
------------------------	--------------	---	-------	---

Integrovaný most

Vodorovný posun konstrukce	$\Delta_{h,int}$	=	15.42	mm
----------------------------	------------------	---	-------	----

Dle zjednodušeného postupu lze konstrukční systém navrhovat jako:

INTEGROVANÝ

Tabulka PD-1.5 – Výsledky zjednodušené postupu analýzy dle [21]

1.3 Závěr

Výpočet podle zjednodušeného postupu dle [21] je vodorovný posun $\Delta_{h,int}$ po uzavření přechodových oblastí v čase 1,5 měsíce od betonáže NK roven 15,42 mm.



2 PŘÍSTUP DLE ČSN EN 1992-1-1

Vztahy použité k výpočtu přetvoření od smršťování a dotvarování odpovídají vztahům uvedených v PŘÍLOHA C této zprávy, proto v této příloze budou uvedeny vstupní parametry a výsledné hodnoty přetvoření a posunů.

Pro zjištění procentuální hodnoty proběhlého smršťování a dotvarování konstrukce je uvažováno uzavření přechodových oblastí cca 1,5 a 2,5 měsíce od betonáže NK.

Rozměry konstrukce odpovídají reálným rozměrům konstrukce.

2.1 Beton C30/37

Vztahy budou odvozeny pro beton C30/37. Doba vnesení předpětí bude 14 dní a napětí od předpětí bude brána hodnotou $\sigma_c = 4 \text{ MPa}$, aby konstrukce odpovídala podmínkám pro TP 261.

2.1.1 Pevnostní a mechanické vlastnosti

Vlastnosti betonu v čase 28 dní

Beton	C30/37	Jednotky
Pevnost v tlaku v stáří 28 dní		
Charakteristická válcová	f_{ck}	= 30.00 MPa
Charakteristická krychelná	$f_{ck,cube}$	= 37.00 MPa
Střední hodnota	f_{cm}	= 38.00 MPa
Pevnost v tahu v stáří 28 dní		
Střední hodnota	f_{ctm}	= 2.90 MPa
Dolní kvantil	$f_{ctk;0.05}$	= 2.00 MPa
Horní kvantil	$f_{ctk;0.95}$	= 3.80 MPa
Sečnový modul pružnosti	E_{cm}	= 33.00 GPa
Poissonovo číslo	ν	= 0.20 -
Součinitel teplotní roztažnosti	α	= 1.00E-05 -
Doba vnesení předpětí	t_0	= 14 dní
Doba ošetřování konstrukce	t_s	= 3 dní
Průřezová plocha	A_c	= 12.35 m^2
Obvod části vystavené vysychání	u	= 38.37 m
Cement třídy		= R -

Tabulka PD-2.1 – Pevnostní a mechanické vlastnosti betonu C30/37

t	Pevnosti v tlaku			Pevnosti v tahu			Modul pružnosti	
	$b_{cc}(t)$	$f_{cm}(t)$	$f_{ck}(t)$	$f_{ctm}(t)$	$f_{ctm0.05}(t)$	$f_{ctm0.95}(t)$	$E_c(t)$	$E_{cm}(t)$
-	MPa	MPa	MPa	MPa	MPa	MPa	GPa	GPa
45	1.043	39.639	30.000	2.983	2.088	3.878	35.092	33.421
75	1.081	41.074	30.000	3.054	2.138	3.971	35.468	33.779
36500	1.215	46.157	30.000	3.301	2.311	4.292	36.732	34.982

Tabulka PD-2.2 – Pevnostní a mechanické vlastnosti betonu C30/37 v čase t



2.1.2 Smršťování betonu

Vstupní parametry				
Doba ošetřování betonu	t_s	=	3	dny
Plocha průžeru	A_c	=	12.35	m^2
Obvod části vystavené vysychání	u	=	38.37	m
Dilatující délka	$L_{BE,adm}$	=	15.75	m
Cement třídy		=	R	-

Smršťování	C30/37	Jednotky
Autogenní smršťování		
Komečné poměrné přetvoření od aut. smrš.	$\varepsilon_{ca}(\infty)$	= 5.00E-05 -
Smršťování od vysychání		
Součinitel k_h		
Náhradní rozměr průřezu	h_0	= 643.73 mm
Součinitel závislý na jmenovitém rozměru h_0	k_h	= 0.70 -
Základní poměrné přetvoření od vysychání $\varepsilon_{cd,0}$		
Součinitel závislý na druhu cementu α_{ds1}	α_{ds1}	= 6.00 MPa
Součinitel závislý na druhu cementu α_{ds2}	α_{ds2}	= 0.11 MPa
Součinitel β_{RH}	β_{RH}	= 1.02 -
Relativní vlhkost prostředí	RH	= 70.00 %
Základní poměrné přetvoření od vysychání $\varepsilon_{cd,0}$	$\varepsilon_{cd,0}$	= 5.01E-04 -

Tabulka PD-2.3 – Časově nezávislé parametry pro výpočet smršťování betonu C30/37

t	Autogenní smršťování		Smršťování od vysychání		Celkové smršťování	
	$\varepsilon_{ca}(t)$	$\Delta h_{ca}(t)$	$\varepsilon_{cd}(t)$	$\Delta h_{cd}(t)$	$\varepsilon_{cs}(t)$	$\Delta h_{cs}(t)$
	-	mm	-	mm	-	mm
45	3.693E-05	0.58	2.120E-05	0.33	5.813E-05	0.92
75	4.115E-05	0.65	3.485E-05	0.55	7.600E-05	1.20
36500	5.000E-05	0.79	3.449E-04	5.43	3.949E-04	6.22
t=45 dní	73.86 %¹⁾		6.15 %¹⁾		14.72 %¹⁾	
t=75 dní	82.31 %¹⁾		10.10 %¹⁾		19.25 %¹⁾	

- 1) Procenta udávají přetvoření proběhlé na konstrukci do času uzavření přechodových oblastí v čase t. Hodnota v čase t = 45 dní bude porovnána s hodnotou zjednodušeného postupu dle [21]. Hodnota v čase t = 75 dní je hodnotou informativní.

Tabulka PD-2.4 – Poměrné přetvoření při smršťování betonu C30/37



2.1.3 Dotvarování betonu

Vstupní parametry				
Doba ošetřování betonu	t_0	=	14	dny
Napětí od předpětí	σ_c	=	4.00	MPa
Plocha průřezu	A_c	=	12.35	m^2
Obvod části vystavené vysychání	u	=	38.37	m
Tečnový modul pružnosti	E_c	=	34.65	Gpa
Dilatující délka	$L_{BE,adm}$	=	15.75	m

Dotvarování	C30/37	Jednotky
Tlakové napětí v betonu $\sigma_c(t_0)$		
Tlakové napětí v betonu $\sigma_c(t_0)$	$\sigma_c(t_0)$	= 4.000 MPa
Základní součinitel dotvarování ϕ_0		
Náhradní rozměr průřezu	h_0	= 643.732 mm
Součinitel vystihující vliv relativní vlhkosti	φ_{RH}	= 1.306 -
Relativní vlhkost prostředí	RH	= 70.000 %
Součinitele vlivu pevnosti betonu α_1	α_1	= 0.944 -
Součinitele vlivu pevnosti betonu α_2	α_2	= 0.984 -
Základní součinitel dotvarování ϕ_0	ϕ_0	= 1.983 -
Součinitel vystihující vliv pevnosti betonu $\beta(f_{cm})$		
Součinitel vystihující vliv pevnosti betonu	$\beta(f_{cm})$	= 2.725 -
Součinitel vystihující vliv stáří betonu v okamžiku vnesení zatížení $\beta(t_0)$		
součinitel vystihující vliv stáří betonu v t_0	$\beta(t_0)$	= 0.557 -
Součinitel časového průběhu dotvarování po zatížení $\beta_c(t,t_0)$		
součinitel závislý na RH a h_0	β_H	= 1247.389 -
Součinitele vlivu pevnosti betonu α_3	α_3	= 0.960 -

Tabulka PD-2.5 – Časově nezávislé parametry pro výpočet dotvarování betonu C30/37

t	Dotvarování	
	$\epsilon_{cc}(t,t_0)$	$\Delta h_{cc}(t,t_0)$
	-	mm
45	7.50E-05	1.18
75	9.13E-05	1.44
36500	2.27E-04	3.57
t=45 dní	33.10 %¹⁾	
t=75 dní	40.27 %¹⁾	

- 1) Procenta udávají přetvoření proběhlé na konstrukci do času uzavření přechodových oblastí v čase t.

Tabulka PD-2.6 – Poměrné přetvoření od dotvarování betonu C30/37



2.1.4 Celkové poměrné přetvoření od smršťování a dotvarování

t	Celkové poměrné přetvoření S+D					
	e _{cs(t)}	Δh _{cs(t)}	ε _{cc(t,t₀)}	Δh _{cc(t,t₀)}	ε _{c(t)}	Δh _{c(t)}
	-	mm	-	mm	-	mm
45	5.81E-05	0.92	7.50E-05	1.18	1.33E-04	2.10
75	7.60E-05	1.20	9.13E-05	1.44	1.67E-04	2.63
36500	3.95E-04	6.22	2.27E-04	3.57	6.22E-04	9.79
t=45 dní	14.72 % ¹⁾		33.10 % ¹⁾		21.42 % ¹⁾	
t=75 dní	19.25 % ¹⁾		40.27 % ¹⁾		26.91 % ¹⁾	

1) Procenta udávají přetvoření proběhlé na konstrukci do času uzavření přechodových oblastí v čase t.

Tabulka PD-2.7 – Celkové poměrné přetvoření betonu C30/37

2.1.5 Pružná deformace

Hodnota od pružného zkrácení nosníku vlivem předpětí konstrukce. Vzorec vychází z Hookova zákona.

$$\varepsilon_{el} = \frac{\sigma(t_0)}{E_c} = \frac{4}{34,65 * 10^3} = 1,15 * 10^{-4}$$

$$\Delta l_{el} = \varepsilon_{el} * L_{BE,adm} = 1,15 * 10^{-4} * 15750 = 1,81 mm$$

2.1.6 Zatížení teplotou

Hodnoty pro rovnoměrnou teplotu budou převzaty ze statického výpočtu kap. 5.4.

$$\varepsilon_{temp} = \alpha * T_{min/max}$$

$$\Delta h_T = \psi_{1,infq} * \varepsilon_{temp} * L_{BE,adm}$$

Hodnota součinitele teplotní roztažnosti a odhadovaná hodnota přetvoření od teploty dle [21], jsou totožné hodnoty a to 0,01 %. Přetvoření od teploty tedy nebude pro posouzení účinků uvažováno, protože účinky teploty neovlivní výpočet konečného přetvoření a výsledných vodorovných posunů.

2.1.7 Závěr

Výpočet podle normového postupu dle [19] je vodorovný posun Δh_{int} po uzavření přechodových oblastí v čase 1,5 měsíce od betonáže NK roven 18,01 mm. Konstrukce pořád splňuje požadavky pro integrovanou mostní konstrukci.



2.2 Beton C35/45

Parametry konstrukce jsou uvedeny ve statickém výpočtu a v PŘÍLOHA C této zprávy. Proto jsou zde uvedeny jen hodnoty přetvoření v posuzovaných časech t.

2.2.1 Smršťování betonu

t	Autogenní smršťování		Smršťování od vysychání		Celkové smršťování	
	$\epsilon_{ca}(t)$	$\Delta h_{ca}(t)$	$\epsilon_{cd}(t)$	$\Delta h_{cd}(t)$	$\epsilon_{cs}(t)$	$\Delta h_{cs}(t)$
	-	mm	-	mm	-	mm
45	4.62E-05	0.73	2.01E-05	0.32	6.62E-05	1.04
75	5.14E-05	0.81	3.30E-05	0.52	8.44E-05	1.33
36500	6.25E-05	0.98	3.26E-04	5.14	3.89E-04	6.13
t=45 dní	73.86 %¹⁾		6.15 %¹⁾		17.03 %¹⁾	
t=75 dní	82.31 %¹⁾		10.10 %¹⁾		21.71 %¹⁾	

1) Procenta udávají přetvoření proběhlé na konstrukci do času uzavření přechodových oblastí v čase t.

Tabulka PD-2.8 – Poměrné přetvoření při smršťování betonu C35/45

2.2.2 Dotvarování betonu

Vstupní parametry					
Doba ošetřování betonu		t_0	=	14	dny
Napětí od předpětí		σ_c	=	5.78	MPa
Plocha průřezu		A_c	=	12.35	m^2
Obvod části vystavené vysychání		u	=	38.37	m
Tečnový modul pružnosti		E_c	=	35.70	Gpa
Dilatující délka		$L_{BE,adm}$	=	15.75	m

t	Dotvarování	
	$\epsilon_{cc}(t,t_0)$	$\Delta h_{cc}(t,t_0)$
	-	mm
45	1.15E-04	1.81
75	1.36E-04	2.14
36500	3.25E-04	5.13
t=45 dní	35.24 %¹⁾	
t=75 dní	41.67 %¹⁾	

1) Procenta udávají přetvoření proběhlé na konstrukci do času uzavření přechodových oblastí v čase t.

Tabulka PD-2.9 – Poměrné přetvoření od dotvarování betonu C35/45



2.2.3 Celkové poměrné přetvoření od smršťování a dotvarování

t	Celkové poměrné přetvoření S+D					
	$\epsilon_{cs}(t)$	$\Delta h_{cs}(t)$	$\epsilon_{cc}(t,t_0)$	$\Delta h_{cc}(t,t_0)$	$\epsilon_c(t)$	$\Delta h_c(t)$
	-	mm	-	mm	-	mm
45	6.62E-05	1.04	1.15E-04	1.81	1.81E-04	2.85
75	8.44E-05	1.33	1.36E-04	2.14	2.20E-04	3.47
36500	3.89E-04	6.13	3.25E-04	5.13	7.14E-04	11.25
t=45 dní	17.03 %¹⁾		35.24 %¹⁾		25.33 %¹⁾	
t=75 dní	21.71 %¹⁾		41.67 %¹⁾		30.80 %¹⁾	

1) Procenta udávají přetvoření proběhlé na konstrukci do času uzavření přechodových oblastí v čase t.

Tabulka PD-2.10 – Celkové poměrné přetvoření betonu v časech t

2.2.4 Pružná deformace

$$\varepsilon_{el} = \frac{\sigma(t_0)}{E_c} = \frac{6781,37}{35,70 * 10^3} = 1,62 * 10^{-4}$$

$$\Delta l_{el} = \varepsilon_{el} * L_{BE,adm} = 1,62 * 10^{-4} * 15750 = 2,55 \text{ mm}$$

2.2.5 Závěr

Výpočet podle normového postupu dle [19] je vodorovný posun Δh_{int} po uzavření přechodových oblastí v čase 1,5 měsíce od betonáže NK roven 19,455 mm. Konstrukce pořád splňuje požadavky pro integrovanou mostní konstrukci.



3 POROVNÁNÍ POMĚRNÝCH PŘETVOŘENÍ

Přetvoření bude porovnáno pro jednotlivé aspekty smršťování a dotvarování. U následného posouzení celkového poměrného přetvoření je uvedeno u přetvoření TP 261 maximální přetvoření od dotvarování a smršťování betonu pro předpjaté monolitické konstrukce. V tomto přetvoření je zahrnuto i přetvoření od smršťování vysycháním, pro které nemám v normě adekvátní nahradu. Toto přetvoření ale dělá pouze 0,005, což je v celkovém přetvoření zanedbatelná hodnota.

3.1 Smršťování betonu

Pokud porovnáme autogenní smršťování, není ve výstupu z TP 261 vcelku žádný znatelný rozdíl. Rozdíl už nastává u výpočtu smršťování od vysychání, kde hodnota ovlivňuje náhradní rozměr průřezu h_0 a typ zvoleného cementu.

t	Autogenní smršťování			Smršťování od vysychání		
	ϵ_{ca}			ϵ_{cd}		
	TP 261	C30/37	C35/45	TP 261	C30/37	C35/45
	%	%	%	%	%	%
45		-0.037	-0.046		-0.021	-0.020
75		-0.041	-0.051		-0.035	-0.033
36500	-0.080	-0.050	-0.063	-0.300	-0.345	-0.326
t=45 dní	85.00 %	73.86 %	73.86 %	20.00 %	6.15 %	6.15 %
t=75 dní	-	82.31 %	82.31 %	-	10.10 %	10.10 %

t	ϵ_{ca}			ϵ_{cd}		
	ϵ_{ca}			ϵ_{cd}		
	TP 261	C30/37	C35/45	TP 261	C30/37	C35/45
	%	%	%	%	%	%
t=45 dní	-0.012	-0.013	-0.016	-0.240	-0.324	-0.306
t=75 dní	-	-0.009	-0.011	-	-0.310	-0.293

Tabulka PD-3.1 – Porovnání poměrných přetvoření od smršťování

3.2 Dotvarování betonu

Dotvarování pak stejně jako smršťování od vysychání ovlivňuje náhradní rozměr průřezu h_0 . Zároveň také na napětí od předpjtí konstrukce, které výrazně zvyšuje hodnotu přetvoření pro výpočet reálné konstrukce C35/45. Napětí od předpjtí je zde navíc počítané čistě ze síly v kabelu na plochu NK. Výsledná síla od předpjtí ale bude o něco menší o sílu, kterou odebírají opěry. Redukce síly je zhruba o 10 %.



t	Dotvarování			Pružné přetvoření		
	ϵ_{cc}			ϵ_{el}		
	TP 261	C30/37	C35/45	TP 261	C30/37	C35/45
%o	%o	%o	%o	%o	%o	%o
45	-0.075	-0.115				
75	-0.091	-0.136				
36500	-0.200	-0.227	-0.325	-0.110	-0.115	-0.162
t=45 dní	10.00%	33.10%	35.24%			
t=75 dní	-	40.27%	41.67%			

t	ϵ_{cc}		
	TP 261	C30/37	C35/45
	%o	%o	%o
t=45 dní	-0.180	-0.152	-0.211
t=75 dní	-	-0.135	-0.190

Tabulka PD-3.2 – Porovnání poměrných přetvoření od dotvarování

3.3 Přetvoření od smršťování a dotvarování

t	Celkové poměrné přetvoření od C+S		
	ϵ_{c+s}		
	TP 261	C30/37	C35/45
%o	%o	%o	%o
45	-0.133	-0.181	
75	-0.167	-0.220	
36500		-0.622	-0.714
t=45 dní	-0.437	-0.488	-0.533
t=75 dní	-	-0.454	-0.494

Tabulka PD-3.3 – Porovnání celkového poměrného přetvoření

Zjednodušený postup dle TP 261 do výpočtu nijak nezahrnuje geometrii průřezu ani typ použitého cementu. Je otázkou, pro jakou hodnotu odhadu přetvoření je náhradní rozměr průřezu, který ovlivňuje rozdíly u smršťování vysycháním a dotvarováním, počítán.

Pokud by se poměrné přetvoření počítané z odhadních hodnot TP 261 vynásobilo procentuálním přetvořením do času uzavření přechodových oblastí s procenty u C30/37 z přístupu z normy, není ve výsledném přetvoření od smršťování a dotvarování rozdílné.

$$\begin{aligned}\varepsilon_{NKc+s} &= -(0,08 * (1 - 0,74) + 0,30 * (1 - 0,06) + 0,20 * (1 - 0,33)) \\ &= -0,436\end{aligned}$$

Větší hodnota přetvoření u analýzy pro reálnou konstrukci z betonu C35/45 nijak vzhledem k témuž o 2 MPa většímu napětí od předpětí nepřekvapí.



3.4 Závěr

Zajímalo mě především, pokud by výpočtu poměrného přetvoření pomocí normy pomohl k rozšíření konstrukcí, které by následně prošly přes požadavky pro integrované a semi-integrované konstrukce. Především proto, že po vytvoření excelu pro výpočet poměrného přetvoření od smršťování a dotvarování lze parametry pro výpočet velmi rychle a plynule měnit.





PŘÍLOHA E
ZDROJE A SEZNAMY



1 ZDROJE

1.1 Literatura a web

- [1] ŠAFÁŘ, Roman a kol.. Betonové mosty 2: přednášky. V Praze: České vysoké učení technické, 2014. ISBN 978-80-01-05543-4
- [2] ŠAFÁŘ, Roman a kol.. Betonové mosty 1: přednášky. V Praze: České vysoké učení technické, 2010. ISBN 978-80-01-046616
- [3] Společnost FREYSSINET CS, a.s.: Lanový předpínací systém pro mosty a inženýrské konstrukce [online]. [cit. 2020-04-22]. Dostupné z: <http://www.freyssinet.cz/>
- [4] MASOPUST, Jan. Vrtané piloty. Praha: Čeněk a Ježek, 1994. ISBN 80-238-2755-3. Dostupné z: <http://www.vrtanepiloty.cz/>
- [5] Přitízení zemního tlaku od svislého zatížení. Fine spol. s r.o. [online]. [cit. 2020-04-29]. Dostupné z: <https://www.fine.cz/napoveda/geo5/cs/pritizeni-18/>

1.2 Normy a předpisy

- [6] ČSN 73 6101: Projektování silnic a dálnic. ČNI- Český normalizační institut, 2010
- [7] ČSN 73 6200: Terminologie a třídění. červenec. UNMZ - Úřad pro technickou normalizaci, metrologii a státní zkušebnictví, 2011
- [8] ČSN 73 6201: Projektování mostních objektů. ČNI - Český normalizační institut., 2008
- [9] ČSN 73 6214: Navrhování betonových mostních konstrukcí. UNMZ - Úřad pro technickou normalizaci, metrologii a státní zkušebnictví, 2014
- [10] ČSN 73 6222: Zatížitelnost mostů pozemních komunikací. červenec. UNMZ - Úřad pro technickou normalizaci, metrologii a státní zkušebnictví, 2013
- [11] ČSN EN 73 6242: Navrhování a provádění vozovek na mostech pozemních komunikací. 2010.
- [12] ČSN EN 73 6244: Přechody mostů pozemních komunikací. UNMZ - Úřad pro technickou normalizaci, metrologii a státní zkušebnictví. 2010.
- [13] ČSN EN 1990: Eurokód: Zásady navrhování konstrukcí. In: . ČNI - Český normalizační institut.
- [14] ČSN EN 1991-1-1: Eurokód 1: Zatížení konstrukcí - Část 1-1: Obecná zatížení - Objemové tíhy, vlastní tíha a užitná zatížení pozemních komunikací. UNMZ - Úřad pro technickou normalizaci, metrologii a státní zkušebnictví, 2004.
- [15] ČSN EN 1991-2: Eurokód 1: Zatížení konstrukcí - Část 2: Zatížení mostů dopravou. Listopad. UNMZ - Úřad pro technickou normalizaci, metrologii a státní zkušebnictví, 2015
- [16] ČSN EN 1991-1-4 ed. 2 - Eurokód 1: Zatížení konstrukcí - Část 1-4: Obecná zatížení - Zatížení větrem. UNMZ - Úřad pro technickou normalizaci, metrologii a státní zkušebnictví, 2013
- [17] ČSN EN 1991-1-5: Eurokód 1: Zatížení konstrukcí - Část 1-5: Obecná zatížení - Zatížení teplotou. Květen. ČNI- Český normalizační institut, 2015
- [18] ČSN EN 1991-1-6: Eurokód 1: Zatížení konstrukcí - Část 1-6: Obecná zatížení - Zatížení během provádění. ČNI- Český normalizační institut, 2006



- [19] ČSN EN 1992-1-1: Eurokód 2: Navrhování betonových konstrukcí - Část 1-1: Obecná pravidla a pravidla pro pozemní stavby. UNMZ - Úřad pro technickou normalizaci, metrologii a státní zkušebnictví, 2011
- [20] ČSN EN 1992-2: Eurokód 2: Navrhování betonových konstrukcí - Část 2: Betonové mosty - Navrhování a konstrukční zásady. ČNI- Český normalizační institut, 2007
- [21] DRAHORÁD, Michal a Marek FOGLAR. TP 261 - Integrované mosty [online]. In: . 2017, s. 107 [cit. 2020-04-28]. Dostupné z: http://www.pjpk.cz/data/USR_001_2_8_TP/TP_261_2017.pdf
- [22] DRAHORÁD, Michal a Marek FOGLAR. TP 261 - Integrované mosty: Oprava č.1 [online]. In: . 2017, s. 107 [cit. 2020-04-28]. Dostupné z: http://www.pjpk.cz/data/USR_001_2_8_TP/TP_261_oprava_c.1.pdf
- [23] Vzorové listy staveb pozemních komunikací: VL 4 - Mosty [online]. Ministerstvo dopravy, 2015, , 137 [cit. 2020-04-28]. Dostupné z: http://www.pjpk.cz/data/USR_001_2_10_VL/VL_4_2015.pdf
- [24] MASOPUST, Jan a Radek BENC. TKP 16 - Piloty a podzemní stěny. Technické kvalitativní podmínky staveb (TKP) [online]. MINISTERSTVO DOPRAVY - Odbor pozemních komunikací, 2020, s. 29 [cit. 2020-05-04]. Dostupné z: http://www.pjpk.cz/data/USR_001_2_6_TKP/TKP_16_final_4_2020.pdf



2 SEZNAM TABULEK A OBRÁZKŮ

2.1 Seznam tabulek

Tabulka 4.1 – Použité detaily dle [23]	17
Tabulka 4.2 – Použité detaily dle [23]	17
Tabulka 3.1 – Spolupůsobící šířka	26
Tabulka 3.2 – Fáze výstavby uvažované v modelu	27
Tabulka 4.1 – Tabulka použitých betonů	28
Tabulka 4.2 – Pevnostní a mechanické vlastnosti betonu	28
Tabulka 4.3 – Pevnostní a deformační vlastnosti předpínací výztuž	29
Tabulka 4.4 – Pevnostní a deformační vlastnosti betonářské výztuže	29
Tabulka 4.5 – Krycí vrstva betonu pro NK	30
Tabulka 4.6 – Krycí vrstva betonu pro opěru O1 a O2	30
Tabulka 4.7 – Krycí vrstva betonu pro základový blok	31
Tabulka 4.8 – Krycí vrstva betonu pro piloty	31
Tabulka 4.9 – Krycí vrstva betonu pro předpínací výztuž	32
Tabulka 4.10 – Hodnoty sedání z programu GEO5 - Pilota	33
Tabulka 4.11 – Svislá tuhost pružiny K_z	34
Tabulka 4.12 – Vodorovná tuhost pružiny K_h pro opěru O1	34
Tabulka 4.13 – Vodorovná tuhost pružiny K_h pro opěru O2	35
Tabulka 5.1 – Kontrola generovaného stavu	36
Tabulka 5.2 – Tabulka plošného ostatního stálého zatížení	36
Tabulka 5.3 – Tabulka liniového ostatního stálého zatížení	37
Tabulka 5.4 – Tabulka hodnot pro zemní tlak	37
Tabulka 5.5 – Tabulka hodnot pro rovnoměrnou teplotu	37
Tabulka 5.6 – Tabulka hodnot pro teplotní gradient	37
Tabulka 5.7 – Geometrie pro zadání nelineární teploty	38
Tabulka 5.8 – Výchozí hodnoty ΔT pro interpolaci po průřezu	38
Tabulka 5.9 – Tabulka hodnot pro zatížení větrem dle	39
Tabulka 5.10 – Půdorysná náhradní plocha dle [15]	40
Tabulka 5.11 – Hodnoty pro zatěžovací schéma LM1 dle [15]	40
Tabulka 5.12 – Hodnoty regulačních součinitelů α pro ČR dle [15]	40
Tabulka 5.13 – Hodnoty zatěžovací sestavy LM3 dle [15]	42
Tabulka 5.14 – Hodnoty pro zadání přitížení od dopravy	43
Tabulka 5.15 – Hodnoty rozjezdových a brzdných sil pro LM1	44
Tabulka 5.16 – Hodnoty rozjezdových a brzdných sil pro LM3	44
Tabulka 5.17 – Charakteristické hodnoty pro odstředivé síly dle [15]	45
Tabulka 5.18 – Hodnoty odstředivých sil	45
Tabulka 6.1 – Geometrie předpínací výztuže	46
Tabulka 6.2 – Doporučené hodnoty součinitelů ψ pro mosty	56
Tabulka 6.3 – Doporučené hodnoty součinitelů ψ pro mosty	56
Tabulka 7.1 – Vývoj pevnosti v čase	60
Tabulka 7.2 – Hodnoty pro posouzení omezení napětí v betonu	60
Tabulka 7.3 – Souhrnná tabulka výsledků pro posouzení MSP	64
Tabulka 7.4 – Návrhové momenty	65
Tabulka 7.5 – Stanovení momentu únosnosti rámového rohu	65
Tabulka 7.6 – Vodorovné posuny konstrukce	66
Tabulka 8.1 – Typové vyztužení	70
Tabulka 8.2 – Posouzení MSU v čase UP pro O1	71
Tabulka 8.3 – Posouzení MSU v čase UP pro STŘED	71



Tabulka 8.4 – Posouzení MSU v čase UP pro O2	71
Tabulka 8.5 – Posouzení MSU v čase KZ pro O1	72
Tabulka 8.6 – Posouzení MSU v čase KZ pro STŘED	72
Tabulka 8.7 – Posouzení MSU v čase KZ pro O2	72
Tabulka 9.1 – Minimální podélná výztuž dle Tabulka 2 [24].....	73
Tabulka 9.2 – Minimální příčná výztuž dle Tabulka 3 [24]	73
Tabulka 9.3- Ověření minimálního vyztužení piloty	74
Tabulka 9.4 – Posouzení pilot opěry O1 a O2	77
Tabulka PC-3.1 – Pevnostní a mechanické vlastnosti betonu C35/45.....	111
Tabulka PC-3.2 – Časové úseky pro určení číselných hodnot.....	111
Tabulka PC-3.3 – Pevnostní a mechanické vlastnosti betonu C35/45 v čase t.....	112
Tabulka PC-3.4 – Časově nezávislé parametry pro výpočet smršťování betonu	116
Tabulka PC-3.5 – Časově závislé parametry pro výpočet smršťování betonu v časech t	116
Tabulka PC-3.6 – Časově nezávislé parametry pro výpočet dotvarování betonu....	122
Tabulka PC-3.7 – Časově závislé parametry pro výpočet dotvarování betonu v časech t	122
Tabulka PC-3.8 – Celkové přetvoření betonu v časech t	126
Tabulka PD-1.1 – Určení křivosti mostu	130
Tabulka PD-1.2 – Hodnoty součinitele vlivu šikmosti α dle [21]	130
Tabulka PD-1.3 – Střední hodnoty poměrných přetvoření konstrukce tabulka 7 dle [21]	131
Tabulka PD-1.4 – Odhad maximálního poměrného přetvoření dle [21]	131
Tabulka PD-1.5 – Výsledky zjednodušené postupu analýzy dle [21]	132
Tabulka PD-2.1 – Pevnostní a mechanické vlastnosti betonu C30/37.....	133
Tabulka PD-2.2 – Pevnostní a mechanické vlastnosti betonu C30/37 v čase t.....	133
Tabulka PD-2.3 – Časově nezávislé parametry pro výpočet smršťování betonu C30/37	134
Tabulka PD-2.4 – Poměrné přetvoření při smršťování betonu C30/37	134
Tabulka PD-2.5 – Časově nezávislé parametry pro výpočet dotvarování betonu C30/37	135
Tabulka PD-2.6 – Poměrné přetvoření od dotvarování betonu C30/37	135
Tabulka PD-2.7 – Celkové poměrné přetvoření betonu C30/37.....	136
Tabulka PD-2.8 – Poměrné přetvoření při smršťování betonu C35/45	137
Tabulka PD-2.9 – Poměrné přetvoření od dotvarování betonu C35/45.....	137
Tabulka PD-2.10 – Celkové poměrné přetvoření betonu v časech t.....	138
Tabulka PD-3.1 – Porovnání poměrných přetvoření od smršťování	139
Tabulka PD-3.2 – Porovnání poměrných přetvoření od dotvarování	140
Tabulka PD-3.3 – Porovnání celkového poměrného přetvoření.....	140



2.2 Seznam obrázků

Obrázek 1.1 – Půdorys	19
Obrázek 1.2 – Podélný řez	20
Obrázek 1.3 – Vzorový příčný řez	20
Obrázek 3.1 – Model konstrukce – pruty	23
Obrázek 3.2 – Model konstrukce – render	23
Obrázek 3.3 – Geometrie nosné konstrukce v poli	25
Obrázek 3.4 – Geometrie nosné konstrukce ve vetknutí	25
Obrázek 3.5 - Geometrie spodní stavby	26
Obrázek 3.6 – Geometrické veličiny průřezu NK.....	27
Obrázek 4.1 – Schéma rozmístění pilot a vzorce pro určení zmenšovacího součinitele	33
Obrázek 5.1 – Geometrie pro zatěžovací schéma LM1 viz obr. 4.2a dle [15].....	41
Obrázek 5.2 – Schéma pro rozdělení do zatěžovacích pruhů na konstrukci var.1.....	41
Obrázek 5.3 – Schéma pro rozdělení do zatěžovacích pruhů na konstrukci var.2.....	42
Obrázek 5.4 – Schéma výpočtu pásového přitížení	43
Obrázek 6.1 – Schéma souřadného systému předpětí	46
Obrázek 6.2 – Ohybový moment od vlastní tíhy	47
Obrázek 6.3 – Posouvající síla od vlastní tíhy	47
Obrázek 6.4 – Ohybový moment od ostatního stálého zatížení.....	47
Obrázek 6.5 – Posouvající síla os ostatního stálého zatížení	47
Obrázek 6.6 – Kroutící moment od ostatního stálého zatížení	48
Obrázek 6.7 – Ohybový moment od zemního tlaku	48
Obrázek 6.8 – Posouvající síla od zemního tlaku	48
Obrázek 6.9 – Ohybový moment od primárního předpětí	48
Obrázek 6.10 – Posouvající síla od primárního předpětí	49
Obrázek 6.11 – Normálová síla od primárního předpětí.....	49
Obrázek 6.12 – Ohybový moment od sekundárního předpětí	49
Obrázek 6.13 – Posouvající síla od sekundárního předpětí	49
Obrázek 6.14 – Normálová síla od sekundárního předpětí	49
Obrázek 6.15 – Ohybový moment od rovnoměrné teploty.....	50
Obrázek 6.16 – Normálová síla od rovnoměrné teploty	50
Obrázek 6.17 – Ohybový moment od teplotního gradientu.....	50
Obrázek 6.18 – Normálová síla od teplotního gradientu	50
Obrázek 6.19 – Napětí v horních vláknech od teplotního gradientu.....	51
Obrázek 6.20 – Napětí v dolních vláknech od teplotního gradientu.....	51
Obrázek 6.21 – Ohybový moment od nelineární teploty	51
Obrázek 6.22 – Normálová síla od nelineární teploty.....	51
Obrázek 6.23 – Napětí v horních vláknech od teplotního gradientu.....	52
Obrázek 6.24 – Napětí v dolních vláknech od teplotního gradientu	52
Obrázek 6.25 – Kroutící moment od větru ve směru y	52
Obrázek 6.26 – Ohybový moment od svislého dopravního zatížení	52
Obrázek 6.27 – Posouvající síla od svislého dopravního zatížení	53
Obrázek 6.28 – Kroutící moment od svislého dopravního zatížení	53
Obrázek 6.29 – Ohybový moment od brzdných sil LM1.....	53
Obrázek 6.30 – Normálová síla od brzdných sil LM1	53
Obrázek 6.31 – Ohybový moment od brzdných sil LM3.....	54
Obrázek 6.32 – Normálová síla od brzdných sil LM3	54
Obrázek 6.33 – Ohybový moment od odstředivých sil LM1	54
Obrázek 6.34 – Posouvající síla od odstředivých sil LM1.....	54



Obrázek 6.35 – Ohybový moment od odstředivých sil LM3	55
Obrázek 6.36 – Posouvající síla od odstředivých sil LM3.....	55
Obrázek 7.1 – Napětí v horních vláknech pro kvazistálou kombinaci (předpětí).....	61
Obrázek 7.2 – Napětí v dolních vláknech pro kvazistálou kombinaci (předpětí).....	61
Obrázek 7.3 – Napětí v horních vláknech pro charakteristickou kombinaci (předpětí)	61
Obrázek 7.4 – Napětí v dolních vláknech pro charakteristickou kombinaci (předpětí)	61
Obrázek 7.5 – Napětí v horních vláknech pro kvazistálou kombinaci (UP).....	62
Obrázek 7.6 – Napětí v dolních vláknech pro kvazistálou kombinaci (UP).....	62
Obrázek 7.7 – Napětí v horních vláknech pro charakteristickou kombinaci (UP)	62
Obrázek 7.8 – Napětí v dolních vláknech pro charakteristickou kombinaci (UP)....	62
Obrázek 7.9 – Napětí v horních vláknech pro kvazistálou kombinaci (KZ)	63
Obrázek 7.10 – Napětí v dolních vláknech pro kvazistálou kombinaci (KZ).....	63
Obrázek 7.11 – Napětí v horních vláknech pro charakteristickou kombinaci (KZ) ..	63
Obrázek 7.12 – Napětí v dolních vláknech pro charakteristickou kombinaci (KZ) ..	63
Obrázek 7.13 – Schéma umístění výzvuze vzhledem k předpínací výzvuze, půdorys	64
Obrázek 8.1 – Ohybový moment My při UP	67
Obrázek 8.2 – Ohybový moment Mz při UP	67
Obrázek 8.3 – Kroutící moment Mx při UP.....	68
Obrázek 8.4 – Posouvající síla Fy při UP	68
Obrázek 8.5 – Posouvající síla Fz při UP	68
Obrázek 8.6 – Normálová síla N při UP	68
Obrázek 8.7 – Ohybový moment My při KZ	68
Obrázek 8.8 – Ohybový moment Mz při KZ	69
Obrázek 8.9 – Kroutící moment Mx při KZ	69
Obrázek 8.10 – Posouvající síla Fy při KZ	69
Obrázek 8.11 – Posouvající síla Fz při KZ	69
Obrázek 8.12 – Normálová síla N při KZ	69
Obrázek 8.13 – Schéma využití trámu v místě větvení do opěry z programu IDEA StatiCa.....	70
Obrázek 8.14 – Schéma využití trámu ve středu nosníku z programu IDEA StatiCa	70
Obrázek 9.1 – Vnitřní síly O1 při MSU na P1 a P6.....	75
Obrázek 9.2 – Vnitřní síly O2 při MSU na P11 a P16.....	76
Obrázek 9.3 – Schéma rozmístění výzvuze v pilotě z programu IDEA StatiCa	76
Obrázek 9.4 – Schéma označení pilot v posudku	77
Obrázek 3.1 – Výstup nárustu pevnosti z MIDAS Civil.....	113
Obrázek PC-3.2 – Celkové poměrné smršťování $\epsilon_{cs}(t)$ do t= 10000 dní z MIDAS Civil	121
Obrázek P3-3.3 - Součinitel dotvarování $\phi(t,t_0)$ do t=10000 dní z programu MIDAS Civil	124



2.3 Seznam grafů

Graf PC-3.1 – Součinitel zohledňující staří betonu β_{cc} do $t=28$ dní.....	112
Graf PC-3.2 – Součinitel zohledňující staří betonu β_{cc} do KZ.....	112
Graf PC-3.3 – Charakteristická a průměrná pevnost v tlaku do $t=28$ dní.....	113
Graf PC-3.4 – Charakteristická a průměrná pevnost v tlaku do KZ	113
Graf PC-3.5 – Charakteristické pevnosti v tahu do $t=28$ dní	114
Graf PC-3.6 – Charakteristické pevnosti v tahu do KZ	114
Graf PC-3.7 – Sečnový a tečnový modul pružnosti do $t=28$ dní	115
Graf PC-3.8 – Sečnový a tečnový modul pružnosti do KZ.....	115
Graf PC-3.9 – Součinitel zohledňující staří betonu $\beta_{as}(t)$ do $t=28$ dní.....	117
Graf PC-3.10 – Součinitel zohledňující staří betonu $\beta_{as}(t)$ do KZ	117
Graf PC-3.11 – Poměrné autogenní smršťování $\varepsilon_{ca}(t)$ do $t=28$ dní.....	117
Graf PC-3.12 – Poměrné autogenní smršťování $\varepsilon_{ca}(t)$ do KZ	118
Graf PC-3.13 – Součinitel časového průběhu smršťování $\beta_{ds}(t,t_s)$ do $t=28$ dní	118
Graf PC-3.14 – Součinitel časového průběhu smršťování $\beta_{ds}(t,t_s)$ do $t=10000$ dní	118
Graf PC-3.15 – Součinitel časového průběhu smršťování $\beta_{ds}(t,t_s)$ do KZ	119
Graf PC-3.16 – Poměrné smršťování od vysychání $\varepsilon_{cd}(t)$ do $t= 28$ dní	119
Graf PC-3.17 – Poměrné smršťování od vysychání $\varepsilon_{cd}(t)$ do $t= 10000$ dní	119
Graf PC-3.18 – Poměrné smršťování od vysychání $\varepsilon_{cd}(t)$ do KZ	120
Graf PC-3.19 – Celkové poměrné smršťování $\varepsilon_{cs}(t)$ do $t=28$ dní.....	120
Graf PC-3.20 – Celkové poměrné smršťování $\varepsilon_{cs}(t)$ do $t= 10000$ dní.....	120
Graf PC-3.21 – Celkové poměrné smršťování $\varepsilon_{cs}(t)$ do KZ.....	121
Graf PC-3.22 – Součinitel časového průběhu dotvarování $\beta_c(t,t_0)$ do $t=28$ dní	123
Graf PC-3.23 – Součinitel časového průběhu dotvarování $\beta_c(t,t_0)$ do KZ	123
Graf PC-3.24 – Součinitel dotvarování $\phi(t,t_0)$ do $t=28$ dní	123
Graf PC-3.25 – Součinitel dotvarování $\phi(t,t_0)$ do $t=10000$ dní	124
Graf PC-3.26 – Součinitel dotvarování $\phi(t,t_0)$ do KZ	124
Graf PC-3.27 – Poměrné přetvoření od dotvarování $\varepsilon_{cc}(t,t_0)$ do $t=28$ dní.....	125
Graf PC-3.28 – Poměrné přetvoření od dotvarování $\varepsilon_{cc}(t,t_0)$ do KZ	125
Graf PC-3.29 – Celkové poměrné přetvoření betonu $\varepsilon_c(t,t_0)$ do $t=28$ dní	125
Graf PC-3.30 – Celkové poměrné přetvoření betonu $\varepsilon_c(t,t_0)$ do KZ	126